

CH_3J

1973

меж-
наие
Электр

Spence D, Schulz G.J.

"J.Chem. Phys."

1973, 58, N5, 1800-1803.

○ (c.u SF_6 ; III)

1973

CH_3J

Catal.
Krusz

Schmidt K.H., Müller A.,
J. Mol. Struct., 1973,
18, No I, 135-151.



(cfr. CH_3F_3 , III)

30719.8191

CH3J

TE, Ch, Ph

(J; \bar{J}_e) 89483

1973

8-1026

Uehara Yoichi, Saito Naoshi, Yonezawa
 Teijiro. Ionization potentials of trifluoromethyl and methyl halides by photo-electron spectroscopy and calculations by extended Hückel and CNDO/2 methods.

СМ.ПРОД.

898 898 911 0916 ник ВИНИТИ

30719.8191

TE, Ch, Ph

89480

"Chem. Lett.", 1973, ^{прод} № 5, 495-500
(англ.)

0918 ник

898 898 911

ВИНИТИ

CH_3Y

Baise J. Y.

1974

дисперсия.

коррелес.

ф-ции.

, J. Chem. Phys' 1974, 60,
N7, 2936 - 2937 (амн)

Динамическое корреляционное
ф-ции для свободного браун-
иев.

(ав CO; III)

ф. 1974. №9.

41110.3789
Ch, TC, Ex-C

CH₃I /см. нос./ 4974
35225 (голуб.) 2657

Bron_Jan.

Partition function ratios of the methyl halides differing only in isotopic substitution.

"Can. J. Chem.", 1974, 52, N 17,
3078-3082 (англ., рез. франц.)

207 210

220 0228 пик ВИНИТИ

1974

CH₃ γ

Duncan J. L.

"J. Mol. Struct." 1974 22,
N₂, 225-235 (aurs)

M.D.

(au CH₄; III)



x. 1975.

N₂

40426.6623

CH₃J

155749

TE, Ch., Ph.

Cry. n: 054969

5-4646

Kysel Hans Hermann, Lehmann Walter J.,
Lucas Kai, Müller Achim, Schmidt Karl-
heinz. Die Anwendbarkeit verschiedener
Näherungsmethoden zur Berechnung von
Kraftkonstanten bei Säkulargleichungen
der Ordnung $n \geq 2$. "Z. Naturforsch.",
1974, 29a, N. 2, 332-337

(нем., рез. англ.)

075 078 092 0400 РКН ВИНИТИ

XIV-7662

1974

CH₃J

HJ

He

14 Б192. Об отнесении молекулярных ридберговых состояний. Hochmann Petr, Wang Hung-tai, Felps W. Sidney, Foster Stephen, McGlynn Sean P. On the assignment of molecular Rydberg series. «Chem. Spectroscopy and Photochem. Vacuum-Ultraviolet». Dordrecht-Boston, 1974, 385—393 (англ.)

Методом наименьших квадратов выполнен анализ эксперим. данных по ридберговым сериям в спектрах CH₃J, HJ и He. В спектре CH₃J идентифицировано по серий, сходящихся к ионизац. пределам $E_{1/2}$ и $E_{3/2}$.

М. Р. Алнев

ридберг. состояний.

⊗ 72



Х. 1976 № 14

7 Д370. О выявлении молекулярных ридберговских
серий. Hochmann Petr, Wang Hung-tai,
Felps W. Sidney, Foster Stephen, Mc-
Glynn Sean P. On the assignment of molecular
Rydberg series. «Chem. Spectroscopy and Photochem.
Vacuum-Ultraviolet». Dordrecht—Boston, 1974; 385—393
(англ.)

Предложен простой способ определения ридбергов-
ских серий в молекулярных спектрах поглощения, в ко-
торых лишь частично разрешена колебательная струк-
тура электронных полос. В результате анализа спектра
поглощения CH_3I определены 22 ридберговских серий
(вместо 6 известных до сих пор), сходящиеся к двум
первым потенциалам ионизации этой молекулы, для
которых получены значения $76\,960 \pm 20 \text{ см}^{-1}$ и $82\,050 \pm$
 $\pm 20 \text{ см}^{-1}$. Библ. 10.

Б. С. Иванов

CH₃I
ХIII-УФ
y.
Ридберг.
серии

φ 1976 № 7

$\text{CH}_3 \text{ I}$ (cmphycm. nafad.)

1974

Iwata Y., Watanabe T.,

Annu. Rep. Res. React. Inst.
Kyoto Univ., 1974, 7, 87-93.

Reinvestigation of the crystal structure of iodoform by neutron diffraction.

C.A. 1975. 82 n22. 148611P

micro.

CH_3I

1974

Ikeuta Shigeru et al.

экспр.
страже

"Сиуэйр" Бунзаки, Mass
"Sheet Rose" 1974, 22, N 4,
233-238 (авт.)

(all CH_3NH_2 ; $\underline{\text{II}}$)

40412-3756
EX-AR/KP-2,
TE, Ma, Ph, MGU

CH₃J (абс. спектр) 1974

OZ

49048

2011

Kasuya Takahiro. Infrared absorption
spectrometer with a broad-band tunable
He-Xe laser. "Appl. Phys.", 1974, 3,
N 3, 223-228

(англ.)

0034 яз.

069 071

ВИНИТИ

H₃CJ

1974

Runes of P.U.

memoriam.
pacem.

Cienc Cult (Sao Paulo)
1974, 26(9) 875-6

(see H₃CF; III)

41105.9542
Ch, Ph, TC

30526

CHJ₃

D

1974

2638

Lin S.M., Mascord D.J., Grice R.

Reactive scattering of alkali dimers
 $K_2^+I_2$, CH_2I_2 , CHI_3 , CBr_4 .

"Mol. Phys.", 1974, .28, N 4, 957-974

(англ.)

0227 пак

203 205

0214

ВИНИТИ

1974

CH₃JCH₃Br

(A)

96543a Chemi-ionization in alkali-methylhalogen collisions.
Moutinho, A. M. C.; Aten, J. A.; Los, J. (FOM.-Inst. Atoom
Molecuulfys., Amsterdam, Neth.). *Chem. Phys.* 1974, 5(1),
84-94 (Eng). Chemi-ionization was observed in collisions
between the K, Na and Li atoms and the MeI and MeBr mols.
Total cross sections were measured as functions of the translational
energy and the internal energy of the Me halide mols. The
molecular electron affinities were determined from the thresholds
of these reactions. The thresholds indicate that these neg. ions
are formed by vertical or near-vertical transitions, in contrast to
most experiments on chemi-ionization, which yield the adiabatic
electron affinities. In the threshold region, the cross sections are
strongly dependent upon the internal energy of the molecules.
At very high temperature, MeI dissociates, and so chemi-ionization
was observed with I atoms.

C.A. 1974.

81. N16

+1



1974

CH₃I (μ, h) . X 4449

89163c Combined analysis of microwave and infrared spectra of methyl iodide. Rotational and *l*-type doubling constants of the v_5 , $v_3 \pm v_6$, and v_2 states. Matsuura, Hiroatsu; Kawashima, Yoshiyuki; Hirose, Chiaki (Inst. Protein Res., Osaka Univ., Suita, Japan). *J. Mol. Struct.* 1974, 20(2), 205-12 (Eng). The rotational const. *B* and the *l*-type doubling const. *q* were detd. for the v_5 , $v_3 \pm v_6$, and v_2 states of MeI from the microwave transition frequencies, in combination with the ir data previously reported. Since these vibrational states were coupled through the Fermi resonance and the *xy*-type *E-E* and *A₁-E* Coriolis

C.A. 1974. 80. 116

resonances, the anal. was made by setting up and solving the complete form of the secular determinants of the energy matrixes. The rotational and *l*-type doubling consts. were detd. as $B_3 = 0.250173$, $B_{3\ell} = 0.247600$, $B_2 = 0.249369 \text{ cm}^{-1}$, $q_3 = -0.000027$, and $q_{3\ell} = -0.000179 \text{ cm}^{-1}$, which are unperturbed by Fermi and Coriolis interactions. Other band consts. for ν_3 and $\nu_3 + \nu_6$ were also refined in accordance with the new values of B_3 and $B_{3\ell}$. The combined anal. of microwave and ir spectral data was useful for the precise detn. of vibration-rotation levels in the perturbed system.

CH₃J

*Ч-ЧЧЧ

1974

(M.H.)

8 Д580. Совместный анализ микроволнового и инфракрасного спектров метилйодида: вращательные постоянные и постоянные *l*-удвоения для состояний v_5 , v_3+v_6 и v_2 . Matsuiwa Hiroatsu, Kawashima Yoshiyuki, Hirose Chiaki. Combined analysis of microwave and infrared spectra of methyl iodide: rotational and *l*-type doubling constants of the v_5 , v_3+v_6 and v_2 states. «J. Mol. Struct.», 1974, 20, № 2, 205—212 (англ.)

Выполнен теоретич. анализ микроволн. и ИК-спектра молекулы CH₃J, полученных авторами ранее. При этом использованы частоты вращательных переходов с $J=0 \rightarrow 1$ и $1 \rightarrow 2$ в возбужденных состояниях v_2 , v_5 и v_3+v_6 и частоты линий с $J \leq 40$ ИК-полос v_2 , v_5 и v_3+v_6 . Расчеты выполнены с учетом резонанса Ферми между v_5

Ф. 1974. N8

и $v_5 + v_6$, резонанса Кориолиса между E -компонентами v_5 и $v_3 + v_6$, связанного с xy -осями, и $A_1 - E$ -резонанса Кориолиса между v_2 и v_6 , связанного также с xy -осами: приведены явные выражения матриц энергии, использованные при расчете. Из частот всех переходов методом наименьших квадратов в сочетании с точными методами диагонализации матриц вычислены невозмущенные резонансами значения вращательных постоянных ($B_5 = 0,250173$, $B_{36} = 0,247600$, $B_2 = 0,249369 \text{ см}^{-1}$), постоянных l -удвоения ($q_5 = -0,000027$, $q_{36} = -0,000179 \text{ см}^{-1}$), параметров резонансов Ферми ($K_{356} = 29,6149 \text{ см}^{-1}$) и Кориолиса ($\xi_{5,36} = 0,03267 \text{ см}^{-1}$) и других молекулярных параметров CH_3J . М. Р. Алиев

CH3J

ХУ-ЧЧЧ9

1974

16 Б250. Совместный анализ микроволнового и инфракрасного спектров метиляйодида: вращательные постоянные и постоянные *l*-удвоения для состояний ν_5 , $\nu_3 + \nu_6$ и ν_2 . Matsuiwa Hiroatsu, Kawashima Yoshiyuki, Hirose Chiaki. Combined analysis of microwave and infrared spectra of methyl iodide: rotational red spectra of methyl iodide: rotational and *l*-type doubling constants of the ν_5 , $\nu_3 + \nu_6$ and ν_2 states. «J. Mol. Struct.», 1974, 20, № 2, 205—212 (англ.).

м.и.

Выполнен теор. анализ МВ- и ИК-спектра молекулы CH3J, полученных ранее. При этом использованы частоты вращательных переходов с $J=0 \rightarrow 1$ и $1 \rightarrow 2$ в возбужденных состояниях ν_2 , ν_5 и $\nu_3 + \nu_6$ и частоты линий с $J \leq 40$ ИК-полос ν_2 , ν_5 и $\nu_3 + \nu_6$. Расчеты выполнены с учетом резонанса Ферми между ν_5 и $\nu_3 + \nu_6$, резонанса Кориолиса между *E*-компонентами ν_5 и $\nu_3 + \nu_6$, связанного с *xy*-осами и *A₁*—*E*-резонанса Кориолиса между

ν_2 и ν_5 , связанного также с xy -осами: приведены явные выражения матриц энергии, использованные при расчете. Из частот всех переходов методом наименьших квадратов в сочетании с точными методами диагонализации матриц вычислены невозмущенные резонансами значения вращательных постоянных ($B_5=0,250173$, $B_{36}=0,247600$, $B_2=0,249369 \text{ см}^{-1}$), постоянных l -удвоения ($q_5=0,000027$, $q_{36}=0,000179 \text{ см}^{-1}$), параметров резонансов Ферми ($K_{356}=29,6149 \text{ см}^{-1}$) и Кориолиса ($\xi_{5,36}=0,03267 \text{ см}^{-1}$) и других молекулярных параметров CH_3J .

М. Р. Алиев



1974

CH₃ 7

Анализ колебанийно-вращательных спектров сопряженных ионов
изделий ИВИ.

(и.н.)

Nakagawa Tora, et. al.

"J. Mol. Spectrosc." 1974, 50

N 1-3, 333 - 348 (авн.)



(ав ОС; III)

9. 1974 N10

1974

CH_3J

Provitali C.H., Scatano J.C.

Rev. Latinoamer. Quim., 1974,
5(2), 61-6.

$\gamma, \delta_0, v,$

(c.c.r. CH_3F ; III)

CH_3J

1974

CS_2

C_2H_2

C_2H

7 Д345. Вакуумная УФ- и фотоэлектронная спектроскопия; исторический обзор. Price W. C. Vacuum ultraviolet and photoelectron spectroscopy. Historical background and survey. «Chem. Spectroscopy and Photochem. Vacuum—Ultraviolet». Dordrecht—Boston, 1974, 1—11 (англ.)

Кратко изложена история развития вакуумной УФ- и фотоэлектронной спектроскопии в применении к исследованию многоатомных молекул. Приведены примеры (C_6H_6 , CH_3J , CS_2 , C_2H_2 , C_2H_4 и др.), иллюстрирующие основные достижения этих методов. Библ. 20.

фотоэл. спектр

(+1) обз. фотоз. сп.

φ 1976 № 7



(+3)



CH₃J

1974

14 Б200. Свойства молекулярных ридберговых состояний. Robin M. B. Aspects of molecular rydberg states. «Chem. Spectroscopy and Photochem. Vacuum—Ultraviolet». Dordrecht—Boston, 1974, 13—23 (англ.)

*ридберг.
состоян.* Рассмотрены основные методы идентификации ридберговых серий полос в спектрах поглощения и в фотоэлектронных спектрах молекул: применение ф-лы Ридберга для частот полос, распределение интенсивности, влияние давления на форму полос и др. Обсуждена идентификация ридберговых серий бензола, CH₃J, амидов, изоциановой к-ты и т. д. Построена диаграмма корреляции ридберговых состояний алкил- и фторзамещ. оксосоединений. М. Р. Алиев

X1976 N 14



идентифик.
полос

(прав. ошиб.)

1974

*CH₃J**фотоэлк.
спектр*(73)

9 1976 № 7

7 Д349. Смесь УФ- и фотоэлектронных спектров иодидов. Salahub D. R., Boschi R. A. A *potpourri of UV and PE spectra of iodides.* «Chem. Spectroscopy and Photochem. Vacuum—Ultraviolet». Dordrecht—Boston, 1974, 191—195 (англ.)

Рассмотрены некоторые аспекты интерпретации УФ- и фотоэлектронных спектров иодидов. Показано, что по виду фотоэлектронного спектра винилиодида можно сразу установить порядок заполненных молекулярных орбитателей: ... π , $n(a')$, $n(a'')$, где $n(a')$ и $n(a'')$ есть орбитали неподеленных пар атома иода, расположенные в плоскости молекулы и вне ее соответственно. Сравнение УФ-спектров поглощения CH₃J и Xe позволяет идентифицировать одну из ридберговских серий молекулы CH₃J как ns -серию, а также избавиться от неоднозначности раздельного определения n и δ (для ns -серии в CH₃J значение квантового дефекта принято равным $\delta=4,24$). На основании сравнения фотоэлектронных спектров фторированных иодэтанов (C₂H₅J, CF₃CH₂J и C₂F₅J) удается легко показать, что в C₂H₅J энергия орбитали CH меньше энергии орбитали CC. Библ. 7.

В. С. Иванов

1974

CH₃ J

Tsai Bilin P,
Baer Tomas

спектр
фотодислок.

"J. Chem. Phys." 1974, 61, N5,
2047 - 2049 (авг)

(авг 1974, III)

Х. 1975. N 4

Me J
CH₃ J

1974

Telosov F.J.

Terisy dokl. Merkholym
pharmu.
Konf. Opt. Rentgenovskikh
sistem
Luchei Mikroanal. Zh
1974, 7-8 (russ)



(cii H₂, III)

50416.1245

Ph, Ch, TC, MGU

41125
CH₃I

1975
4009

Brodersen Svend, Rasmussen Finn,
Hegelund Flemming. Rotation-vibrational
states and transitions in C_{3v} molecules.

"J. Mol. Spectrosc.", 1975, 54, N2, 285-295

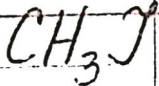
(англ.)

0347 РИК

314 320 339

ВИНИТИ

1975



9 Д344. Определение вращательной постоянной A_0 для молекул C_{3v} . Полоса v_4 в спектре комбинационного рассеяния метилйодида. Freedman P. A., Jones W. Jeremy. Determination of the A_0 rotational constant for C_{3v} molecules. The v_4 Raman band of methyl iodide. «J. Chem. Soc. Faraday Trans.», 1975, Part 2, 71, № 3, 650—653 (англ.)

(ч.н)

В спектре комб. рас при лазерном возбуждении исследована полоса v_4 CH_3J . В результате анализа полученных спектров определена вращательная постоянная A_0 CH_3J , величина которой хорошо согласуется с результатами, полученными другими методами. Библ. 10.

4.1975/109

1975

CH₃J

19 Б226. Определение вращательной постоянной A_0 молекул с симметрией C_{3v} . Полоса ν_4 спектра КР метиляодида. Freedman P. A., Jones W. Jeremey. Determination of the A_0 rotational constant for C_{3v} molecules. The ν_4 Raman band of methyl iodide. «J. Chem. Soc. Faraday Trans.», 1975, Part 2, 71, № 3, 650—653 (англ.)

Измерена вращательная структура полосы ν_4 спектра КР молекулы CH₃J. Идентифицирована структура Q-ветвей и определены значения частоты центра полосы ν_4 ($\nu_4^{\circ}=3060,22 \text{ см}^{-1}$), вращательной и центробежной постоянных ($A_0=5,172$, $D_k^{\circ}=11,2 \cdot 10^{-5} \text{ см}^{-1}$), кориолисовой постоянной ($A\zeta_4=0,3421 \text{ см}^{-1}$ и суммы α -постоянных колебательно-вращательного взаимодействия ($\alpha_4^A + \alpha_4^B=0,0291 \text{ см}^{-1}$).

M. Р. Алиев

x 1975 N 19

60315.1208

Ch. TC. MGU

(б. паспорт) 1975

CH₃I (Vi) №у-11801

Fujiwara Kenji, Fukushi Kohji,
Ikawa Shūichi, Kimura Masao. Infrared
band shape of the C-I stretching vibra-
tion of methyl iodide in solutions.

"Bull. Chem. Soc. Jap.", 1975, 48, N12, 3464~
3468 (англ.)

0569 ppm

557

557

ВИНИТИ

CH_3J

1975

(ч.н.)

23 Б343. Отнесение субмиллиметровых лазерных линий молекулы CH_3J . Гапег Georges. Assignment of submillimeter laser lines in CH_3J . «Opt. Communis», 1975, 14, № 1, 67—69. (англ.)

Из лит. данных по значениям молек. постоянных вычислены частоты вращательных переходов молекулы CH_3J в различных колебательных состояниях. На основании результатов расчета дано отнесение субмиллиметровых линий генерации CH_3J -лазера с накачкой от CO_2 -лазера.

М. Р. Алиев

X1975 №23

60102.3149

01921

(3)

1975

Ф, Х, ТС, МГУ

CH₃Cl

X
Ху-10856

Фотоионизационные процессы в метилгалоидах
у порога. Иванов В.С., Вилесов Ф.И.
"Оптика и спектроскопия", 1975, 39, № 5,
857-863

(см. CH₃Cl; II)

0522 ПИК

482 484 514

реф ВИНИТИ

1975

CYH₃

CYD₃

Ced. nocr.

Izotani S.

An. Acad. Bras. Cienc.,
1975, 47(3-4), 381-6

(cui. CFH₃; III)

JCH_3

1975

Isotani S.

euu. noer

J. Mol. Struct. 1975,
28(1) 61-76 (eng)

(euu FCH_3 ; $\underline{\text{III}}$)

505 14.7210
Ch, Ph, TC, DB

CH₃γ

40892

1975

*45-8929

Hochmann P., Templet P.H., Wang H.-t.,
McGlynn S.P.

Molecular Rydberg transitions. I.
Low-energy Rydberg transitions
in methyl halides.

(см CH₃Cl; III)

"J.Chem.Phys.", 1975, 62, N 7, 2588-2595

(англ.)

0364 ник

337 342 356

ВИНИТИ

J-CM₃

OTT. 4824

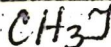
1975

Kerr J. A., et al.

(Do)

Handbook chem. phys.,
55th Ed., 1974-75.

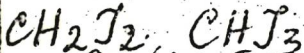
51118.8464



41195

1975

Ch, Me1, Ph, TC



*9-10561.

Справочник по физике

Kudschadker S.A., Kudschadker A.P.

Ideal gas thermodynamic properties of
the eight bromo- and iodomethanes.

"J.Phys. and Chem.Ref. Data", 1975, 4, N 2,

457-470

(англ.)

0504 пяк

471 473

ВИНИТИ

#45 - 8322.

1975

CH₃J

Mann R., Witten R.,
Monasty B.S.

quenched, "Mol. Phys." 1975,

Chemsp.

29 N2, 485-500

Cancer - opium. hydrazogent.

50129.9050

96615

02

1975

Ph, Ch, TC

УСНЗ

* 4-8046

Müller A., Rai S.N.

Pseudo-exact force constants from coriolis coupling constants. "J. Mol. Struct.", 1975, 24, N 1, 59-71

(англ.)

0291 ник

(ав. CH₃F; III)

261 263 2 6 5.

ВИНИТИ

CH_3J

Magyar J. et.

1975

Diss. Abst. Ynt. B,

(M.N.)

1975, 8 35 (8), 4097

(see. CH_3F ; III)

50514.1384

Ch, E_X-C, TC

40597

CH₃I (80)

1975

#48838

Okafo Ernest N., Whittle Eric. Competitive study of the reactions Br+R_fI → IBr+R_f and determination of bond dissociation energies D(R_f-I) where R_f==CF₃, C₂F₅, n-C₃F₇, t-C₃F₇, and n-C₄F₉.

"Int. J. Chem. Kinet.", 1975, 7, N2, 287-300
(англ.)

344 345

349 0357 ПИК ВИНИТИ

1975

CH₃ J

Overend T.

aneksp. Vib. Spectra and
Struct. Vol. 3., 1975,
131-238.

● (Call HCN)_{III}

CH₃J

XIV-6305

1975

Fsal B.P., et al.,
J. Phys. Chem., 1975, 79, (6),
570-4.

(A,P)

(cu. CH₃Br; $\underline{\underline{\underline{I}}}$)

50314.6702

96615

1975

Ex-C, TC, Ph, Ch

CH₃Y

3212

Whitmer John C., Lewis Brian D. Potential energy distributions and normal coordinates of methyl, methyl-d₃ and partially deuterated methyl chloride, bromide and iodide. "J. Mol. Struct.", 1975, 24, N 2, 317-324

(англ.)

0324 ПИК

(all: CH₃ Cl; III)

297 299 316

ВИНИТИ

CH_3J

4-14696

1976

2 Д420. Вращательный спектр высокого разрешения молекулы метилиодида с использованием спектрометра с молекулярным пучком. Burie J., Boucher D., Demaison J., Dubrulle A. The high resolution rotational spectrum of methyl iodide using a molecular beam spectrometer. «Mol. Phys.», 1976, 32, № 1, 289—295 (англ.)

Сверхтонкая структура перехода $J=5 \leftarrow 4$ вращательного спектра основного состояния молекулы CH_3J исследована с помощью спектроскопии молекулярных пучков. Результаты работы совместно с данными традиционной спектроскопии позволили определить с высокой точностью вращательную постоянную B основного состояния, ряд постоянных центробежного растяжения 4 и 6 порядков, две константы спин-вращатель-

(iii, n)

9. 1977. № 2

ной связи, а также константу квадрупольного взаимодействия. Показана необходимость учета связи квадрупольного взаимодействия и центробежного расстояния. Значения констант спин-вращательного взаимодействия не согласуются с полученными ранее методом двойного резонанса. Различие отнесено за счет исключенной ранее поправки 3-го порядка к квадрупольной энергии. Библ. 15.

70318.9190

485400

1976

Ex-C, Ch, TC

CH₃ I

art. 4941

Böhlig Heinz, Harmonische Kraft-
felder mehratomiger Moleküle. "Z.
Chem.", 1976, 16, N 11, 430-435
(нем.)

0833 8115

791 792 8 22

ВИЧИТИ

CH_3Y

сммача 4396

1976

коием.

Чемпод.
пищевое.

(μm)

Dunecan J. L.,
J. Mol. Spectrosc.

1976, 60 n1-3
225 - 38

● ($\text{Cu} \cdot \text{BF}_3 \cdot \text{H}_2\text{O}$)

CH_3J

1976

Dubleish A.K. et al.

Indian J. Pure Appl. Phys.
1976. 15(S), 356-9

(See note.)

(on CH_3F), III

60701.3376

41125

1976

Ch, Ph, TC, MGU

CH₃S

*у-13627

Felps S., Hochmann P., Brint P.,
McGlynn S.P.

Molecular Rydberg transitions. The lowest-energy Rydberg transitions of s-type in CH₃X and CD₃S, X=Cl, Br, and I.

"J. Mol. Spectrosc.", 1976, 59, N 3,
355-379 (англ.)

0634 ПМК

cell. CH₃Cl, IV

625 632

6 46

ВИНИТИ

CH₃J

XIV-4409

1976

Izotoui S., et al.

J. Chir. phys. et
plus-chir. biol. 1976,
73, N5, 535-9

(all. 100%)

(all CH₃F) III

70121.8750

Ph, TC.

30063

1976

CH₃J

4873

MacGillivray W. R.

The measurement of widths and pressure-induced shifts of rotational lines in the microwave region.

"J. Phys. B: Atom. and Mol. Phys.", 1976, 9,
N 14, 2511-2520 (англ.)

0795 ник

7.97

741 755

ВИНИТИ

70126.6609

58661

1976

TG

CH₃T

*45-16504

К р. № 70126.6601

Müller K., Kneubühl R. Coriolis coupling in symmetric-top molecules in liquids. "Helv. phys. acta", 1976, 49, N 5, 702-704 (англ.)

0799 РИК

745 749 791

ВИНИТИ

CH₃J

1976

Nieto J. I., et al.

All. quim. Real Soc.
esp. fis. y quím. 1976,
72, N^o 1, 939-84.

(preetelli
cav. llorelli)



(See CH₃F) III

CJH₃
CJD₃

* IS - 17356

1976

M.N.

Thirugnanasambandam P.

Indian J. Phys., 1976,
50(5) 527-43 (eng)

(see CJD₃)

CH_3Y^+

1977

Chace F.T. et al.

Электрон.
спектр,
спектра

Phys. Scr. 1977, 16(5-6), 286;
(Eng)

act. $\text{CH}_3\text{Cl}^+ - \text{II}$

CH_3J

1944

Frost B.S et al.

M. b. неизр
изопаренії
антиизопаренії.
зелені

J. Phys. B: Atom and
Mol. Phys. 1944, 10, N18,
3649-3654

all. OCS-II

CH₃J

Lancor 5380/ 1944.

Gibson H.W.

(J)

Call. J. Chev. 1944,
55, 2834-41.

70418.2143
Ch, TC

92073

1977

CH_3I / soln) # 45-17799

Ikawa Shun-ichi, Fukashi Kohji,
Fujiwara Kenji, Kimura Masao. The infrared
band shapes of methyl iodide in solutions.
"Bull. Chem. Soc. Jap.", 1977, 50, N1,
60-64 (англ.)

0854 ник

341 844

ВИНИТИ

CH_3J

ommec 5695 1977

$\frac{d}{dt}$, cell , noct.

Kaila R., Dixit L., Gupta P.L.
Indian J. Pure and Appl. Phys.,
1977, 15, 238-41.

~~CH₃I~~

Unpublished 6304 1977.

Källsson L; et al.

Phys. Soc., 1977, 16, 225-34

Vibrational and Vibronic
Structure in the ..

all. CH₃F-II

CH₃J

CS₂

ИФ, СССР

(71) 8

Ф, 14, 1978

отмече 5680

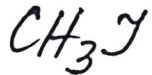
1974

4 Д386. Возмущения молекулярных экстравалентных переходов в плотных средах инертных газов.
 Messing Itzhak, Raz Baguch, Jortner Joshua. Perturbations of molecular extravalence excitations by rare-gas fluids. «Chem. Phys.», 1977, 25, № 1, 55—74 (англ.)

Описаны результаты эксперим. исследования вакуумных УФ-спектров поглощения «примесных» молекул CH₃J в Ar (при плотностях $\rho = 0 \div 1,4 \text{ г}/\text{см}^3$) и Kr ($\rho = 0 \div 2,3 \text{ г}/\text{см}^3$), CS₂ в Ar ($\rho = 0 \div 1,4 \text{ г}/\text{см}^3$) и CH₂O в Ar ($\rho = 0 \div 125 \text{ г}/\text{см}^3$). Получена новая информация о возмущениях средой интравалентных, низших экстравалентных переходов и переходов в валентно-ридберговские состояния, которая может послужить основой для идентификации типа электронного возбуждения. Для низших экстравалентных молекулярных переходов наблюдается относительно большой голубой спектральный сдвиг при средних и высоких плотностях среды; переходы с возбуждением смешанных валентно-ридберговских конфигураций испытывают умеренный голубой

спектральный сдвиг, а интравалентные переходы практически нечувствительны к влиянию среды. Получена также новая информация об энергетике процессов ионизации молекул в плотных средах. Обнаружено, что ридберговские состояния молекулы CH_2J с $n=2 \div 5$ испытывают большой красный сдвиг при средних плотностях Ag ($\rho = 0 \div 0,5 \text{ г}/\text{см}^3$). Потенциал ионизации E_g и эффективная ридберговская постоянная G для CH_3J в Ag уменьшаются от $G=13,6$ эв и $E_g=9,55$ эв при $\rho=0$ до $G \approx 7,15$ эв и $E_g=9,08$ эв при $\rho=0,5 \text{ г}/\text{см}^3$. Для CH_3J и CH_2O в жидком Ag идентифицированы состояния Ванье с $n=2$. Определены потенциалы ионизации молекул CH_3J и CH_2O в жидком Ag , равные $\approx 8,6$ и $\approx 10,2$ эв соответственно. Библ. 47. В. С. Иванов

стод:



Колебат.
структур.
Ридберг. переходов

Ф. 1978 № 1

Д366. Влияние среды на колебательную структуру некоторых молекулярных ридберговских переходов.
Messing Itzhak, Raz Bagus, Jortner Joshua. Medium effects on the vibrational structure of some molecular Rydberg excitation. «Chem. Phys.», 1977, 23, № 3, 351—355 (англ.).

ВУФ-спектры поглощения (1700—2000 Å) молекул CH_3J и H_2CO исследованы в Ar при плотностях 0—1,4 г/см³. С помощью статистич. теории рассчитаны формы возмущенных аргоном линий спектра. Показано, что независимые асимметрич. уширения индивидуальных вибронных компонент ответственны за видимые изменения распределения интенсивности в спектре при увеличении плотности среды.



CH_3J^+

1 Д367. Фотодиссоциация ионов CH_3J^+ и CD_3J^+ .
Mc Gilverey D. C.; Morrison J. D. Photodissociation
of CH_3J^+ and CD_3J^+ . «J. Chem. Phys.», 1977, 67,
№ 1, 368—369 (англ.)

С помощью двойного квадрупольного масс-спектрометра и перестраиваемого лазера на красителях получены кривые эффективности фотодиссоциации ионов CH_3J^+ и CD_3J^+ в области энергий квантов 1,8—2,8 эв. Энергия электронов, ионизующих молекулы CH_3J (CD_3J), всего на ~ 1 эв превышала пороговую, и следовательно, были заселены лишь низшие электронные состояния исходных ионов. Идентифицированы фотодиссоциационные переходы из основного (${}^2E_{3/2}$) и первого возбужденного (${}^2E_{1/2}$) состояний ионов CH_3J^+ (CD_3J^+). Резкая структура на кривых эффективности фотодиссоциации объяснена предиссоциацией с высоких колебательных уровней в валентном колебании $\text{C}-\text{J}$ состояния 2A_1 . Относительные интенсивности колебательных полос заметно отличаются у CH_3J^+ и CD_3J^+ . Полосы резче, а колебательные прогрессии короче для иона CD_3J^+ . Асимметрическая форма колебательных полос приписана неразрешенной вращательной структуре.

В. С. Иванов

фотодиссоциация ионов

Ф. 1978
N 1

1977

 CH_3J CD_3J

4.11.

8 Д343. Квадрупольные спектры молекул высокого разрешения. Осипов Б. Д. «Достижения спектроскопии. 18-й Съезд по спектроскопии, Горький, 1977, Ч. 1». М., 1978, 182—193

На основе принципа модулированного двойного резонанса построен микроволни. спектрометр с разрешением 1 Кгц для получения спектров переходов между компонентами квадрупольной сверхтонкой структуры вращательных уровней молекул: накачка ведется мощным кластроном в диапазоне 30—100 Ггц, а сигнальные спектры наблюдаются в диапазоне 100—500 Мгц. На этом спектрометре измерены квадрупольные спектры молекул CH_3J , CH_3Br , CD_3J и CD_3Br . Определены значения постоянных квадрупольной связи eqQ и коэф. вращательной зависимости eqQ . М. Р. Алиев



Ф.1977Н8

CH_3J

1977

5 Д421. Магнитная сверхтонкая структура квадрупольного спектра молекулы CH_3J . Осипов Б. Д.
«Письма в ЖЭТФ», 1977, 25, № 1, 14—17

Создан новый импульсный спектрометр для наблюдения квадрупольных спектров молекул, разрешена магнитная сверхтонкая структура квадрупольного спектра молекулы $^{12}\text{CH}_3^{127}\text{J}$ и обнаружен резонанс Ферми между уровнями $J=K=3$, $F_1=9/2$ и $F_1=7/2$.

сверх-
тонкая
структур.

φ. 1977 № 5

CH₃J

Omnitech 5889 1977

Cu, no et.

ZnCl₂(Tf)₂

Skaron S.A., et al.
J. Amer. Chem. Soc.,
1977, 99, 5253-5261.

70531.8737
Ch, Ph, TC, MGU

И.Р. Погорел,
CH₃J COCl

1977

*G-18338

Spence David.

Prediction of low energy molecular Rydberg states from Feshbach resonance spectra.

"J. Chem. Phys.", 1977, 66, N 2, 669-674

(англ.)

(ед. HCl; 11)

0883 нмк

833 842 874

ВИНИТИ

CH₃Y

1977

Wang H.J.

спектр
новых.

"J. Chem. Phys." 1977, 67, N9,
3940-3946 (ам.)

CH₃Y - III

1977

CH₃J

12 Б232. Самоуширение и самосдвиг $J=0\rightarrow 1$ и $J=1\rightarrow 2$ вращательных переходов CH_3Br и CH_3J . Wepink W. A., Dijkerman H. A. Self-broadening and self-shifting of $J=0\rightarrow 1$ and $J=1\rightarrow 2$ rotational transitions of CH_3Br and CH_3J . «J. Phys. Atom and Mol. Phys.», 1977, B10, № 17, (англ.)

*Самоушир
Самосдвиг*

Экспериментально измерены сдвиги и уширения линий вращательных переходов: $\text{CH}_3^{79}\text{Br}$, $J=0\rightarrow 1$, $F=3/2\rightarrow 5/2$; $\text{CH}_3^{81}\text{Br}$, $J=0\rightarrow 1$, $F=3/2\rightarrow 5/2$; $\text{CH}_3^{81}\text{Br}$, $J=1\rightarrow 2$, $K=1$, $J=1/2\rightarrow 7/2$, $\text{CH}_3^{127}\text{J}$, $J=0\rightarrow 1$, $F=5/2\rightarrow 7/2$, $\text{CH}_3^{127}\text{J}$, $J=1\rightarrow 2$, $K=1$, $F=3/2\rightarrow 1/2$, вызванные столкновениями молекул. Определены зависимости параметров уширения и сдвига линий от температуры. Отмечена сильная зависимость параметра сдвига линии от квантовых чисел J , J' для молекул типа симметричного волчка.

Ю. Л. Малинкевич

X, 1978, N/2

CH_3J

CF_3J

CS_2

(у)

+2

1977

10 Д444. Интерпретация на основании экситонной модели длинноволновых ридберговых полос йодистого метила, трифториодметана и сероуглерода, растворенных в сжиженных газах. Зеликина Г. Я., Мейстер Т. Г. «Оптика и спектроскопия», 1977, 42, № 6, 1080—1085

Полученные ранее эксперим. данные по поглощению растворов CH_3J , CF_3J и CS_2 в сжиженных аргоне, криptonе, ксеноне, метане и фреоне-14 интерпретированы с помощью модели связанныго экситона для ридберговых полос при разных т-рах. Применение этой модели дает возможность определить потенциалы ионизации молекулы примеси, находящейся в данном растворителе, и выявить ряд других закономерностей. Резюме

ф. 1978 № 10

CH₃I

annulus 6451

1978

89: 51010y Radio-frequency spectroscopy inside a laser cavity; "pure" nuclear quadrupole resonance of gaseous methyl iodide. Arimondo, E.; Glorieux, P.; Oka, Takeshi (Herzberg Inst. Astrophys., Natl. Res. Coun. Canada, Ottawa, Ont.). *Phys. Rev. A* 1978, 17(4), 1375-93 (Eng). The highly sensitive method of IR-radio-frequency double resonance inside a laser cavity was applied to the observations of pure nuclear quadrupole resonances of gaseous MeI corresponding to the transitions $\Delta J = 0$ and $\Delta F = \pm 1$. Radio-frequency signals with large signal-to-noise ratios ($\sim 10^4$) were obsd. for many CO₂ and N₂O laser lines. The characteristic pattern of the radio-frequency spectrum specific to each rovibrational level permitted the

*Igelfus -
Yegoroff,
Crucifix*

C. R. 1978. 89 # 6

assignment of the rotational levels, the IR coincidences, and the assoc. far-IR laser transitions unambiguously. From the radio-frequency spectrum the accurate vibrational and rotational dependences of the nuclear-quadrupole coupling const. and the values of the spin-rotation coupling consts. were detd. Because of the high sensitivity of the method, it was possible to observe collision-induced radio-frequency resonances as satellites to main line. This effect not only increases the no. of observable quadrupole resonances, but also provides information on the detailed mechanism of rotational energy transfer. This method of observing pure quadrupole spectra of gases is applicable to any polar sym.-top mol. with hyperfine structure which has rotational levels with double parity.

CH₃J

1978

11 Д626. Вращательный спектр метилюодида, свободный от эффекта Доппера. Тензоры ядерной квадрупольной связи, спин-вращательного взаимодействия и ядерного экранирования йода. *Bois歇 D., Buggie J., Dangoisse D., Demaison J., Dubrule A.* Doppler-free rotational spectrum of methyl iodide. Nuclear quadrupole, spin-rotation and nuclear shielding tensors of iodine. «Chem. Phys.», 1978, 29, № 3, 323—330 (англ.)

На микроволни. спектрометре с молекулярым лучком методом лэмбовского провала измерен вращательный спектр молекулы CH₃J в диапазоне 59—240 Гц. Идентифицирована сверхтонкая структура линий вращательных переходов с $J \leq 15$ в основном колебат. состоянии. Анализ спектра выполнен с учетом ядерной квадрупольной связи, спин-вращательного взаимодействия, квартичного и секстичного центробежного искажения и влияния центробежного искажения на квадрупольную связь. Определены значения констант этих взаимодействий: $B = 7501275,70$ кгц; $D_1 = 6,3070$ и $D_{4k} =$

Ф. 1978 N 11

$=98,762$ кГц; $H_j=-0,0051$, $H_{jk}=0,04$ и $H_{kj}=4,51$ Гц;
 $eqQ=-1934,136$ МГц; $C_{\perp}=-17,40$, $C_{\parallel}=-19,4$, $\chi_j=$
 $=-1,41$, $\chi_k=-38$ и $\chi_d=26,2$ кГц. Вычислены значения
компонентов тензора ядерного экранирования $\sigma_{\alpha\alpha}$ яд-
ра J и сопоставлены с значениями $\sigma_{\alpha\alpha}$ ядра J в
8 молекулах.

М. Р. Алиев

x $2v_1$
 v_3

1978

CH₃I

88: 200365b Doppler-free rotational spectrum of methyl iodide. Nuclear quadrupole, spin-rotation and nuclear shielding tensors of iodine. Boucher, D.; Burie, J.; Dangoisse, D.; Demaison, J.; Dubrulle, A. (Lab. Spectrosc. Hertzienne, Univ. Lille I, Villeneuve d'Ascq, Fr.). *Chem. Phys.* 1978, 29(3), 323-30 (Eng). The ground-state microwave spectrum of MeI was remeasured between 59 and 240 GHz with a mol. beam spectrometer and by use of the Lamb dip method. The following mol. parameters were accurately detd.: $B = 7501275.70(2)$ kHz; $D_J = 6.3070(2)$ kHz; $D_{JK} = 98.762(3)$ kHz; $H_J = -0.0051(6)$ Hz; $H_{JK} = 0.04(2)$ Hz; $H_{KJ} = 4.51(3)$ hZ; $Q = 1934.136(5)$ MHz; $C_{t\perp} = -17.40(6)$ kHz; $C_{\parallel\parallel} = -19.4(5)$ kHz; $\chi_J = -1.41(4)$ kHz; $\chi_K = 38(1)$ kHz and $\chi_d = 26.2(6)$ kHz. The last 3 consts. characterize the interaction of centrifugal distortion with quadrupole coupling. The data are used to det. the elements of the I nuclear magnetic shielding tensor. Comparisons of the shieldings are made for mols. which contain one I atome.

C.A. 1978 88, N26

CH₃I 1948

Hitchcock A.P. et al.
J. Electron Spectrosc.
and Relat. Phenom.
1948, 13, N3, 193-218 (anov)



as. CH₃Cl-II

CH₃Y⁺

1978

2Б132) Масс-спектрометр для изучения фотодиссоциации ионов, вызванной лазерным излучением.
Mc Gilvery D. C., Morrison J. D. A mass spectrometer for the study of laser-induced photodissociation of ions. «Int. J. Mass Spectrom. and Ion Phys.», 1978, 28, № 1, 81—92 (англ.)

Исследование процессов фотодиссоциации ионов, вызванной излучением перестраиваемого лазера на красителях, выполнено с помощью квадрупольного tandem-масс-спектрометра. В системе три квадруполя смонтированы последовательно, причем 1-й и 3-й используются, как масс-анализаторы, а центральный работает

ото

X. 1979 № 2

только с переменной составляющей. Монохроматич. излучение, настраиваемое в диапазоне 700—350 нм на 12 частот с интервалами порядка 50 нм, проходит вдоль оси системы навстречу движению ионов образованных в источнике с ионизацией электронным ударом. Управление системой и обработка данных осуществлено с помощью мини-ЭВМ по программе, обеспечивающей увеличение отношение сигнал — шум. Получены спектры фотодиссоциации CH_3J^+ с образованием CH_3^+ , при высоком разрешении по энергии фотонов (1,2 мэв) в области 670—440 нм. Спектры получены для пучка «чистых» ионов с эффективным парциальным давлением образца 10^{-11} мм. Сечения фотодиссоциации измерены с точностью до 10^{-23} см², что значительно превышает пред. результаты. Метод может быть применен, как для молекулярных, так и для отдельных фрагментарных ионов, образовавшихся в источнике.

М. Туркина

1978

СН₃J

12 Д415. Молекулярные ридберговские переходы: влияние полей на спектры поглощения в вакуумной УФ-области. Scott J. D., Phelps W. S., McGlynn S. P. Molecular Rydberg transitions: field effects in the vacuum ultraviolet. «Nucl. Instrum. and Meth.», 1978, 152, № 1, 231—234 (англ.)

Изложены основы методов «магнитного циркуляр-

ного дихроизма» и «электрохромизма» (или электрического линейного дихроизма), а также описана аппаратура, позволяющая реализовать эти методы в вакуумной УФ-области спектра при исследовании природы ридберговских состояний молекул. Изложены возможности обоих методов. В иллюстрационных целях приведены результаты исследования указанными методами перехода $5p \rightarrow 6s$ молекулы СН₃J.

В. С. Иванов

Ф. 1978, № 12

1978

CH₃J

спектра
потоков.

1 Д342. Ридберговские переходы в молекулах. Ч. XII. Магнитный круговой дихроизм йодистого метила. Scott John D., Felps W. Sid, Findley Gary L., McGlynn Seán P. Molecular Rydberg transitions. XII. Magnetic circular dichroism of methyl iodide. «J. Chem. Phys.», 1978, 68, № 10, 4678—4687 (англ.)

Получены спектры поглощения и спектры магнитного кругового дихроизма паров CH₃I в области 48000—59000 см⁻¹. Давление паров изменялось в интервале 0,05—20 мм рт. ст. Предложен метод расчета магн. моментов молекулы CH₃J в различных ридберговских электронных состояниях. Показано, что знание величин магн. моментов и знаков магнитного кругового дихроизма достаточно для надежной идентификации полос спектров. 4 полосы в исследованной области спектра соотнесены переходам между основным состоянием молекул CH₃J ¹Σ⁺ и возбужденными состояниями ³Π₂, ³Π₁, ³Π₀[±] и ¹Π₁. Обсуждена симметрия высоковозбужденных состояний молекул CH₃J. См. Ч. XI. Wang H., et al., «J. Chem. Phys.», 1977, 67, 3940.

Ф. 1978 № 2

H₃CY

summarized

6773

1978

Scharfenberg P.
Theor. chim. acta, 1978, 49,
115-22.

facets
fabrics
newer

$\text{CH}_3\gamma$

Vallamattam A.J.

1978

Czech. J. Phys., 1978, B28, n^o 10,
1157- 1163 (asew.)

corr. n.



(corr. CH_3Br $\frac{\text{III}}{\text{I}}$)

CH₃J

11, 11.

XIV-РК889

2 Б268. Эксперименты по насыщенному поглощению на «одетой» молекуле. Применение к спектроскопии полосы v_6 CH₃J. Agimondo E., Glorieux P. Saturated absorption experiments on a dressed molecule: Application to the spectroscopy of the v_6 band of CH₃J. «Phys. Rev.», 1979, A19, № 3, 1067—1083 (англ.)

Методом внутрирезонаторной спектроскопии насыщ. поглощения (линии CO₂ и N₂O лазеров... в области 10 мкм) исследована полоса v_6 молекулы CH₃J. Наблюдались инвертированные лэмбовские провалы, связанные с ИК—РЧ двухфотонными и многофотонными процессами. Частоты многофотонных ИК—РЧ лэмбовских провалов зависят как от частоты РЧ-поля, так и от частоты лазера. Для описания РЧ-индукционных резонансов насыщения использована модель «Одетой» молекулы, образованной собственно молекулой и РЧ-полем. В рамках такого формализма РЧ-поле квантуется и совокупность молекулы (или атома) и РЧ-поля рас-

16/3

Октябрь 84/06

Х-1680.12

сматривается как одна квантовая система, гамильтониан к-рой в неявной форме зависит от времени. Рассмотрены двух-, трех- и четырехуровневые системы. В случае двухуровневой системы РЧ-поле взаимодействует с постоянным дипольным моментом молекулы. В остальных случаях РЧ-поле является квазирезонантным с электронно-разрешенным переходом, включающим один из уровней, накачиваемых лазером. Проанализированы данные по частотам линий насыщенного поглощения и получены след. значения молек. постоянных $^{12}\text{CH}_3\text{J}$ (в мГц): $v_0 + A'(1-\xi)^2 - B' + \frac{3}{4}\eta_k = 26\ 552\ 195,2$, $[A'(1-\xi) - B' + \eta_k] = 231\ 643$; $(A' - B') - (A'' - B'') + \frac{3}{2}\eta_k = 1073,0$, $B' = 7477,640$, $D_I' = 6,34 \times 10^{-3}$, $D'_{Ik} = 9,95 \times 10^{-2}$, $D_k - \frac{1}{4}\eta_k = 1,77$, $D_k'' - \frac{1}{4}\eta_k = 1,68$ (предполагалось, что постоянные H_I , H_{Ik} , H_{kI} в верхнем и нижнем состояниях равны).

В. М. Ковба

CH_3Y

Oimmaea 8234

1979

Abbate S., et al.

Chem. Phys. 1979, 40 N3,
385-95.

all



cell. CH_3Cl -III

CH_3Yt

CH_3Y

annex 88781

1979

Andrews L; et al.

(i) J. Amer. Chem. Soc., 1979
(j) 101 (24), 7958-61

($\text{C}_6\text{H}_5\cdot\text{CH}_3\text{I}; \text{II}$)

CH₃J

1979

7 Д416. Исследование поглощения лазера CO₂ иодистым метилом. A study of the CO₂ laser absorption in methyl iodide. Alexandrescu Rodica, Velciulescu V. G. «Rev. roum. phys.», 1979, 24, № 10, 979—982 (англ.; рез. франц.).

Изучена зависимость поглощения излучения CO₂-лазера от давления газообразного CH₃I на линиях генерации P(12), P(16) и P(18) полосы 10,6 мк. Наблюденное поглощение обусловлено линиями ветви ⁸Q₈(J) полосы ν₆ CH₃I. По зависимости поглощения от давления газа в интервале 5—180 мм рт. ст. определены частота начала полосы, константа колебательно-вращательного взаимодействия α₆^B и коэф. самоуширения. Библ. 12.

М. Т.

φ. 1980. № 4

$\text{CH}_3\text{I}_{(re)}$

immacula 8541

1979

Kluk E, et al.

Panach
cuckoo
 J_i

Acta phys. polon.,
1979, A 56, (1), 121-128

CH₃J

1979

Murray Terrence P.
Baer Tomas.

premar.
encutip

Int. of Glass Spectrum.
and Ion Phys. 1979,
30, N2, 165-74.



att. H2S-17

CH_3J

1979

Mc Glynn S. P. et al

предпрев.
коэффиц.

Spectrosc. Lett. 1979,
12, N9, 631-35

coll. № - III

1948

*CH₃J**CH₃CH₂J**J_i*

—

(+) 18

12 Д404. Параметры резонанса Ферми метилйодида, d_3 -метилйодида и этилийодида. Fermireconanz-Parameter von Methyljodid, Methyljodid- d_3 und Äthyljodid. Nagel B., Binner R., Grunwelt I. «Z. phys. Chem.» (DDR), 1979, 260, № 2, 376—382 (нем.)

Измерены характеристики резонансного дублета Ферми — симметричного валентного колебания и 1 обертона антисимметричного деформационного колебания группы $\text{CH}_3(\text{CD}_3)$ метилйодида, дейтерированного метилйодида, и этилийодида в газе, жидкости и растворах в CCl_4 , тетрахлорэтилене, хлороформе и сероуглероде. Рассчитаны невозмущенные частоты и интенсивности и параметры резонанса. Уточнение параметра резонанса проведено с учетом наложения колебания $v_3 + v_5 + v_6$.

Библ. 12.

O. B. C.

Ф. 1979 № 12

CH₃J

1979

23 Б229. Параметр ферми-резонансного взаимодействия в метилиодиде, метилиодиде-*d*₃ и этилиодиде. Nagel V. B., Bippig R., Fruwelt J. Fermiresonanz-Parameter von Methyljodid, Methyljodid-*d*₃ und Äthyljodid. «Z. phys. Chem.» (DDR), 1979, 260, № 2, 376—382 (нем.)

спектр
ИК. 1262.10.03.

Изучена область симм. вал. кол. ν_1 групп CH₃ и CD₃ в спектрах ИК-поглощения CH₃J, CD₃J и CH₃CH₂J в газ. и жидк. состояниях, а также в р-рах в CCl₄, C₂Cl₄ и CHCl₃. Переход от газа к жидкости и смена р-рителей приводят к изменению условий ферми-резонансного взаимодействия ν_1 с обертоном 2 ν_5 асимм. деф. кол. групп CH₃ и CD₃. Из полученных данных рассчитаны значения невозмущенных частот, их интенсивности и параметр ферми-резонансного взаимодействия W_{ni} . Уточнены значения частот колебаний $\nu_3 + \nu_5 + \nu_6$ и 2 ν_5 , попадающих в область ферми-резонансного дублета.

А. В. Бобров

✓

20.11.79, N23

CH₃Y OM. 850cf 1979
Scharfenberg P.

monoglyc.
copper;
kb. rec.
paper

Chem. Phys. Lett.;
1979; 65 (2) 304-309

(see. also: Cope; II)

1979

CH₃I

5 Д354. Колебательная релаксация колебаний типа симметрии a_1 в метилйодиде. Vibrational relaxation of the A_1 modes in methyl iodide. Trisdale N., Schwartz M. «Chem. Phys. Lett.», 1979, 68, № 2—3, 461—464 (англ.)

Исследованы поляризационные спектры комб. рас. жидкого метилйодида (I) при т-рах 204—287° К. Определены корреляционные ф-ции колебательной релаксации для полос ν_1 вал. кол. связи C—H (2950 см^{-1}), деф. кол. ν_2 группы C—H (1150 см^{-1}) и вал. кол. ν_3 связи C—J (525 см^{-1}). Вычислены значения колебательных моментов M_{2v} для перечисленных колебаний I. Обнаружено, что величины M_{2v} колебаний ν_1 и ν_3 практически не зависят от т-ры, тогда как значение M_{2v} колебания ν_2 существенно уменьшается с ростом т-ры.

Ji

Ф. 1980 № 5

Времена изотропных релаксаций колебательных движений v_1 , v_2 и v_3 увеличиваются при повышении температуры, причем наиболее резкий рост отмечен для колебания v_2 . Предположено, что процесс колебательной релаксации в I определяется обменным резонансным механизмом переноса энергии, тогда как взаимодействия дипольных моментов слабо влияют на эффективность релаксационных процессов. Показано, что дефазировка колебательных движений в I удовлетворительно описывается в рамках модели бинарных молекулярных столкновений Фишера—Лоберо. Библ. 16.



1980

CH₃J

9 Д492. Определение постоянных *l*-удвоения для состояния v_6 молекулы CH₃J методом инфракрасно-радиочастотного двойного резонанса. Determination of the *l*-doubling constants in the v_6 state of CH₃J by an infrared radiofrequency double resonance experiment. Agimondo E., Glorieux P. «J. Mol. Spectrosc.», 1980, 84, № 2, 559—561 (англ.)

Методом двойного ИК-РЧ-резонанса с использованием CO₂- и N₂O-лазеров измерены частоты переходов между компонентами *l*-удвоения и квадрупольной сверхтонкой структуры ряда вращательных уровней 1-го возбужденного состояния колебания v_6 . Определены значения постоянной *l*-удвоения состояния $v_6=1$ ($q_l=-5,914$ МГц) и приращения постоянной квадрупольной связи при возбуждении колебания v_6 ($eqQ\eta_6=4,86$ МГц).

M. R. Алиев

φ. 1981 № 9

1980

CH₃J

18 Б293. Определение постоянных *l*-удвоения в состоянии v_6 CH₃J методом инфракрасно-радиочастотного двойного резонанса. Agimondo E., Glorieux P. Determination of the *l*-doubling constants in the v_6 state of CH₃J by an infrared radiofrequency double resonance experiment. «J. Mol. Spectrosc.», 1980, 84, № 2, 559—561 (англ.)

Методом ИК—РЧ двойного резонанса определены с высокой точностью постоянные *l*-удвоения в состоянии v_6 метилиодида. Накачку CO₂ лазером (10,13 мкм *P* (34) линия генерации) осуществляли только на уровень $v_6=1$, *J*=2, *K*=1, *A*+*F*=5/2 (*RP*(30) $v_6 \leftarrow 0$ линия поглощения) CH₃J. Наблюдены три РЧ-перехода с этого уровня, частоты к-рых измерены с точностью 50 кГц. Из измеренных частот и постоянных сверхтонкой СТС получены след. значения для постоянных *l*-удвоения: $q_6=-5,914 \pm 0,015$, $eqQ\eta_6=4,86 \pm 0,60$ МГц. Проведено сравнение q_6 и $eqQ\eta_6$ для CH₃J и CD₃J, CH₃⁸¹Br, CH₃⁷⁹Br. Отмечено, что для всех молекул постоянные *l*-удвоения имеют одинаковые знаки и один и тот же порядок величины.

В. М. Михайлов

Жн.

Х 1981 N 18

1980

CH₃I

✓ 94: 55055t Determination of the l-doubling constants in the v_6 state of iodomethane by an infrared radiosfrequency double resonance experiment. Arimondo, E.; Glorieux, P. (Herzberg Inst. Astrophys., Natl. Res. Coun. Canada, Ottawa, ON Can. K1A 0R6). *J. Mol. Spectrosc.* 1980, 84(2), 559-61 (Eng). The l-doubling const. in the v_6 state of MeI was detd. as $q_6 = -5.914 \pm 0.015$ and the asyra. term $eqQ_{v_6} = 4.86 \pm 0.60$ by using IR radiosfrequency double resonance inside the cavity of the IR laser. The sign of q_6 was detd. from the anal. of the double resonance signals in the same way as F. Herlemont et al. (1976) did from an IR microwave double resonance in MeBr. The energy diagram is given for the transitions excited by the laser and the radio frequency transitions obsd. in the double resonance expt.

(V₆)

C.A.1981.94,18

CH₃Y. [Lorraine 9960] 1980

Berthier L.

ICB. Mex.

fares.

CEN. NOR

Israel Y. Chem.

1980, 19, 276 - 82

CH₃J

Омск 10968

1980

7 Д502. Исследование спектра полосы $v_6^{12}\text{CH}_3\text{J}$ с помощью диодного лазера. Diode laser spectroscopy of the v_6 band of $^{12}\text{CH}_3\text{J}$. Das Palash P., Malathy Devi V., Nagahagi Rao K. «J. Mol. Spectrosc.», 1980, № 1, 305—312 (англ.)

С помощью перестраиваемого полупроводн. лазера исследованы спектры ИК-поглощения газообразного $^{12}\text{CH}_3\text{J}$ в области колебательновращательной полосы v_6 ($824—862 \text{ см}^{-1}$). Разрешение при регистрации спектров составляло $2 \cdot 10^{-3} \text{ см}^{-1}$. Полученные спектры содержат около 300 линий. Анализ линий шести Q-ветвей, соответствующих переходам с вращательных подуровней $J=3—8$ позволил получить точные значения молекулярных постоянных $^{12}\text{CH}_3\text{J}$. В спектрах наблюдалось также ядерное квадрупольное расщепление, обусловленное спином ядер йода. Библ. 14.

*И. К. Спеклер
Н. Г. Азаров*

9.9.1981.17

СН₃J

Омск 10968 1980

12 Б291. Спектроскопия полосы v_6 $^{12}\text{CH}_3\text{J}$ с использованием полупроводникового лазера. Das P. P., Devi V. M., Nagahabi Rao K. Diode laser spectroscopy of the v_6 band of $^{12}\text{CH}_3\text{J}$. «J. Mol. Spectrosc.», 1980, № 1, 305—312 (англ.)

Используя перестраиваемый полупроводниковый лазерный спектрометр, измерен колебательно-вращательный спектр метилиодида в области полосы v_6 ($824—862 \text{ см}^{-1}$). Проанализирована вращательная структура шести Q-ветвей: $^PQ(I, 3)$ ($I=7—34$), $^PQ(I, 4)$ ($I=6—30$), $^PQ(I, 5)$ ($I=7—42$), $^PQ(I, 6)$ ($I=8—35$), $^PQ(I, 7)$ ($I=8—55$), $^PQ(I, 8)$ ($I=9—44$) (приведены измеренные волновые числа линий вращательной структуры). Наблюдались также отдельные линии $^PP(I, K)$ и $^PR(I, K)$ ветвей. Полученные значения молек. постоянных $^{12}\text{CH}_3\text{J}$ в состоянии $v_6=1$ (в см^{-1}): $v_6+(A\xi^2)_6=882,9108$, $B_6=0,249431$, $A_6=5,207589$, $(A\xi)_6=1,097131$, $D_6^I=2,11970 \times 10^{-7}$, $D_6^K=D_0^K$, $H_6^{IKK}=H_0^{IKK}$, $\eta_6^K=7,227 \times 10^{-6}$. Для некоторых линий, при низких I и различных K наблюдалась ядерная квадрупольная СТС.

В. М. Ковба

д. 1981. N/2

CH₃I

09968

1980

94: 9540z Diode laser spectroscopy of the v_6 band of iodomethane (carbon-12). Das, Palash P.; Devi, V. M.; Malathy; Rao, K. Narahari (Dep. Phys., Ohio State Univ., Columbus, OH 43210 USA). *J. Mol. Spectrosc.* 1980, 84(1), 305-12 (Eng). The vibration-rotation spectrum of the v_6 fundamental of MeI was recorded in the 824 to 862 cm⁻¹ region by using a tunable semiconductor diode laser spectrometer. The rotational anal. performed for 6 Q branches $PQ(J,3)$, $PQ(J,4)$, $PQ(J,5)$, $PQ(J,6)$, $PQ(J,7)$, and $PQ(J,8)$ led to accurate values for several mol. consts. The nuclear quadrupole splitting arising from the spin of I was obsd. very clearly in the low J transitions and for various K val.

(V_b)

04-1981.27, 112

CH_3F

1980

Lakdar T. B. et al

ceil.
noct.

Mol. Phys., 1980, 39, n⁴,
881-899



Ceil CH_3F ; $^{\text{III}}$

1980

*CH₃J**CD₃J**Ридберг.
переходы*

13 Б63. Ридберговы переходы молекул. XVIII. Вибронное удвоение в йодистом метиле. McGlynn S. P., Phelps W. S., Scott J. D., Findley G. L. Molecular Rydberg transitions. XVIII. Vibronic doubling in methyl iodide. «J. Chem. Phys.», 1980, 73, № 10, 4925—4931 (англ.)

Экспериментально исследованы низшие по энергии *s*-ридберговы переходы CH₃J и CD₃J. Показано, что в спектре CD₃J наблюдается удвоение электронно-колебательных полос для переходов в состояния $^3E_{(0)}$, $^1E_{(1)}$. Удвоение приписано динамич. эффекту Яна-Теллера, вызванному квазивырождением этих состояний. Предложена простая модель взаимодействия, хорошо описывающая полученные эксперим. результаты и учитывающая сильное спин-орбитальное взаимодействие, характерное для йодидов.

Б. И. Жилинский

2.1981.113

1980

*CH₃J**CD₃J.*

*Молекул.
Ридберг.
переходы*

6 Д474. Молекулярные ридберговские переходы. XVIII. Вибронное удвоение в иодистом метиле. Molecular Rydberg transitions. XVIII. Vibronic doubling in methyl iodide. McGlynn S. P., Felps W. S., Scott J. D., Findley G. L. «J. Chem. Phys.», 1980, 73, № 10, 4925—4931 (англ.)

В четырех переходах $^3E_{(2)}$, $^3E_{(1)}$, $^3E_{(0^+)}$, $^1E_1 \rightarrow ^1A_1$ в молекулах CH₃J (I) и CD₃J (II) обнаружен динамич. эффект Яна — Теллера, величина которого для разных переходов меняется на 2—3 порядка и достигает максим. значения для *s*-ридберговского перехода в II. Предложена простая модель вибронного взаимодействия, дающая хорошее количеств. согласие с экспериментом. Обсуждены причины значительной величины эффекта при относительно малой величине матричного элемента оператора динамич. возмущения ($\langle H \rangle \sim 15 \text{ см}^{-1}$). Отмечено отсутствие изотопного эффекта для величины $\langle H \rangle$. См. Ч. XVII. Scott J. D. et al. «J. Chem. Phys.», 1978, 68, 4678.

B. A. E.

9.1981.15.6

1980

СИЗУ

СДЗУ

C₂H₅У

Спектр
одногофотонной
ионизации

(42) □

Х. 1980. № 10

10 Б168. Двухфотонная спектроскопия МФИ алкил-иодидов. Parker D. H., Pandolfi R., Stan-paugh P. R., El-Sayed M. A. Two-photon MPI spectroscopy of alkyl iodides. «Chem. Phys.», 1980, 45, № 1, 27—37 (англ.)

С использованием лазера на красителях с перестраиваемой частотой излучения исследованы двухфотонные спектры многофотонной ионизации (МФИ) метилиодида (I), метилиодида — d₃, этилиодида, пропилиодида и бутилиодида в области 49 000—55 000 см⁻¹. Показано, что у всех изученных молекул в этой области наблюдается несколько электронных переходов. С помощью методики поляризаций анализа подтверждено предложенное ранее отнесение этих полос поглощения к переходам с 5p_{1/2} валентной орбитали иода на ридберговскую, 6S орбита́ль этого же атома. Данна интерпретация наблюдаемой колебательной структуре полос поглощения. В исследованном спектре I наибольшую интенсивность имеет переход $\Sigma^+ \rightarrow \Sigma^+$ к-рый в однофотонных спектрах погло-

шения не наблюдается. Переход $\Sigma^+ \rightarrow \Delta$, к-рый согласно лит. данным должен лежать в исследованной области, обнаружить не удалось. Это связано либо с малым сечением двухфотонного поглощения, либо с малой вероятностью его регистрации путем ионизации; либо с комбинацией обоих этих причин. Используя приближение жесткого ротора рассчитан вращательный контур наблюдаемых полос поглощения, получено хорошее согласие с экспериментом при определенных величинах геометрич. параметров I. Из этих данных определено изменение геометрии I при возбуждении; полученные результаты свидетельствуют о том, что эти изменения весьма велики. Для перехода $\Sigma^+ \rightarrow \Sigma^+$ в I происходит существенное увеличение длин валентных связей C—H или угла H—C—H в метильной группе. К. Я. Бурштейн

CH_3J

Ottewick 11705 | 1980

Thyagarajan G., Subhedar
M.R.

vol. no. 1. Indian J. Pure and
Applied Phys., 1980, 18,
392 - 395.

CH_3I . Lommel 10550. 1980.

Weissink W.A; et al.

Canoyuan.
Enerp. issues. $\text{J. Phys. B: Atom. and}$
 mol. Phys. ; 1980, 13,
4007-4020.

CH₃J

CH₃J⁺

Энергетический спектр

Омск 11050

1981

15.6.1981. Квазиатомные ридберговские состояния сложных молекул. CH₃J. Baig M. A., Сопнега de J. P., Dagata J., McGlynn S. P. Quasi-atomic Rydberg states of a complex molecule: CH₃J. «J. Phys. B: Atom. and Mol. Phys.», 1981, 14, № 2, L25—L29 (англ.)

С высоким разрешением (0,003 Å) измерен спектр поглощения молекулы CH₃J в области 1800—1130 Å. Использован 500 МэВ источник синхротронного излучения. В спектре наблюдаются развитые ридберговские ns, np и nd серии полос, сходящихся к состояниям ²E_{3/2}, ²E_{1/2} (пределы серий соотв. 76930,0±1 см⁻¹ и 81979,0±1 см⁻¹) и ²E_{1/2} ($v'=1$) CH₃J⁺. Графически проиллюстрировано сходство в положении членов ридберговских серий (²Σ_{1/2}) ns, (²Σ_{1/2}) nd и (²E_{3/2}) nd CH₃J и Xe.

Б. М. Ковба

20.1981.6.15

CH₃J

Однотомс 11050

1981

8 Д535. Квазиатомные ридберговские состояния сложной молекулы: CH₃J. *Quasi-atomic Rydberg states of a complex molecule: CH₃J.* Baig M. A., Connegage J. P., Dagata J., McGlynn S. P. «J. Phys. B: Atom. and Mol. Phys.», 1981, 14, № 2, L25—L29
(англ.)

*Реф. № 535
Составлено*
(Эи)

В области длин волн 1130—1800 Å с дисперсией 0,63 Å/мм получены спектры поглощения для CH₃J при давлении 10⁻³—10⁻⁴ мм рт. ст. В спектрах идентифицированы ридберговские серии, сходящиеся к ²E_{1/2} и ²E_{3/2}-состояниям иона CH₃J⁺. Показано, что сходимость ридберговских серий в CH₃J к пределам ²E_{1/2} и ²E_{3/2} и сходимость ns, np и nd ридберговских серий в атоме Xe к пределам ²P_{1/2} и ²P_{3/2} описывается одинаковой количеств. закономерностью. Отмечено, что предельные наблюдаемые n в спектрах поглощения для CH₃J (n~30) выше чем для Xe (n=18).

А. Ф. Шестаков

Ф. 1981 N 8

CH₃ of

1981

D₃;

1981, 95: 1781SSs Rotational correlation function in methyl iodide. Bansal, M. L.; Deb, S. K.; Roy, A. P. (Nucl. Phys. Div., Bhabha At. Res. Cent., Bombay, 400085 India). *Chem. Phys. Lett.* 1981, 83(1), 83-6 (Eng). The rotational correlation function for MeI was detd. from a Raman measurement of the $\nu_3(A_1)$ band profile at 296 K. The spectral data satisfy the 2nd-moment criterion. The torque acting on the mol. was obtained.

C.A. 1981, 95, n20

CF_3O^+

Omnilek 13655

1982

метине-
форми.
глекозу-
аргу

Bombach R., Dannacher J.,
et al.,
Chem. Phys., 1982, 66,
N 3, 403-408.

CH₃Y

1981

Brenel Y., et al

D_i

J. chim. phys. et phys.-chim.
biol., 1981, 78, n° 2, 119-125

● (cel H₂) III

CH_3J

1981

Отиск 1383 |

15 Б177. Ридберговские переходы в молекулах.
Многоканальные подходы к электронным состояниям:
 CH_3J . Dagata J. A., Findley G. L., McGlynn S. P.,
Соппегаде J.-P., Baig M. A. Molecular Rydberg
transitions. Multichannel approaches to electronic states:
 CH_3J . «Phys. Rev. A: Gen. Phys.», 1981, 24, № 5, 2485—
2490 (англ.)

Проведен анализ ВУФ-спектра высокого разрешения
молекулы CH_3J в энергетич. области ниже 1-го предела
ионизации на основе теории многоканального квантово-

X. 1982, 19, N15.

го дефекта (МКДТ). В основу того подхода положено расширенное толкование подтвержденного опытом положения, что ридберговские (*R*) состояния CH₃J могут рассматриваться как слегка возмущенные аналоги *R* состояний Xe. Дано обоснование использования МКДТ для анализа взаимодействий чисто электронных молек. каналов, по крайней мере, для молекул с высоко локализованными *R* хромофорами. Новые *d* серии, именно *nd*_{5/2} (*I*₁), обнаружены и отнесены в результате МКДТ анализа. Построенные диаграммы Лу-Фано показали, что отнесение, выполненное ранее в спектрах низкого разрешения согласуется с проведенным отнесением в спектре высокого разрешения.

В. М. Михайлов

CH₃J

Отмск 13613 1981

7 Д430. Молекулярные ридберговские переходы.

Многоканальные приближения для электронных состояний: CH₃J. Molecular Rydberg transitions. Multi-channel approaches to electronic states: CH₃J. Daga-ta J. A., Findley G. L., McGlynn S. P., Sonnerade J.-P., Baig M. A. «Phys. Rev. A: Gen. Phys.», 1981, 24, № 5, 2485—2490 (англ.).

В рамках многоканальной теории квантового дефекта выполнен анализ ВУФ-спектров поглощения высокого разрешения молекул CH₃J в области энергий до первого потенциала ионизации. При анализе использованы аналогии между молекулой CF₃J и атомом Xe, т. е. сделано предположение о том, что взаимодействуют лишь чисто электронные молекулярные каналы. Идентифицированы новые *d*-серии, находящиеся к первому потенциальному ионизации молекулы. Библ. 16.

Б. С. Иванов

оф. 1982, 18, № 7.

CH₃J

от. 11622

1981

10 Д403. Спектроскопия с диодным лазером полосы $v_6^{''}{}^{13}\text{CH}_3\text{J}$ и полосы $v_6^{''}{}^{12}\text{CH}_2\text{DJ}$. Diode laser spectroscopy of the v_6 band of ${}^{13}\text{CH}_3\text{I}$ and the $v_6^{''}$ band of ${}^{12}\text{CH}_3\text{DI}$. Das Palash P., Malathy Devi V., Nagahagi Rao K. «J. Mol. Spectrosc.», 1981, 86, № 1, 202—208 (англ.)

И. К. спектр,

М.Н.

Р.10.1981

С помощью диодного лазера получены спектры ИК-поглощения паров ${}^{13}\text{CH}_3\text{J}$ и ${}^{12}\text{CH}_2\text{DJ}$ при давл. 0,2—0,5 мм рт. ст. в слое 15—20 м в области 820—866 см⁻¹. Приведены частоты линий, измеренные с точностью 0,002 см⁻¹, определяемой точностью калибровочных линий OCS, и их отнесение к колебательно-вращательным переходам ветвей $PQ(J, K)$ с $K=2 \div 8$ и $PP(J, K)$, $PR(I, K)$ с $K=1 \div 8$ полосы $v_6^{''}{}^{13}\text{CH}_3\text{J}$ и более сильной компоненты $v_6^{''}$ расщепившейся полосы ${}^{12}\text{CH}_2\text{DJ}$, линий компоненты v_6' не наблюдалось. Анализ спектра этой молекулы выполнен с учетом ее асимметрии. Приведены колебательные частоты полос, вращательные постоянные и константы центробежной деформации вплоть до Н. Библ. 13.

М. Б. Т.

CH₃J

07.11.629

1981

20 Б218. Диодная лазерная спектроскопия полосы v_6 $^{13}\text{CH}_3\text{J}$ и полосы v_6'' $^{12}\text{CH}_2\text{DJ}$. Das P. P., Devi V. M., Rao K. N. Diode laser spectroscopy of the v_6 band of $^{13}\text{CH}_3\text{J}$ and the v_6'' band $^{12}\text{CH}_2\text{DJ}$. «J. Mol. Spectrosc.», 1981, 86, № 1, 202—208 (англ.)

Ч-н; J_i

ИК-полосы v_6 $^{13}\text{CH}_3\text{J}$ и v_6'' $^{12}\text{CH}_2\text{DJ}$ записаны с разрешением ограниченным допплеровским уширением в области 820—866 см^{-1} на перестраиваемом диодном лазерном спектрометре, описание к-рого дано в работе авторов («Appl. Opt.», 1979, 18, 1350—1354). Волновые числа наблюденных линий измерены с точностью порядка $\pm 0,0005 \text{ см}^{-1}$. В ИК-спектре CH_3J 361 линий отнесены к семи $PQ(J, K)$ ветвям с $K=2—8$ и много линий отнесены к $PP(J, K)$ и $PR(J, K)$ ветвям с K от 1 до 9. В результате анализа определены спектроскопич. постоянные для состояния v_6 CH_3J . Полученные значения для квартичных центробежных постоянных D^J и D^{JK} хорошо согласуются с вычисленными для модели гармонич. силового поля йодистого метила. В молекуле $^{12}\text{CH}_2\text{DJ}$ эффект изотопозамещения Н/Д приводит к тому, что вырожденное v_6 колебание в CH_3J расщепляется на v_6' и v_6'' колебания, первое типа А/В.

X.20.1981

(плоское) и второе типа С (неплоское). Изучены $PQ(J, K)$ подветви полосы v_6'' CH_2DJ с K от 1 до 6. Наблюдено, что для $J > 30$ линии $PJ(J, 4)$ подветви расщепляются на две компоненты с неравными интенсивностями. Обработка наблюденных частот переходов проведена с помощью приведенного вращательного гамильтониана в форме Уотсона. Из анализа шести $PQ(J, K)$ подветвей определены спектроскопич. постоянные в гамильтониане Уотсона для состояния v_6'' . Установлено, что найденные квартичные центробежные постоянные для состояния v_6'' отличаются от квартичных центробежных постоянных для основного колебательного состояния CH_2DJ .

В. М. Михайлов

Д
я 01

CH_3J

Lemire et al 1981 | 1981.

Dubreuil et al

U. S. Crys.,

Li, N.

J. Mol. Spectrosc.,

1981, 88, 394-401.

СН₃J

1981

12 Д492. Исследование спектра поглощения молекулы CH₃J с помощью перестраиваемого стабилизированного CO₂-лазера. Гайко О. Л., Лешенюк Н. С., Невдах В. В., Некрашевич Я. И., Орлов Л. Н. «Ж. прикл. спектроскопии», 1981, 35, № 1, 33—37 (рез. англ.)

Описана методика и приведены результаты экспериментального исследования спектра поглощения молекулы CH₃J с помощью перестраиваемого стабилизированного CO₂-лазера. Измерены коэф. поглощения для различных колебательно-вращательных переходов моды ν₆ при давл. 65 Па, а также величины отстройки максимумов поглощения от частоты генерации отдельных колебательно-вращательных переходов CO₂-лазера. Описанная в работе методика позволяет исследовать спектры поглощения различных полусложных молекул с целью поиска новых активных сред для молекулярных лазеров с оптич. накачкой.

Автореферат

Ф. 1981, 18, N12.

CH₃I

1981

(16)

195: 105757s Study of the absorption spectrum of the iodomethane molecule using a tunable stabilized carbon dioxide laser. Gaiko, O. L.; Leshenyuk, N. S.; Nevdakh, V. V.; Nekrashevich, Ya. I.; Orlov, L. N. (USSR). *Zh. Prikl. Spektrosk.* 1981, 35(1), 33-7. (Russ.). A technique is described and results are presented of exptl. investigation of the MeI mol. absorption spectrum using the tunable stabilized CO₂-laser. Absorption coeffs. were measured for various vibrational-rotational transitions of the mode ν₆ under the pressure of 65 Pa, and also the values of absorption max. tuning using generation frequency of sep. vibrational-rotational transitions of the CO₂ laser. The technique described makes possible the investigation of absorption spectra of various semi-complex mols. aiming at discovery of new active media for mol. lasers with optical pumping.

C.A. 1981, 95, n 12

СН₃J+

1981

4 Б1684. Исследование индуцированной лазером фотодиссоциации CH₃J⁺ и CD₃J⁺ при высоком разрешении. Goss S. P., Morrison J. D., Smith D. L. A laser-induced photodissociation study of CH₃J⁺ and CD₃J⁺ at high resolution. «J. Chem. Phys.», 1981, 75, № 2, 757—762 (англ.)

Спектры записаны с разрешением 0,3—0,1 см⁻¹ (37—12 мкэВ) благодаря наличию эталона Фабри—Перо внутри резонатора. Использовали импульсный перестраиваемый лазер на красителях со световой накачкой и тройной квадрупольный масс-спектрометр, состоящий из двойного анализатора масс и фокусирующего квадруполя на переменном токе. Для калибровки использовали спектр поглощения йода, записываемый одновременно со спектром фотодиссоциации. Давл. в источнике 2·10⁻² Па, ионизационный ток 1 мА, энергия электронов 13 эВ. Для перехода CH₃J⁺ $\tilde{A} \leftarrow \tilde{X} E_{3/2}$

4
11

Х. 1982, 19, N4.

записаны полосы $(0,1,7) \leftarrow (0,0,0)$ при $16\ 940\text{ см}^{-1}$ и
 $(0,0,11) \leftarrow (0,0,0)$ при $16\ 830\text{ см}^{-1}$. Для CD_3J^+ приведен
 $(0,0,12) \leftarrow (0,0,0)$ колебательный переход. Обсуждаются
методы численной обработки результатов измерения для
увеличения разрешения.

Л. И. Лившин



CH_3J^+ , CD_3J^+

1981

2 Д752. Исследования индуцированной лазером фотодиссоциации ионов CH_3J^+ и CD_3J^+ с высоким разрешением. A laser-induced photodissociation study of CH_3J^+ and CD_3J^+ at high resolution. Goss S. P., Mogrison J. D., Smith D. L. «J. Chem. Phys.», 1981, 75, № 2, 757—762 (англ.)

Спектры фотодиссоциации ионов CH_3J^+ и CD_3J^+ получены с разрешением $\sim 0,03 \text{ cm}^{-1}$ с использованием тройного квадрупольного масс-спектрометра и перестраиваемого лазера на красителе. Для калибровки шкалы длии волн использован спектр поглощения паров J_2 . В спектрах ионов частично разрешена вращательная структура. Приведены спектрограммы и результаты предварительного анализа. Библ. 26.

В. С. Иванов

ф. 1982, 18, № 2

CH_3J^+
 CD_3J^+

спектрн

(+4)

(Омск 12275) 1981

) 2 Д747. Фотодиссоциация некоторых катионов алкилиодидов. The photodissociation of some alkyl iodide cations. Goss S. P., McGilvery D. C., Moggison J. D., Smith D. L. «J. Chem. Phys.», 1981, 75, № 4, 1820—1828 (англ.)

С использованием перестраиваемого лазера на кристалле и квадрупольного масс-спектрометра исследована фотодиссоциация (ФД) молекулярных ионов CH_3J^+ , CD_3J^+ , $\text{C}_2\text{H}_5\text{J}^+$, $n\text{-C}_3\text{H}_7\text{J}^+$ и ион-радикала CH_2J^+ . Спектры выхода ФД CH_3J^+ и CD_3J^+ имеют линейчатую структуру, обусловленную предиссоциацией. Это позволило определить колебательные частоты состояния этих ионов. Спектры выхода ФД $\text{C}_2\text{H}_5\text{J}^+$, $n\text{-C}_3\text{H}_7\text{J}^+$ и CH_2J^+ состоят из широких бесструктурных полос. Высказаны соображения о природе этих бесструктурных полос. Библ. 31.

В. А. Ес

φ. 1982, 18, № 2

CH_3J

1981

Jacques A, Glorieeesc P.

Laser Spectrosc. 5. Proc.

Crekamp, 5 Int. Conf., Jasper, 29 June -
W.N. 3 July, 1981. Berlin e.a.,
1981, 140-145.

(cu. D_2CO ; III)

1981

СДЗУ

118 Б251. Инфракрасный спектр и колебательно-вращательный анализ полосы ν_1 метилиодида- d_3 . Matsuiwa H., Mignata H. Infrared spectrum and vibration-rotation analysis of the ν_1 band of methyl- d_3 iodide. «Chem. Lett.», 1981, № 11, 1609—1612 (англ.)

Измерен спектр поглощения полосы ν_1 -CD₃J в области 2120—2190 см⁻¹ на фурье-спектрометре с разрешением 0,08 см⁻¹. Наблюдено ~350 линий колебательно-вращательных переходов, большинство из к-рых оказалось состоящими из двух или более линий. Из анализа спектра, выполненного с учетом скалярных колебательно-вращательных взаимодействий, получены след. спектроскопич. постоянные CD₃J для основного и возбужденного ν_1 колебательных состояний.

В. М. Михайлов

Х. 1982, 19, № 8.

CH_3I

1981

Pietro W. J., et al.

cuiusvis,
vespertini.
pacis.

Inorg. Chem. 1981, 20,
(11), 3650 - 3654.

(see Coeur. RB; II)

1981

CH₃J

7 Б1488. Фотофрагментация CH₃J. Колебательное распределение осколков CH₃. Sparks R. K., Shobatake K., Carlson L. R., Lee Y. T. Photofragmentation of CH₃J: Vibrational distribution of the CH₃ fragment. «J. Chem. Phys.», 1981, 75, № 8, 3838—3846 (англ.)

Методом фотофрагментной спектроскопии высокого разрешения изучена фотодиссоциация CH₃J в газодинамич. молек. пучке в газе-носителе He излучением 266 нм твердотельного лазера. Рассеянные под углом 127° продукты ионизовали электронным ударом и детектировали квадрупольным масс-спектрометром. В канале фотодиссоциации на J*(²P_{1/2}) + CH₃ определена заселенность уровней зонтичных колебаний CH₃. Ширина распределения вращательной энергии в этом канале не превышает 600 см⁻¹ для каждого колебательного состояния. Для энергии диссоциации связи C—J получено значение 53,3 ± 0,7 ккал/моль. Обсуждаются причины расхождения с модельным расчетом, в к-ром CH₃J аппроксимируется линейной коллинеарной системой.

Н. И. Бутковская

Do;

X 1982, 19, N 7

1981

CH₃J

11 Б264. CH₃J: Изотопный сдвиг для ¹²⁹I в полосе ν₆. Wahlen Martin, Tucker George. CH₃J: isotope shift for ¹²⁹J in the ν₆ band. «Opt. Commun.», 1981, 36, № 1, 39—42 (англ.)

С помощью перестраиваемого лазера на красителе с высоким разрешением измерены изотопные сдвиги вращательных линий в полосе ν₆ CH₃J по радиоактивному изотопу ¹²⁹J (время полураспада 1,6·10⁷ лет). По результатам широкого сканирования в области ветвей ^RQ(I, 3) (909,2 см⁻¹) и ^RQ(I, 4) (917,1 см⁻¹) вы-

ч., № .

1981.11

брано 30 неперекрывающихся линий для измерения изотопных сдвигов для $\text{CH}_3^{129}\text{J}$. Средний изотопный сдвиг составляет $-0,0135 \pm 0,0006 \text{ см}^{-1}$. Найдена линейная корреляция между измеренными разностями частот $\Delta\nu_{I, K} = \nu[^n\text{Q}(I+1, K)] - \nu[^n\text{Q}(I, K)]$ для соответствующих пар линий двух изотопных модификаций. Отношение $^{129}\text{J}/^{127}\text{J}$ в исследуемой газовой смеси определено по линии $^n\text{Q}(16,3)$ и найдено равным $0,032 \pm 0,003$, что хорошо согласуется с масс-спектрометрическими данными. Определены силы линий $^n\text{Q}(16,3)$, равные $2,0 \pm 0,2 \cdot 10^{-21} \text{ см}^{-1} \text{ мол}^{-1} \text{ см}^2$ как для $\text{CH}_3^{127}\text{J}$, так и для $\text{CH}_3^{129}\text{J}$. Коэффициент самоуширения, измеренный в интервале давлений 4—50 мм, составляет $32 \pm 2 \text{ МГц/мм}$ для линии $^n\text{R}(6,0)$. Из измерений полуширины этой же линии в смеси $\text{CH}_3^{127}\text{J}$ с воздухом определен коэффициент уширения давлением воздуха, равный $10,4 \pm 1,3 \text{ МГц/мм}^{-1}$. Несмотря на уширение линий, их профиль близок к гауссовскому.

С. Б. Осин

1981

CH₃J

6 Д446. CH₃J: изотопный сдвиг для ¹²⁹J полосы ν₆ с помощью перестраиваемого диодного лазера. CH₃J:

isotope shift for ¹²⁹I in the ν₆ band. Wahlen Martin, Tucker George. «Opt. Commun.», 1981, 36, № 1, 39—42 (англ.)

Получены спектры ИК-поглощения паров CH₃J с изотопами ¹²⁷J и ¹²⁹J в слое 3,32 м при давлении ~1 м рт. ст. области полосы ν₆. По частотам 30 колебательно-вращательных линий ветвей ^RQ(J, 3) и ^RQ(J, 4) определен изотопный сдвиг, равный 0,0135 см⁻¹. Найденное по спектрам содержание радиоактивного йода в природном образце согласуется с результатами масс-спектрометрического анализа. Определены интенсивности линий ^RQ(16,3) для обеих изотопич. молекул, эти величины совпадают в пределах точности измерений. Измерены коэф. самоуширения и уширения воздухом изолированной линии ^RR(6,0). Библ. 10.

М. В. Т.

Ч. К. Скеллер
помощь.

Ф. 1981 N 6

CH_3I
 CO_3I

Omnuck 13320

1981

meopen ·
pacrem
au. nocm ·

96: 112441h On the vibrational structure of methyl iodide.
I. Cubic and quartic normal mode coupling constants.
Zygan-Maus, R.; Fischer, Sighart F. (Phys. Dep., Tech. Univ.
Muenschen, 8046 Garching, Fed. Rep. Ger.). *Chem. Phys.* 1981,
63(3), 475-S3 (Eng). A semiempirical model was derived to calc.
the anharmonic force field to 4th order in the normal mode
coordinates. The model starts from a generalized harmonic force
field and incorporates anharmonicities in the form of a Morse
type potential for valence bonds, van der Waals interaction of H
atoms and the nonlinear character of the transformation between
valence and normal modes. Applications to MeI show good
agreement with exptl. data.

C.A. 1982, 96, N 14.

CH₃J

Омск 13320 1981

6Д57. О колебательном спектре метилйодида.
I. Кубические и квартичные константы взаимодействия
нормальных колебаний. On the vibrational structure of
methyl iodide. I. Cubic and quartic normal mode coup-
ling constants. Zygan-Maus R., Fischer S-i-
gmar F. «Chem. Phys.», 1981, 63, № 3, 475—483
(англ.)

ll-1, Di

Рассмотрено применение полуэмпирич. подхода к
определению кубических и квартичных аингармонических
силовых констант многоатомных молекул. Приведены
общие выражения аингармонических силовых констант
в норм. координатах через гармонич. и аингармонич. си-
ловые константы в ислинейных внутренних колебатель-
ных координатах, а также выражения аингармонич.
x-констант в колебательной энергии через частоты ко-
лебаний и аингармонич. константы в норм. координатах
для молекул с симметрией C_{3v} . Эти соотношения при-
менены к молекулам CH₃J и CD₃J. Для вычисления
аингармонич. констант в внутренних координатах исполь-

9.1982, 18, №.

(7)

зована упрощенная модель, в которой потенц. энергия молекулы представляется в виде суммы ф-ций Морза для валентных связей и ф-ций Букингама для взаимодействия несвязанных атомов. Вычисленные таким путем значения χ -постоянных существенно отличаются от их эксперим. значений. Тем не менее используемая упрощенная модель позволяет выявлять наличие Ферми-резонанса между возбужденными колебательными состояниями.

М. Р. Алиев.

CH₃I

1981

J 96: 112442j On the vibrational structure of methyl iodide:
II. Relaxation pathways in the 3000 cm⁻¹ energy regime.
Zygan-Maus, R.; Fischer, Sighart F. (Phys. Dep., Tech. Univ.
Muenchen, 8046 Garching, Fed. Rep. Ger.), *Chem. Phys.*, 1981,
63(3), 485-90 (Eng). Model calens. for state collision induced
vibrational relaxation rates were performed. The model includes
intramol. couplings to 4th order. Fermi resonance interactions
between the ν_1 CH-stretching mode and overtones or higher
order combination tones are essential to understand the rapid
energy relaxation into these states.

ν_1

C. A. 1982, 96, N 14.

CH₃J

1982

4 Д591. Определение константы резонансного диполь-дипольного взаимодействия по полосе $2\nu_2$ жидкого йодистого метила. Estimation of the liquid-state transition dipole interaction constant from the $2\nu_2$ mode of methyl iodide. Baglin F. G., Wilkes L. M. «J. Phys. Chem.», 1982, 86, № 19, 3793—3796 (англ.)

Получены спектры комб. рас. жидкого CH₃J и его раствора в CD₃J в области полос $\nu_2 = 1249 \text{ см}^{-1}$ и $2\nu_2 = 2470 \text{ см}^{-1}$. При записи полосы $2\nu_2$ производилось накопление сигнала при многократном (до 600 раз) сканировании полосы. Для исключения аппаратурных искажений выполнена деконволюция спектра, и из полученных осциллирующих кривых с помощью ЭВМ найдены контуры полос, оптимально описывающие центральную часть полосы или ее крылья. Эффект изотопич. разбавления, проявляющийся в полученных т. обр. параметрах полос, интерпретирован авторами как результат изменения возмущения колебания $2\nu_2$ резонансными диполь-дипольными взаимодействиями в чистой жидкости. Библ. 28.

М. В. Т.

Di, спектр

Ф. 1983, 18, № 4.

CH_3I

1982

97: 633SGd Rotational and angular momentum correlation functions in methyl iodide. Bansal, M. L.; Deb, S. K.; Roy, A. P. (Nucl. Phys. Div., Bhabha At. Res. Cent., Bombay, 400 085 India). *Proc. Nucl. Phys. Solid State Phys. Symp.* 1981 (Pub. 1982). 24 C, 125-6 (Eng). Raman measurement of the $v_3(A_1)$ vibration-rotation band profile in MeI is presented. The data suggest that there is an interval of time for which the angular momentum correlation function is neg. This feature cannot be explained by extended diffusion models.

(D₃)

C. A. 1982, 97, N8.

СЧЗ 9

1982

2 Д520. Исследование температурной зависимости переориентации молекул CH_3J по спектрам комбинационного рассеяния. Study of temperature dependence of reorientational motion in CH_3J by Raman scattering. Bansal M. L., Deb S. K., Roy A. P. «Raman Spectrosc.: Linear and Nonlinear. Proc. 8 Int. Conf., Bordeaux, 6—11 Sept., 1982». Chichester e. a., 1982, 351—352 (англ.)

Исследована форма вращательного контура полосы v_3 в спектре комб. рас. жидкого CH_3J в интервале т-р 296—217 К. Рассчитаны 2-й момент полосы, среднеквадратичный тормозящий момент, вращательная корреляционная ф-ция, время вращательной релаксации и корреляционная ф-ция углового момента молекулы $A_J(t)$. На некотором интервале времени ф-ция $A_J(t)$ отрицательна, что не реализуется в диффузационной модели. Возможность изменения направления углового момента подтверждается расчетами по методу статистич. моделирования жидкости.

М. В. Т.

спектр

90. 1983, 18,
N 2

CH₃J
CD₃J

1982

Ж 6 Б1179. Многофотонная ионизация йодистого метила и селективная ступенчатая ионизация метильного радикала. Дапон J., Zacharias H., Rottke H., Welge K. H. Multiphoton ionization of methyl iodide and selective stepwise ionizaiton of methyl radicals. «J. Chem. Phys.», 1982, 76, № 5, 2399—2406 (англ.)

Исследовали бесстолкновительную многофотонную ионизацию (МФИ) изотопов CH₃J и CD₃J. Использовали только 4-ю гармонику 266 нм излучения лазера на иттрийалюминиевом гранате, активированном неодимом, длительность импульса 6—7 нс, энергии до 10 мДж, или эту же гармонику совместно со 2-й гармоникой излучения импульсного лазера на красителе со сдвигом с помощью ВКР в сжатом H₂ в область 215 нм, где CH₃ и CD₃ резонансно поглощают свет в полосе перехода (O, O)(B²A₁' → X²A₂''). Энергия импульсов до 30 мкДж, длительность 5 нс. Лазеры синхронизованы. Сняты масс-спектры ионов в зависимости от мощности, давл. и частоты. Обсуждается механизм МФИ. Л. И. Лившин

1
f1

Х. 1982, 19, N 16.

CH₃, CD₃ (суперчаг.
ионизацией)

CH_3Y Jommuck 16011 1982

elazephtan
enekmp

Eng R. S., Ku R. T.,
Spectrosc. Lett., 1982,
15, N10-11, 803-929.

1982

CH₃J
CD₃J

спектр, VI

12 Д738. Спектр многофотонной ионизации метил-иодида с промежуточным резонансом в области полосы A. The methyl iodide multiphoton ionization spectrum with intermediate resonance in the A-band region. Gedanken A., Robin M. B., Yafet Y. «J. Chem. Phys.», 1982, 76, № 10, 4798—4808 (англ.)

С использованием различных перестраиваемых лазеров на красителях получены спектры многофотонной ионизации газообразных молекул CH₃J и CD₃J. Промежуточные уровни локализованы в областях переходов 5рл → σ* (полоса A, 30 000—45 000 см⁻¹), 5рл → 6σ (~50 000 см⁻¹), 5рл → 6р (57 000—65 000 см⁻¹). Большинство компонент спектров многофотонной ионизации идентифицированы. Установлена роль фрагментов молекулы (CH₃, J) в процессах возбуждения молекулы при различном числе поглощенных квантов. Авторы отмечают, что им удалось получить новую спектроскопическую информацию о важной для фотохимии молекуле и установить природу системы переходов n → σ* A. Библ. 24.

Ф. 1982, 18, N 12

CH₃I

CD₃I

1982

22 Б165. Спектр многофотонной ионизации иодистого метила с промежуточным резонансом в области A-полосы. Gedanken A., Robin M. B., Yafet Y. The methyl iodide multiphoton ionization spectrum with intermediate resonance in the A-band region. «J. Chem. Phys.», 1982, 76, № 10, 4798—4808 (англ.)

С помощью время-пролетного масс-спектрометра измерены спектры многофотонной ионизации МФИ газ. (0,1 Торр) CH₃I (I) и CD₃I (II) через промежут. резонанс в области «A-полосы» перехода 5р \rightarrow 6s (28 000—32 000 см $^{-1}$) с последующим переходом в 6р—ридберговские состояния и ионизацией электрич. полем 200 В/см. Использовался перестраиваемый в области 14 100—17 400 см $^{-1}$ лазер на красителе. При удвоении частоты излучения лазера (28 000—32 000 см $^{-1}$) резонансное поглощение молекул I, II заменялось узкими резонансами, связанными с $^2P_{1/2}$ и $^2P_{3/2}$ уровнями атома иода и резонансами метильного радикала аналогично.

спектр

X.1982, 19, N22.

известному однофотонному промежут. резонансу в об-
ласти «A-полосы» I. Начиная с частоты накачки
16 000 см⁻¹, переход бр \rightarrow бр в I, II наблюдался как
результат четырехфотонного (2+2) поглощения. Сде-
ланы отнесения максимумов вибровной структуры при
двухфотонном поглощении в области «A-полосы». Раз-
личия в интенсивности спектров МФИ при однофото-
ном и двухфотонном резонансе в области «A-полосы»
объясняются возбуждением непосредственно в диссо-
циац. уровне состояний A_1 или E в первом и в связан-
ное A_2 -состояние во втором случае. А. Н. Курский

сти.

41+

CH_3J 1982

CD_3J Gompf J., Versmold H.,
et al.

Pi; Ber. Bunsenges. Phys. Chem.,
1982, 86, N 12, 1114-1123.

(cav. CH_3Cl ; III)

CH₃J

1982

12 Д706. Динамика фотодиссоциации молекул CH₃J на длинах волн 248 и 266 нм: колебательные распределения в «зонтичном» колебании v₂ групп CH₃. Photofragmentation dynamics of CH₃I at 248 and 266 nm: Vibrational distributions in the CH₃ (v₂) «umbrella» mode. Hermann Heinz W., Leone Stephen R. «J. Chem. Phys.», 1982, 76, № 10, 4766—4774 (англ.)

Челкун

Получены спектры ИК-излучения (600—1200 см⁻¹) продуктов фотодиссоциации молекул CH₃J (I) под действием световых импульсов 4-й гармоники неодимового лазера и эксимерного KrF-лазера ($\lambda=266$ и 248 нм соответственно, $P=20$ —40 мДж, $\Delta t=20$ пс). Проведен анализ распределения населенности колебательных подуровней неплоского деф. колебания v₂ групп CH₃ I. Отмечено, что избыток энергии в метильных группах после фотодиссоциации I распределяется

90. 1982, 18, n 12

по 10 подуровням колебания v_2 , причем макс. населенность зарегистрирована для подуровня $n=2$. Обсуждены теоретич. модели распределения энергии по колебательным подуровням метильного радикала. Показано, что возбуждение других колебаний I при фотодиссоциации не происходит, а заселенности вращательных состояний I и метильного радикала идентичны. Библ. 15

И. В. А.

YCH_3

1982

Izotani Sadao, Alice
Alain J.P., et al.

Ni An. Acad. Brasil. cienc.,
1982, 54, n1, 41-57.

(ce. FCCH_3 ; II)

СН₃J

1982

9 Д291. Точное временное распространение волнового пакета. Применение к фотодиссоциации метилйодида. Exact time-dependent wave packet propagation. Application to the photodissociation of methyl iodide. Lee Soo-Y., Heller Eric J. «J. Chem. Phys.», 1982, 76, № 6, 3035—3044 (англ.)

расчет временного распространения
метилйодида

Процедура вычисления распространения полуклассич. волн пакета гауссовой формы обобщена на квантовый случай путем использования зависящего от времени ортогонального базиса для разложения временной ф-ции. Подход применен для расчета полных и парциальных сечений фотодиссоциации молекулы СН₃J в псевдотриатомном приближении (Н₃—С—J). Полученные результаты по парциальным сечениям расходятся с данными вычислений в стационарном подходе, проведенных с теми же самыми поверхностями потенц. энергии. Библ. 25.

А. Ф. Шестаков

окт. 1982, 18, № 9

CH_3J 1982

Miller J. C., Compton R.N.

et al.

Laser Techn. Extreme Ultra-violet Spectrosc. Meet., Boulder, Colo, March 8-10, 1982.

New York, 1982, 368-377.

(ac. benzene. C_6H_6 ; III)

crekmp

$\text{CH}_3\gamma$

1982

c.m.

20cm.

Nicolaesen Flemming N.,
Hansen J. Stokkebro.

Mol. Phys. 1982, 47(6),
1265-75.

(c.m. CH_4 ; III)

CH₃g

Ummuck 14108

1982

Niessek W., Asbrink Y,
Bieri G.,
смоготелкинг.

стекиц. J. Electron. Spectrosc.

and Relat Phenom,

1982, ● 26, N 2, 173-201



C.A. 1978, 89, N26,

CH₃I

1982

UK CHECKUP

97: 30584p Far infrared and microwave spectral studies on the molecular dynamics and interactions of methyl iodide in carbon disulfide solution. O'Neill, G. P.; Khuen, A.; Yarwood, J.; Birch, J. R.; Price, A. H. (Dep. Chem., Univ. Durham, Durham, UK DH1 3LE). *J. Mol. Struct.* 1982, 80, 383-8 (Eng). The far-IR and microwave spectra of MeI in dil. soln. in CS₂ was used to measure the relaxation times and correlation function for dipole reorientation in this particular medium. Rotation is faster than in the liq. phase due to removal of intermol. correlations. The short time part of the correlation function is distinctly nonexponential, and this part of the power spectrum is fitted to a model which enables the intermol. mean square torque to be detd. The spectral 2nd moment agrees well with that calcd. using the classical rotational energy indicating that induced dipole absorption is not of major importance in this soln.

C.A. 1982, 97, N.Y.

CH₃J

Отмисе 14393

1982

12 Д635. Спектр поглощения CH₃J в ВУФ области.
The absorption spectrum of CH₃J in the extreme VUV.
O'Sullivan G. «J. Phys. B: Atom. and Mol. Phys.»,
1982, 15, № 9, L327—L330 (англ.)

Сфотографирован спектр поглощения CH₃J в области 80—270 Å. В спектре доминируют переходы с возбуждением подоболочки 4d йода. Идентифицированы дискретные переходы $^1A_1 \rightarrow ^1A_1$, 1E и континуум $4d \rightarrow \text{ef}$. В результате анализа спектра определено значение спин-орбитального расщепления $4d_{3/2} - 4d_{5/2}$ в атоме йода: $(1,72 \pm 0,05)$ эВ.

Б. С. Иванов

Op. 1982, 18, N 12

CH₃I

Omnuck 14393 | 1982

97: 63425r The absorption spectrum of methyl iodide in the extreme VUV. O'Sullivan, G. (Phys. Dep., Univ. Coll., Dublin, Ire. 4). *J. Phys. B* 1982, 15(9), L327-L330, 1 plate (Eng). The absorption spectrum of Me iodide was photographed in the wavelength region 80-270 Å. Photoexcitation of the I 4d subshell dominated the spectrum, giving rise to discrete ${}^1A_1 \rightarrow {}^1A_1$, 1E transitions and a giant $4d \rightarrow \epsilon f$ continuum resonance. An anal. of the transitions is given and a value of 1.72 eV deduced for the $4d_{3/2}-4d_{5/2}$ spin-orbit splitting in the I atom.

*CNEKMS
nonicols. -*

C. A. 1982, 97, N8.

CH₃J

Отмск 14393) 1982

24 Б201. Спектр поглощения CH₃J в крайней ВУФ-области. O'Sullivan G. ~~The absorption spectrum of CH₃J in the extreme VUV.~~ «J. Phys. B: Atom. and Mol. Phys.», 1982, 15, № 9, L327—L330 (англ.)

Сфотографирован спектр поглощения йодистого метила в области 80—270 Å. Наблюдали две дискретные серии с участием спин-расщепленных 4d основных уровней йода ($4d \rightarrow a_1^*$, бре, бра₁, 4p, 200—250 Å) и резонансный континуум 4d—8f (100—170 Å). Пределы серий — 56,66 и 58,3 эВ, величина спин-орбитального расщепления $4d_{3/2} - 4d_{5/2} = 1,72 \pm 0,05$ эВ. Энергии уровней 4d_{5/2}, 4d_{3/2}, 5p, 6s, 6p, 5d, 7p; эффективные квантовые числа серий 4d→pr ($n=5-7$) для CH₃J сопоставляются с аналогичного рода данными для атомарного ксенона и молекул J₂.

В. М. Ковба

спектр,
м.п., 81)

X. 1982, 19, N24

CH_3O^+

Омниек 14480

1982

роморре-
гессона-
ные,
Di, напа-
шетри
спирофт.
расщеплен.

Tadjeddine M., Bou-
choux F., et al.,

Chem. Phys., 1982, 69,
N1-2, 229-246.

СНЗУ

Оп. 16649 1983

8 Д582. Изучение колебания ν_2 молекул метилиодида методом спектроскопии комбинационного рассеяния света. Spectroscopic studies of the ν_2 mode of methyl iodide by Raman spectroscopy. Baglin F. G., Versmold H. «Chem. Phys. Lett.», 1983, 96, № 6, 656—657 (англ.)

Получены поляризационные спектры комб. рас. (1190—1280 см⁻¹) молекул метилиодида (I) в газовой фазе при возбуждении лазерной линией 514,5 нм мощностью 0,8 Вт. Обнаружено существенное уменьшение полуширины поляризованной линии комб. рас. 1240 см⁻¹ колебания ν_2 этих молекул при уменьшении давления газа I. В дипольном приближении проведен теоретич. анализ процесса дефазировки колебания ν_2 I для кубич. плотнейшей упаковки молекул I в конденсированной фазе и взаимодействии молекул I на расстоянии r по закону $1/r^6$. Предположено, что наблюдаемая полуширина линии комб. рас. ν_2 I на $\approx 75\%$ определяется процессами дефазировки при взаимодействии наведенных диполей и на $\approx 25\%$ — процессами бинарных столкновений и обменными механизмами.

И. В. А.

спектр, VI

9.1.1983, 18,
N 8

Оп. 16649 1983

CH₃J

17 Б290. Изучение колебания ν_2 метилйодида методом спектроскопии комбинационного рассеяния. Spectroscopic studies of the ν_2 mode of methyl iodide by Raman spectroscopy. Baglin E. G., Versmold H. «Chem. Phys. Lett.», 1983, 96, № 6, 656—657 (англ.)

При 30° и давл. 1 и 1600 бар с разрешением 0,5 см⁻¹ измерены поляризац. спектры КР CH₃J (I) в области полосы деф. кол. $\nu_2(\text{CH}_3)$. При 1 и 1600 бар значение частоты в максимуме полосы ν_2 составляло 1240,9 см⁻¹, степень деполяризации 0,06, полуширина 5,4 и 7,1 см⁻¹, соотв. В приближении кубич. плотной упаковки и потенциала взаимодействия $1/r^6$ с использованием данных о плотности I при 1 и 1600 бар рассчитано изменение величине диполь-дипольного взаимодействия между молекулами I в жидкости, составившее 18%, что согласуется с барич. изменением полуширины полосы ν_2 . Сделан вывод, что дефазировка колебаний за счет диполь-дипольного взаимодействия примерно на 3/4 определяет ширину полосы ν_2 в I, что согласуется с пред. данными авторов, полученными с использованием изотопного разбавления.

А. Н. Курский

1983, 19,
N 17

CH_3J^+

Оп. 16295 1983

7 Д563. Фотодиссоциационные спектры ионов CH_3J^+ , полученные методом многофотонной ионизации. Photo-dissociation spectrum of CH_3J^+ prepared by multiphoton ionization. Chupka William A., Colson Steven D., Seaver Mark S., Woodward Anne M. «Chem. Phys. Lett.», 1983, 95, № 3, 171—176 (англ.)

Описан метод, в котором многофотонная лазерная ионизация молекулярного пучка или сверхзвуковой газовой струи использована для получения ионов с контролируемым электронным и колебательным состоянием с заданным или холодным распределением по вращательным уровням. Сканирование длины волны излучения второго лазера позволяло снимать фотодиссоциационные спектры полученных ионов, определяемые по интенсивности ионного сигнала осколков фотодиссоциации с конкретным массовым числом. Исследования проведены для пучков молекул CH_3J и их смесей с Не. Полученные спектры указывают на существование по-

го. 1983, 18, № 7

рога для фотодиссоциации, равного $12,244 \pm 0,009$ эВ, и обладают существенной простотой в сравнении с фотодиссоциационными спектрами, полученными другими методами, что позволило обнаружить ряд новых полос. Анализ показал, что требуется пересмотр существующих спектроскопич. постоянных CH_3J^+ .

А. П. Зуев



CH₃J⁺

DM - 16295

1983

14 Б128. Фотодиссоциационный спектр CH₃J⁺, образованных в процессе многофотонной ионизации. Photodissociation spectrum of CH₃I⁺ prepared by multiphoton ionization. Chupka W. A., Colson S. D., Seaver M. S., Woodward A. M. «Chem. Phys. Lett.», 1983, 95, № 3, 171—176 (англ.)

С помощью времяз-пролетной масс-спектрометрии измениены фотодиссоциац. спектры (ФДС) ионов CH₃J⁺. Для приготовления последних в выбранных электронных, колебательных и вращательных состояниях исходный пучок нейтральных молекул CH₃J облучался лазером с подстраиваемой длиной волны (λ) в области 364,8—367 нм двухфотонной резонансной ионизации. Вращательная температура пучка CH₃J понижалась путем использования в системе напуска газа сверхзвукового сопла и примешиванием гелия к исследуемому газу. Образующиеся таким образом ионы CH₃J⁺ затем диссоциировали под действием 2-го лазера с λ из диапазона 573,2—599,4 нм. Выявлен ряд ранее скрытых линий в ФДС, с высокой точностью (0,009 эВ) определен порог диссоциации CH₃ — 12,244 эВ, исправлены найденные ранее значения колебательных констант для $^2P_{1/2}$ состояния иона CH₃J⁺.

О. А. Басченко

X. 1983, 19, N 14.

М.Н.

СНЗ

1983

8 Л167. Магнитный колебательный круговой дихроизм растворов метил-галогенидов. Magnetic vibrational circular dichroism of methyl halides in solution. Devine T. R., Keiderling T. A. «J. Chem. Phys.», 1983, 79, № 12, 5796—5801 (англ.)

Получены спектры магнитного колебательного кругового дихроизма (МККД) растворов ряда метил-галогенидов (CH_3J , CH_3Br , CH_3Cl , CH_3F) в CCl_4 . Отмечено, что вопреки имеющимся теоретич. моделям МККД для валентных колебаний С—Н типов A_1 и E обнаружен преимущественно B -терм. Установлено, что сигнал МККД этих двух мод противоположен по знаку для каждого из исследованных метил-галогенидов, а относит. интенсивность сигнала зависит от галогена. Подчеркнуто, что аналогичные результаты обнаружены и в области деформац. колебаний CH_3 . Для сравнения представлены сигналы МККД валентной моды N—H в NH_3 . Библ. 15.

Е. В. Викторова

18(73)

оф. 1984, 18, № 8

CH₃J

Окт. 1984

1983

1 Л173. Резонансы, индуцированные столкновениями молекул, в радиочастотной спектроскопии внутри резонатора инфракрасного лазера. Collision-induced resonances in radio-frequency spectroscopy inside the cavity of an infrared laser. Glorieux P., Agimondo E., Oka T. «J. Phys. Chem.», 1983, 87, № 12, 2133—2141 (англ.)

Методом двойного ИК-РЧ-резонанса внутри резонатора CO₂-лазера исследованы боковые сателлиты на сигналах двойного резонанса, соответствующие РЧ-переходам между компонентами квадрупольной структуры вращательных уровней молекул CH₃J и CH₃Br, а также переходам между компонентами асимметричного K-удвоения уровней H₂CO, HDCO и HCOOH. Боковые сателлиты наблюдаются на линии генерации лазера при РЧ-накачке исследуемых переходов за счет столкнови-

*записан
перехож*

(44)



о. 1984, 18, N 1

стельного переноса заселенности к ИК-переходам. Обнаружены сателлиты, соответствующие столкновительным переходам с $\Delta J \leq 9$. Показано, что переходы с $\Delta J > 1$ являются в основном каскадными. Анализ результатов проведен с использованием кинетич. ур-ний и показано, что скорость молекул при столкновениях практически не изменяется, т. е. столкновительные переходы происходят при сохранении внутренней энергии.

М. Р. Алиев

CH_3J 1983
 CD_3J Harada Kensuke, Ta-
naka Keiichi, et al.

Pi, et al.; J. Mol. Spectrosc.,
1983, 98, N2, 349-374.

(ccr. CD_3Br ; II^+)

CH_3J
 CD_3J

спектр

1983

7 Д564. Фотофрагментация молекул CH_3J , CD_3J и CF_3J . Photofragmentation of CH_3I , CD_3I and CF_3I . Formation of $\text{I}({}^2\text{P}_{1/2})$ as a function of wavelength. Hunter Tom F., Lunt Stuart, Kristjansson Kristjan S. «J. Chem. Soc. Faraday Trans.», 1983, Part 2, 79, № 2, 303—316 (англ.).

Методом оптоакустич. спектроскопии, с использованием отдельных линий в области 247,5—312,5 нм, получены спектральные зависимости квантовых выходов фоторазложения паров CH_3J , CD_3J и CF_3J с образованием атомов $\text{J}({}^2\text{P}_{1/2}, {}^2\text{P}_{3/2})$. По эксперим. данным вычислены соответствующие коэф. ветвления. Для каждой из исследованных молекул обнаружены три полосы поглощения $n \rightarrow \pi^*$. Результаты сопоставлены с данными других авторов. Показано, что эксперименты с диспергированным, спектрально-узким возбуждающим излучением позволяют существенно повысить информативность оптоакустич. методики. Библ. 44.

М. Т.

92. 1983, 18, № 7

CF_3J

CH₃J

Om. 17920 1983

5 Б1223. Проверка значения вращательной постоянной A_0 иодистого метила на основе зависимости диагонального кориолисова взаимодействия от вращения. Matsui га Н., Mугата Н. Examination of the rotational constant A_0 for methyl iodide on the basis of rotational dependence of diagonal Coriolis coupling. «J. Mol. Spectrosc.», 1983, 100, № 2, 449—450 (англ.)

Путем анализа лит. эксперим. данных по зависимости кориолисова взаимодействия 1-го порядка от вращения определены значения вращательной постоянной A_0 и постоянной центробежного искажения $(D_k)_0$ молекулы CH₃J (I). Полученное значение для A_0 сопоставлено с соответствующим значением, найденным из анализа комбинационных разностей для полосы ν_4 в спектре КР молекулы I. Обсуждена точность полученного значения вращательной постоянной A_0 . Отмечена более высокая точность определения A_0 из анализа зависимости кориолисова взаимодействия от вращения.

Ю. Н. Панченко

X. 1984, 19, N 5

CH₃J

Om. 17.9.20

1983

з д 48. Определение вращательной постоянной A_0 молекулы метилиодида с использованием коэффициентов вращательной зависимости диагонального кориолисова взаимодействия. Examination of the rotational constant A_0 for methyl iodide on the basis of rotational dependence of diagonal Coriolis coupling. Matsuzaga Higoatsu, Murgata Higomu. «J. Mol. Spectrosc.», 1983, 100, № 2, 449—450 (англ.)

С использованием эксперим. данных для коэф. вращательной зависимости диагонального кориолисова взаимодействия и правила сумм для этих констант найдено значение центробежной константы $D_K = (0,70 \pm 0,28) \cdot 10^{-4} \text{ см}^{-1}$, которое вместе с эксперим. значением комбинации $A_0 - 29D_K = 5,17082 \text{ см}^{-1}$ дает величину вращательной постоянной $A_0 = 5,17285 \text{ см}^{-1}$ CH₃J.

М. Р. Алиев

cf. 1984, 18, N 3

CH₃I

Om. 17920 1983

99: 130579a Examination of the rotational constant A_0 for methyl iodide on the basis of rotational dependence of diagonal Coriolis coupling. Matsuura, Hiroatsu; Murata, Hiromu (Fac. Sci., Hiroshima Univ., Hiroshima, Japan 730). *J. Mol. Spectrosc.* 1983, 100(2), 449-50 (Eng). The rotational const. of MeI was detd. as $A_0 = 5.17285 \pm 0.0008 \text{ cm}^{-1}$ on the basis of rotational dependence of diagonal Coriolis coupling. This value is in excellent agreement with $5.1728 \pm 0.002 \text{ cm}^{-1}$ detd. from the anal. of the ν_4 Raman band. A further improvement of A_0 is promising, provided that a more precise vibration-rotation anal. of the ν_4 band is made.

transient
no effect

C.A. 1983, 99, 1116

CH₃J

№ 17094

1983

1 Л206. Колебательно-вращательный ИК-спектр иодистого метила в области полосы ν_2 . Кориолисово взаимодействие с ν_5 . Vibration-rotation infrared spectrum of ν_2 of methyl iodide. Coriolis interaction with ν_5 . Matsuura Hiroatsu, Kamikawa Kohsuke, Mignata Hiromi. «Spectrochim. acta», 1983, A39, № 6, 551—553 (англ.)

Получен спектр паров CH₃J при давлении 5 мм рт. ст. в области 1200—1300 см^{-1} с разрешением 0,08 см^{-1} . Измерены частоты и выполнено отнесение 550 колебательно-вращательных линий полосы ν_2 в P- и R-ветвях и компоненты K-структуры Q-ветви. Анализ полосы выполнен с учетом кориолисова взаимодействия ν_2 и ν_5 и резонанса Ферми ν_2 с $\nu_3 + \nu_6$. Определена колебательная частота $\nu_2 = 1251,193 \text{ см}^{-1}$, вращательные постоянные и константы центробежной деформации молекулы в состоянии ν_2 .

М. В. Т.

ИК спектр, №;
1984, 18, № 1

УСНЗ

от 17094 1983

23 Б274. Колебательно-вращательный инфракрасный спектр полосы ν_2 метилиодида — кориолисово взаимодействие с ν_5 . Vibration-rotation infrared spectrum of ν_2 of methyl iodide — Coriolis interaction with ν_5 : Matsuya Hiroatsu, Kamikawa Kohsuke, Morigata Higomi. «Spectrochim. acta», 1983, A39, № 6, 551—553 (англ.)

С помощью фурье-спектрометра с разрешением 0,08 см^{-1} измерен колебательно-вращательный спектр JCH_3 в области полосы ν_2 1285—1205 см^{-1} . Наблюдено около 550 линий, отнесенных к переходам $P_K(l)$ с $K=1, 3, 4, 5$ и 6 и $P_K(l)$ с $K=1, 3$ и 4 . С использованием лит. данных по молек. постоянным основного состояния CH_3J рассчитаны эф. спектроскопич. постоянные для состояния ν_2 . Показано, что описание кориолисова взаимодействия *ху*-типа только с помощью теории возмущений второго порядка в данном случае не является вполне адекватным. Новый анализ вращатель-

Д.И.М.П.

X. 1983, 19, N 23

ной структуры полосы ν_2 выполнен с учетом xy -кориолисова взаимодействия между состояниями ν_2 и ν_5 и резонанса Ферми между ν_5 и $\nu_3 + \nu_6$. Данна приведенная матрица эрмитиана 5-го порядка. Рассчитаны след. спектроскопич. параметры для полосы ν_2 CH₃J (см⁻¹) (ν_0)₂=1251,193, $A_2 - A_0 = 0,02030$, $B_2 = 0,24935$, (D_I)₂=
 $= 2,08) \cdot 10^{-7}$, (D_{IK})₂= $3,2 \times 10^{-6}$, $\xi_{2,5a} \nu = -0,630$. Полученные значения сравниваются с имеющимися лит. данными. Отмечается, что отличие в (ν_0)₂ связано с неверным отнесением по I , выполненным ранее. С. Б. Осин

CH_3I

Om. 17094

1983

199: 166104f Vibration-rotation infrared spectrum of ν_2 of methyl iodide: Coriolis interaction with ν_5 . Matsuura, Hiroatsu; Kamikawa, Kohsuke; Murata, Hiromu (Dep. Chem., Hiroshima Univ., Hiroshima, Japan 730). *Spectrochim. Acta, Part A* 1983, 39A(6), 551-3 (Eng). Vibration-rotation IR spectrum of ν_2 of MeI was measured with a resoln. of 0.08 cm^{-1} . The spectrum was analyzed by taking account of an xy -type Coriolis interaction between ν_2 and ν_5 and a Fermi resonance between ν_5 and $\nu_3 + \nu_6$.

(ν_2 , UK)

C.A.1983, 99, N20

CH_3J

1983

Dijonais-
puzaq, UK
checkmp

Oraska Martti, Kivi-
her Antti, et al.

Z. Urol. Street. 1983,
98 (1-2), 19-26.

(Cer. C_2Cl_4 ; III)

Сбз. 7

1983

1 Л294. Изучение динамики молекулярного зонда (метилйодида) в углеводородных растворителях методом спектроскопии комбинационного рассеяния света. Raman spectroscopic studies on the dynamics of a molecular «Probe» (methyl iodide) in hydrocarbon solvents. Расунко W. F., Ягвуд J., Гардинер D. J. «Chem. Phys.», 1983, 78, № 3, 319—322 (англ.)

Изучены поляризационные спектры комб. рас. ($400-600 \text{ см}^{-1}$) молекул метилйодида (I), растворенных в жидких *n*-алканах с числом атомов углерода от 6 до 16 и в жидком углеводородном топливе. Обсуждены изменения полуширины линий комб. рас. при вариации типа растворителя и конц-ии I в растворе. Выполнена оценка корреляционных ф-ций вращательных движений I в растворе. Предположено, что динамика вращательных движений I обусловлена микроструктурой растворителя. Отмечено, что молекулы I совершают практически свободные вращения в растворителях с малыми

спектр

оф 1984, 18, N 1

длинами углеводородных цепей. Установлены соотношения между временем реориентационных движений молекул I в растворе и молярным объемом, занимаемым этими молекулами. Сделан вывод о возможности исследования микроструктуры жидкого топлива методом молекулярного зонда по данным спектров комб. рас. растворенных молекул.

И. В. А.



CH₃J

DM. 18125 1983

4 Л170. Анализ полосы ν_1 в CH₃J. Analysis of the ν_1 band for CH₃J. Paso R., Ногпетан V.-M., Anttila R. «J. Mol. Spectrosc.», 1983, 101, № 1, 193—198 (англ.)

При комнатной т-ре с помощью вакуумного дифракционного спектрометра с фокусным расстоянием 4,5 м исследованы спектры поглощения CH₃J в газовой фазе в области полосы ν_1 2970 см⁻¹. Разрешение при регистрации спектров было не хуже 0,04 см⁻¹. В области шириной 55 см⁻¹ зарегистрированы 470 линий колебательно-вращательной структуры. Проведена интерпретация спектров с учетом проявления дополнительных линий, обусловленных составными колебаниями $\nu_2+2\nu_6$. Определены молекулярные постоянные, характеризующие вращательную структуру полосы ν_1 . Библ. 13. К.Э. М.

ν_1 , см⁻¹.

сб. 1984, 18, № 4

$\text{CH}_3\gamma$

(Om. 18125) 1983

99:166143t Analysis of the ν_1 band of iodomethane. Paso, R.; Horneman, V. M.; Anttila, R. (Dep. Phys., Univ. Oulu, SF-90570 Oulu, 57 Finland). *J. Mol. Spectrosc.* 1983, 101(1), 193-8 (Eng). The rotational structure of the IR band ν_1 of MeI was studied at a resoln. of 0.04 cm^{-1} by using a grating spectrometer. In the anal. including 470 lines, a resonance, explained to be caused by $\nu_2 + 2\nu_6 \pm 2$, was taken into account. The mol. consts. derived include, e.g., $\alpha_1^A = 0.051129(14) \text{ cm}^{-1}$ and $\alpha_1^B = 0.0983(9) \times 10^{-3} \text{ cm}^{-1}$.

(ν_i)

C.A. 1983, 99, N20

CH₃J

DM · 18125 1983

} 7 Б1211. Анализ полосы ν_1 CH₃J. Analysis of the ν_1 band of CH₃J. Paso R., Ногпетап V.-M., Anttila R. «J. Mol. Spectrosc.», 1983, 101, № 1, 193—198 (англ.).

С использованием вакуумного дифракционного спектрометра с разрешением 0,04 см⁻¹ измерены ИК-спектры поглощения молекул CH₃J в многоходовой кювете ($l=3$ м, $P=1$ мм) в области ν_1 . Наблюдено и идентифицировано около 500 линий вращательной структуры полосы с $K=0—6$ (в ряде случаев до 9) и $J'' \leq 55$. Анализ вращательной структуры полосы ν_1 показал, что она плохо описывается в рамках модели, не учитывающей возмущений, даже если явно возмущенные линии в ветви $P_4(J)$ исключаются из рассмотрения. Предположено, что наблюдаемые возмущения вызываются резонансным корниловым взаимодействием состояний ν_1 и $\nu_2+2\nu_6 \pm 2$. При фиксированных значениях молек. постоянных для основного колебательного состояния CH₃J, определенных ранее, рассчитаны молекулярные постоянные в состоянии ν_1 (см⁻¹): $\nu_0 = 2971,2473$, $A = 5,122271$, $B = 0,2501173$, $D_J = 0,2216 \times$

ll-1.)

D,

X.1984, 19, N 7

$\times 10^{-6}$, $D_{JK} = 2,689 \times 10^{-6}$, $a_1^A = 5,1129 \cdot 10^{-2}$, $a_1^B =$
 $= 0,0983 \cdot 10^{-3}$ и в состоянии $v_2 + 2v_6^{\pm 2} - v_0 = 3017,68$, $B =$
 $= 0,24736$. Обсуждены отличия некоторых полученных па-
раметров от имеющихся в литературе. С. Б. Осин

АОСТ₁
В С

CD₃J

1983

19 Б275. Определение A_0 и D_k для молекулы CD₃J из полос ν_4 в спектре комбинационного рассеяния и в инфракрасном спектре поглощения. Determination of A_0 and D_k for CD₃J from the ν_4 Raman and IR bands. Poulsen Carsten, Brodersen Svend. «J. Raman Spectrosc.», 1983, 14, № 2, 77—82 (англ.)

Измерен спектр КР с разрешением 0,28 см⁻¹ молекулы CD₃J (I) в области наиболее интенсивной полосы вырожденного колебания ν_4 . Проведена совместная обработка полученных эксперим. данных и лит. данных по ИК-спектру полосы ν_4 с помощью метода наименьших квадратов. Получены постоянные для основного состояния молекулы I (см⁻¹): $A_0=2,59608(10)$, $D_k=1,98(10)\cdot10^{-5}$, $\nu_0=2298,55(1)$, $(A_\zeta)_4=0,4635(1)$, $\Delta A=-1,357(3)\cdot10^{-2}$ и $\Delta B=-7,9(2)\cdot10^{-5}$. Сделан вывод, что уровень ν_4 невозмущен. Из лит. данных по постоянным a^A рассчитано значение $A_e=2,6200(8)$ см⁻¹ и значение $r_e=1,03192(15)$ Å для расстояния между атомами дейтерия и осью симметрии. Ю. Н. Панченко

М.Н.

X.1983, 19, N 19

CD₃I

1983

1983: 224515h Determination of A_0 and D_K for iodomethane-D₃ from the ν_4 Raman and IR bands. Poulsen, Carsten; Brodersen, Svend (Dep. Chem., Univ. Aarhus, Aarhus, DK 8000 Den.). *J. Raman Spectrosc.* 1983, 14(2), 77-82 (Eng). The ν_4 Raman band of CD₃I was recorded at a resoln. of 0.28 cm⁻¹. A weighted least-squares anal., including data from the ν_4 IR band gave $A_0 = 2.59608 \pm 0.00010$ cm⁻¹ and $D_K = (1.98 \pm 0.10) \times 10^{-6}$ cm⁻¹ in addn. to values for ν_0 , (A_5)₄, ΔA and ΔB . The ν_4 state is essentially unperturbed. By using literature values for the α^A consts., A_e was 2.6200 ± 0.0008 cm⁻¹, indicating a value of $r_e = 1.03192 \pm 0.00015$ Å for the distance b/t the D atoms from the figure axis.

(ν_4 , $\mu\cdot n\cdot$)

C.A. 1983, 98, N 26

CD₃J

1983

11 Д622. Определение A_o и D_k для CD₃J по полосе γ_4 в комбинационном рассеянии и ИК-поглощении.
Determination of A_o and D_k for CD₃I from the γ_4 Raman and IR bands. Poulsen Carsten, Brodersen Svend. «J. Raman Spectrosc.», 1983, 14, № 2, 77—82 (англ.)

Получены спектры комб. рас. газообразного CD₃J при давл. 150 мм рт. ст. в области полосы γ_4 типа E с разрешением 0,14 см⁻¹. Использована фотографич. регистрация и микрофотометрирование. Приведен наблюдаемый и рассчитанный спектры, их сравнением выполнена интерпретация. Даны таблица частот максимумов Q-ветвей полосы для K'' от -18 до +18. Эти результаты вместе с литературными данными по ИК-поглощению использованы для определения констант основного состояния A_o и D_k молекулы CD₃J. Библ. 23. М. В. Т.

М.Л.

90. 1983, 18, N 11

СН₃І⁺

1983

7 Д267. Мономолекулярная диссоциация катионов иодистого метила, селектированных по электронным состояниям. The unimolecular dissociation of electronic state-selected methyl iodide cations. Powis I. «Chem. Phys.», 1983, 74, № 3, 421—432 (англ.)

Методом фотоэлектро-фотоионного совпадения исследована мономолекулярная диссоциация катионов иодистого метила, приготовленных в \tilde{A}^2A_1- и \tilde{B}^2E -электронных состояниях с известным значением колебательной энергии. Определены отношения вероятностей распада по различным каналам и распределения по кинетич. энергии для диссоциации на $\text{CH}_3^+ + \text{J}^-$ и $\text{CH}_2\text{J}^+ + \text{H}^-$.

спбкту

9.1983, 18, № 7

фрагменты. Последние позволяют сделать выводы о механизме распада: фрагменты CH_2J^+ образуются исключительно из B^2E -состояния исходного иона, а CH_3^+ -фрагмент образуется как из B^2E -, так и из A^2A_1 -состояний. Для распада из обоих состояний характерно статистич. перераспределение энергии. Отмечается возможность образования возбужденных спин-орбитальных состояний иона J^+ при распаде B^2E -состояния на CH_3 и J^+ .

А. А. Зембеков

CD₃J

1983

15 Б217. Инфракрасная дефазировка вырожденных основных тонов: мода v_6 жидкого CD₃J. Infrared dephasing of degenerate fundamentals. The v_6 mode of liquid CD₃J. Rothschild Walter G., Soussen-Jacob Janine, Vincent-Geisse Josette. «Chem. Phys. Lett.», 1983, 96, № 1, 43—46 (англ.)

(ρ_i)

Указывается на ограниченность обычного способа модельного разделения спектральных вкладов релаксаций каналов колебательного и вращательного уширения линий. Взамен предлагается рассматривать соотв-щую контуру ИК-поглощения в жидк. фазе корреляц. ф-цию полного матричного элемента колебательно-вращательного перехода. Ориентац. уширение считается несущественным, а основным механизмом модуляции — либрац. движение молекул в ячейке жидкости. Спектр жидкого CD₃J при 25°C и 1 атм был получен на станд. спектрометре в диапазоне 300 см⁻¹ (~20 полуширин), после чего были численно найдены его средн. частота, 2-й момент и фурье-преобразование. Для мо-

ж. 1983, 19:
N 15

делирования использовалась простейшая корреляц. ф-ция заторможенного гармонич. осциллятора, подстановка к-рой в кумулянтное разл. вместе с предположением о гауссовойности флуктуаций позволила получить выражение для корреляц. функции соотв-щей спектральному контуру. Подгонка двух свободных параметров модели — коэф. затухания и средней частоты либраций — дала удовлетворительное согласие с экспериментом, а определенная т. обр. частота практически совпала с частотой линии жидк. CD_3J в длинноволновой ИК-области. По мнению авторов, последний факт является сильным аргументом в пользу либрац. природы процесса колебательной дефазировки. С. Темкин

СДЗ

1983

9 Д472. Дефазировка для вырожденных основных ИК-полос. Колебание v_6 жидкого CD_3J . Infrared dephasing of degenerate fundamentals. The v_6 mode of liquid CD_3J . Rothschild Walter G., Soussen-Jacob Janine, Vincent-Geisse Josette. «Chem. Phys. Lett.», 1983, 96, № 1, 43—46 (англ.)

Изучен контур полосы v_6 ИК-поглощения жидкого CD_3J при комнатной т-ре. Крылья полосы, напоминающие размытые вращательные ветви P и R , связаны с проявлением либрационного движения в жидкой фазе, модулирующего колебательное. Гипотеза подтверждается усилением модуляционных процессов при понижении т-ры и формой временной корреляционной ф-ции, рассчитанной по этой полосе. Предложена модель молекулярного движения, включающая как вращательное, так и либрационное движение, на ее основе рассчитана корреляционная ф-ция, содержащая в качестве параметров коэф. затухания и частоту либраций. Эти величины найдены из сравнения модельной ф-ции с результатом эксперимента. Полученные значения ча-

оп. 1983, 18, № 9

стоты либрации 53 см^{-1} близко к наблюденному в
спектрах длинноволни. ИК-поглощения. М. В. Т.

CH₃J

1984

10 Б1265. Центробежное искажение в квадрупольных спектрах молекул CH₃J и CH₃Br. Теория и эксперимент. Centrifugal distortion in quadrupole spectra of CH₃I and CH₃Br. Theory and experiment. Aliev M. R., Grabois M. N., Osipov B. D. «Proc. 8th Int. Conf. High Resolut. Infrared Spectrosc., Liblice near Prague, Sept. 3—7, 1984. Progr. Sess.: Abstr. Pap.» Prague, s. a., 87 (англ.)

Методом двойного РЧ—МВ резонанса измерены квадрупольные спектры молекул ¹²CH₃J, ¹³CH₃J, CH₃⁷⁹Br и CH₃⁸¹Br в области 80—500 МГц с точностью 100 Гц. Определены значения постоянных квадрупольного взаимодействия ядер брома и йода, параметров (χ) центробежного искажения в квадрупольном взаимодействии ядер и постоянных магнитных сверхтонких взаимодействий. Определенные комбинации χ -параметров удовлетворяют вновь полученным изотопич. соотношениям.

Е. В. Алиева

☒ (4)

X. 1985, 19, n 10

СН₃J

1984

19 Б4480. Субмиллиметровые лазеры на иодистом метиле и его изотопных разновидностях. Submillimeter lasers in methyl iodide and its isotopic species. Agi-mondo E. «Rev. Infrar. and Millimeter Waves. Vol. 2». New York; London, 1984, 81—103 (англ.)

Обзор. Рассмотрена субмиллиметровая лазерная генерация на молекулах ^{12,13}CH₃J при оптич. накачке CO₂-лазерами. Приведены таблицы характеристик 73 лазерных линий, а также молек. постоянные CH₃J. Библ. 43.

Ф. Ш.

ll-1, №20р

ж. 1984, 19, N 19

CH_3J

1984

Aron J., Burnell J., et al.

Cited. J. Mol. Struct., 1984, 110,
no. 3-4, Suppl.: Theochem.,
19, no. 3-4, 361-379.

(Cited. CH_3F ; III)

CH₃J

1984

1 Л262. Динамика фотодиссоциации CH₃J при 248 нм. Photofragmentation dynamics of CH₂J at 248 nm.
Ваггу М. Д., Гоггу Р. А. «Mol. Phys.», 1984, 52, № 2, 461—473 (англ.)

Методом времяпролетной спектроскопии получены распределения по углу и кинетич. энергии атомов $J^2P_{1/2}$ и $^2P_{3/2}$, образующихся при фотодиссоциации CH₃J под действием лазерного излучения 248 нм. Показано, что фотораспад CH₃J происходит за время $\sim 10^{13}$ с в результате прямой фотодиссоциации. Отдельно для адиабатического ($J^2P_{1/2}$) и неадиабатич. ($J^2P_{3/2}$) каналов фотодиссоциации вычислены распределения заселенностей по колебательным уровням моды v_2 («зонтичное» колебание) другого фрагмента-радикала CH₃. Полученные распределения хорошо согласуются с результатами измерений другими методами.

Е. Н. Т.

φ. 1985, 18, № 1

CH_3I (κ)

CD_3I

1984

102; 102671m Raman and infrared spectra of crystalline methyl iodide. Binbrek, O. S.; Anderson, A.; Andrews, B.; Torrie, B. H. (Univ. Waterloo, Waterloo, ON Can. N2L 3G1). *J. Raman Spectrosc.* 1984, 15(6), 406-10 (Eng). Raman and IR spectra of polycryst. samples of CH_3I and CD_3I were recorded at temps. between 20 K and the in.p., 209 K. No evidence for a solid-state phase transition was found. New splittings of the internal modes and more complete lattice spectra were obstd. at lower temps. An assignment of all principal bands is proposed, based on the known mol. and crystal structures.

(CKP, UK, Di)

c.A.1985, 102, N12

CH_3J

1984.

Carlson Thomas A.,
Fahlman Anders, et al

спомозлектропом. J. Chem. Phys.,
Спекмп. 1984, 80, N 8, 3521 -

- 3524.

(см. HJ; III)

Off 39 (C.M. 22.226) 20/11/1984

Dhanalakshmi & Lalit

Spanam. ha ill.,
noemash, Indian J. Phys., 1984,
meop. B58, N 4-5, 421-426.
pacrem.

$\text{CH}_3\gamma$ 1984
Raesdorf S., Schönkense G.,
et al.

crexmp Vac. Ultraviolet Radiat. Phys.,
VUV VII. Proc. of Int. Conf.,
Jerusalem, Aug. 8-12, 1983.
Vol. 6. Bristol; Jerusalem;
1984, 179-181.

(Ccl. Brz; III)

CH₃J

Ом-20525

1984

9 Б1054. Обращение потенциала молекулы CH₃J (\tilde{X}^1A_1) методом оператора дискретной координаты.
Inversion of the CH₃J (\tilde{X}^1A_1) potential by the discrete position operator method. Kanfer S., Shapiro M.
J. Phys. Chem., 1984, 88, № 18, 3964—3968 (англ.)

Развит подх^{од} к решению обратной задачи восстановления Пт по эксперим. данным, основанный на использовании представления дискретной координаты для системы диф. ур-ний многоканальной теории рассеяния. Представление дискретной координаты получается с помощью унитарного оператора, диагонализующего матрицу оператора положения в подпространстве внутр. координат системы в базисе собственных ф-ций мишени. Метод применен к вычислению уровней энергии двух связанных ангармонич. осцилляторов и к восстановл-

Di, M.A.,
постанов.
Крикун

X. 1985, 19, №

нию потенциальной Пв основного электронного состояния молекулы CH_3J по эксперим. данным. Развитый подход резко сокращает число подгоночных параметров при решении обр. задачи. Полученная с его помощью потенциальная Пв приводит к уровням энергии, хорошо согласующимися с экспериментальными.

В. Б. Павлов-Веревкин

CH₃J

DM · 20585

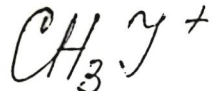
1984

6 Л204. Обращение потенциала CH₃J (\tilde{X}^1A_1) методом оператора дискретной координаты. Inversion of the CH₃J (\tilde{X}^1A_1) potential by the discrete position operator method. Kanfer S., Shapiro M. «J. Phys. Chem.», 1984, 88, № 18, 3964—3968 (англ.)

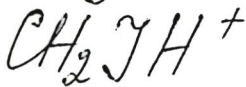
Описан метод восстановления потенц. поверхностей многоатомных молекул по эксперим. данным о сечени-ях рассеяния и энергиях связанных состояний, являю-щийся развитием предложенного недавно метода дискретной координаты (Lill J. V. et al. «Chem. Phys. Lett.», 1982, 89, 483) и отличающийся от последнего рациональным выбором координатных узлов квадратур-ных ф-л. Метод использован для нахождения потенц. ф-ции основного состояния метилйодида. Колебатель-ный спектр в области высоких обертонов, рассчитанный с восстановленной потенц. ф-цией, хорошо согласуется с эксперим. спектром флуоресценции. Е. П. Смирнов

ll.1.

φ 1985, 18, N6

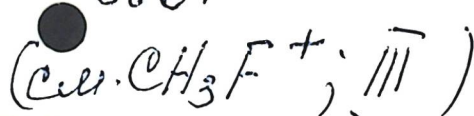


1984



McLachlin Francis,
Stahl Daniel, et al.

J. Chem. Soc. Chem.
Commun., 1984, N8,
504—506.



CH₃I (20897 (0n. 20783) 1984

102: 122323c Analysis of the ν_5 , $\nu_3 + \nu_6$, and ν_2 band system of methyl iodide by solving explicit energy matrixes. Matsuura, Hiroatsu; Kamikawa, Kohsuke (Fac. Sci., Hiroshima Univ., Hiroshima, Japan 730). *J. Sci. Hiroshima Univ., Ser. A: Phys. Chem.* 1984, 48(3), 123-52 (Eng). The Fermi- and Coriolis-coupled band system of ν_5 , $\nu_3 + \nu_6$, and ν_2 of MeI was analyzed by solving secular equations of energy matrixes, in which all of the interactions involved in the band system were explicitly taken into account. The important interactions are a Fermi resonance between ν_5 and $\nu_3 + \nu_6$, an xy-type Coriolis interaction between ν_5 and $\nu_3 + \nu_6$, and an xy-type Coriolis interaction between ν_2 and ν_6 . In the anal., 1279 vibration-rotation transitions and 9 rotation transitions in the excited vibrational states were utilized for detg. the spectroscopic parameters for the ν_5 , $\nu_3 + \nu_6$, and ν_2 states and those for the interactions. The present anal. indicated that some constraints of the parameters were required in the least-squares calcns., for lack of sufficient exptl. data to fix them.

(ν_5 , ν_2 , $\nu_3 + \nu_6$)

C.A. 1985, 102, N 14.

CH₃J

от 20.7.83

1984

14. Б1261. Анализ системы полос ν_5 , $\nu_3 + \nu_6$ и ν_2 молекулы метилиодида методом точной диагонализации матрицы энергии. Analysis of the ν_5 , $\nu_3 + \nu_6$, and ν_2 band system of methyl iodide by solving explicit energy matrices. Matsuiwa H., Kamikawa K. «J. Sci. Hiroshima Univ.», 1984, A48, № 3, 123—152 (англ.)

С учетом резонанса Ферми между колебаниями $\nu_5(E)$ и $\nu_3 + \nu_6(E)$, резонанса кориолиса 1-го порядка между $\nu_2(A_1)$ и $\nu_5(E)$ и резонанса кориолиса 2-го порядка между $\nu_5(E)$ и $\nu_3 + \nu_6(E)$, а также диагональных поправок квартичного центробежного искажения и колебат.-вращат. взаимодействия вплоть до 3-го порядка, построена матрица колебательной вращат. энергии для молекул с симметрией C_{3v} . Эта матрица применена к анализу вращат. структуры ИК-полос ν_2 , ν_5 и $\nu_3 + \nu_6$ молекулы CH₃J. Из частот 1279 колебательно-вращат. и 9 вращат. переходов МНК вычислены значения 35 молек. констант. Приведены таблицы частот переходов.

Е. В. Алиева

X. 1985, 19, N 14

$\text{CH}_3\gamma$ Loc. 20133 | 1984
 $\text{CD}_3\gamma$

Mercau N., Aroca R.,

Ch. rock.
bedrock.
river,
et. n.,
gregs
aurumygs.
posed.

Robinson F.A., et al.

J. Comput. Chem., 1984,
5, N 5, 427 - 440.

1984

CH₃J

20 Б1085. О расчете зависящего от давления уширения линий в молекулах типа симметричного волчка с использованием модифицированной теории Андерсона. On the calculation of pressure-broadened linewidths for symmetric-top molecules using the modified Anderson theory. Messer J. K., Roberts J. A. «J. Mol. Spectrosc.», 1984, 104, № 2, 308—314 (англ.)

В рамках теории Андерсона выписаны ф-лы для столкновительного уширения спектральных линий. Теория применена к молекулам типа симм. волчка для того случая, когда диполь-дипольное взаимодействие является доминирующим, но необходимо также учитывать и квадруполь-дипольные и квадруполь-квадрупольные вклады. Результаты расчетов представлены для молекул CH₃J и CH₃Cl. Найдено, что поправки от высших мультипольных членов (по сравнению с диполь-дипольным) достаточно велики, особенно для CH₃J. Сопоставление с эксперим. данными позволяет оценить погрешности наиболее удачного приближения в 0,5%. Расчеты подтверждают большее влияние почти резонансных столкновений на величину уширения по сравнению с нерезонансными столкновениями.

расчет М.Л.

47

(41)

Х. 1984, 19,
N 20

А. В. Немухин

CH_3Y

10M. 22/95 | 20/112 | 1984

Pacrem

UK UK-
MEHCCB-
HOCHMEU.

Prasad M.R.V., Ravin-
dranath K., et al,

Indian J. Phys., 1984,
B58, N 4-5, 409-412.

CH_3J

1984

Swarna Kumari G.,
Rajeswara Rao N.

crekmp

J. Mol. Spectrosc.,
1984, 106, N1, 1-11.

(c.c. CH_3F ; III)

CH₃J

1984

11 Л367. Возбуждение зонтичной моды молекул CH₃ и CD₃, образованных при фотодиссоциации CH₃J и CD₃J при $\lambda=248$ нм. The excitation of the umbrella mode of CH₃ and CD₃ formed from photodissociation of CH₃I and CD₃I at 248 nm. Van Veen G. N. A., Baller T., DeVries A. E., Van Veen N. J. A. «Chem. Phys.», 1984, 87, № 3, 405—417. (англ.)

Изучена фотодиссоциация молекул CH₃J и CD₃J в пучке при облучении светом с $\lambda=248$ нм на фрагменты CH₃(CD₃) и J(²P_{3/2}) или J(²P_{1/2}). Показано, что у полученных при фотодиссоциации CH₃ и CD₃ возбуждены зонтичные колебательные моды, причем максимум заселенности для CH₃ соответствует колебательному квантовому числу $v=2$, как при образовании J(²P_{3/2}), так и J(²P_{1/2}). В случае CD₃J колебательное

Do,

(7) 18 CD₃J

сб. 1984, 18, N 11

распределение фрагмента CD_3 имеет максимум при $v=3$ для канала $J(^2P_{1/2})$ и около $v=5$ для канала $J(^2P_{3/2})$. Предложены простые модели, описывающие возбуждения зонтичных мод радикалов CH_3 и CD_3 в каналах с образованием $J(^2P_{1/2})$ и $J(^2P_{3/2})$. Исследовано угловое распределение фрагментов фотодиссоциации. Экспериментально получены значения энергий C-J связей в CH_3J и CD_3J ($2,30 \pm 0,01$ и $2,33 \pm 0,01$ эВ).

Резюме

1984

CH₃ - γ

CD₃ - γ

Do;

X. 1984, 19, N 22

} 22 Б1182. Возбуждение зонтиковых колебаний CH₃ и CD₃ образующихся при фотодиссоциации CH₃J и CD₃J при 248 нм. The excitation of the umbrella made of CH₃ and CD₃ formed from photodissociation of CH₃J and CD₃J at 248 nm. Veen G. N. A. Van, Baller T., De Vries A. E., Van Veen N. J. A. «Chem. Phys.», 1984, 87, № 3, 405—417 (англ.)

Исследована фотодиссоциация CH₃J и CD₃J в импульсных молек. пучках под действием УФ-излучения эксимерного лазера ($\lambda=248$ нм). Фотодиссоциация протекает по двум каналам, CH₃J(CD₃J) → CH₃(CD₃) + J(²P_{3/2}) или J*(²P_{1/2}) (I и II соотв.). Величина квантового выхода образования J* составляет 0,71 для CH₃J и 0,81 для CD₃J. Фрагменты CH₃(CD₃) получались в колебательно возбужденных (зонтиковое колебание) состояниях (v). В случае CH₃J максимум распределения по v соответствует $v=2$ для I и II, причем для I распределение имеет более широкий характер ($v \leq 7$). В случае CD₃J максимум распределения при

$v=3$ для II и $v\simeq 5$ для I. Разработаны простые модели удовлетворительно описывающие процесс возбуждения и распределение по v CH_3 и CD_3 (I, II). Значения параметров анизотропии (β) углового распределения фотофрагментов: $\text{CH}_3-\beta$ (I) = 0,72, β (II) = 0,76; $\text{CD}_3-\beta$ (I) = 0,77, β (II) = 0,83. Поглощение и фотодиссоциация по схеме II связано с переходом ${}^1A_1 \rightarrow {}^3Q_0$, фотодиссоциация по схеме I обусловлена пересечением потенциальных поверхностей возбужденных состояний молекул 3Q_0 и 1Q при r ($\text{C}-\text{J}$) $\sim 3,0$ Å. Получены точные значения $D_0(\text{CH}_3-\text{J}) = 2,30 \pm 0,01$ эВ и $D_0(\text{CD}_3-\text{J}) = 2,33 \pm 0,01$.

Б. М. Ковба

CH_3Y

1985

Chau F.T., McDowell C. A.

Ces. noces,

g. mol. Struct.

Y; re;

1985, 129(1-2), 169-
-73.

(ces. F_2 ; III)

СН₃И

Окт 1983

1985

З Б1297. Диодный лазерный спектр полосы v_6 CH₃I с использованием нового эталона для калибровки. Diode laser spectrum of the v_6 band of CH₃I using a novel etalon as a calibration scale. Clag H.-J., Reich M., Schieder R., Winnweisser G., Yamada K. M. T. «J. Mol. Spectrosc.», 1985, 112, № 2, 447—458 (англ.)

С использованием диодного лазерного спектрометра с высоким разрешением в обл. 900—925 см⁻¹ (переходы $\Delta K = \Delta l = +1$) измерены спектры поглощения полосы v_6 молекулы CH₃I (длина погл. слоя ~70 см, давл. ~100 Па). Для калибровки использован конфокальный эталон Фабри—Перо с областью свободной дисперсии ~0,00945 см⁻¹. Вычислены уточненные значения спектроскопич. постоянных в состоянии v_6 CH₃I (см⁻¹): $v_0 + A\xi^2 = 882,91742(4)$, $A = 5,2080824(12)$, $B = 0,24942796(8)$, $D_I = 2,11893(25) \cdot 10^{-7}$, $D_{IK} = 3,29436$ (фикс) $\cdot 10^{-6}$, $D_K = 9,282(19) \cdot 10^{-5}$, $H_{KI} = 1,424 \cdot 10^{-10}$.

М.Н., v_i ,

Х. 1986, 19, № 3

(фикс), $A\xi = 1,952473(34)$, $\eta_I = 6,7162(48) \cdot 10^{-6}$, $\eta_K = 1,4351(24) \cdot 10^{-4}$, $q = 1,9538(50) \cdot 10^{-4}$. Полученные значения хорошо воспроизводят наблюдаемые положения линий и, кроме того, указывают на источник расхождения (неверное значение D_K в возбужденном состоянии) в постоянных, предложенных разными авторами ранее.

С. Б. Осин

CH₃J

07.21983

1985

2 Л195. Спектр CH₃J в области полосы ν₆, полученный с использованием диодного лазера и нового эталона для калибровки частот. Diode laser spectrum of the ν₆ band of CH₃J using a novel etalon as a calibration scale. Clag H.-J., Reich M., Schieder R., Winnepisseg G., Yamada Koichi M. T. «J. Mol. Spectrosc.», 1985, 112, № 2, 447—458 (англ.)

Получены спектры ИК-поглощения паров CH₃J при давлении ниже 1 мм рт. ст. вблизи 900 см⁻¹. Для регистрации использован диодный лазер и новый эталон Фабри—Перо, образованный двумя конфокальными сферич. зеркалами с золотым покрытием, расположеными на расстоянии 25 см. Между зеркалами вставлен светофильтр NaCl. Элементы эталона фиксированы кварцевыми стержнями, благодаря чему не требуется стабилизации т-ры. Постоянная эталона 0,00945 см⁻¹ измерена по частотам линий NH₃ с точностью 0,002%. Приведены измеренные и заимствованные из литературы частоты линий CH₃J. Эти данные использованы для определения молекулярных постоянных состояния ν₆ вплоть до секстичных, константы кориолисова взаимодействия и *l*-удвоения.

М. В. Т.

оф. 1986, 18, № 2

М.Л.

CH₃I

(On. 21/983)

1985

103: 131473z Diode laser spectrum of the ν_6 band of methyl iodide using a novel etalon as a calibration scale. Clar, H. J.; Reich, M.; Schieder, R.; Winnewisser, G.; Yamada, Koichi M. T. (Erstes Phys. Inst., Univ. Koln, 5000 Cologne, 41 Fed. Rep. Ger.). *J. Mol. Spectrosc.* 1985, 112(2), 447-58 (Eng). The $\Delta K = \Delta l = +1$ transitions of the ν_6 band of MeI were measured by a tunable diode laser spectrometer. A newly designed Fabry-Perot etalon with a free spectral range of 0.00945 cm^{-1} was used to calibrate the line position very precisely. The present data were analyzed together with the previously reported transition wavenumbers, and precise mol. consts. were obtained.

(P₆)

C. A. 1985, 103, N 16.

$\text{CH}_3\gamma$ [Om. 21363] 1985

Kaesdorf S., Schönhense G.;
et al.,

Фотоз.
спектр

Phys. Rev. Lett., 1985, 54, N9,
885-888.

CH_3J

1985

4 Л304. Приложение метода Вигнера к фотодиссоциации CH_3J . The Wigner method applied to the photo-dissociation of CH_3J . Непгиксен Нильс Энгхольм. «Chem. Phys. Lett.», 1985, 121, № 1—2, 139—142 (англ.)

Метод Вигнера использован при расчетах сечения фотодиссоциационных переходов молекулы CH_3J в рамках модели Шапиро — Берсона («J. Chem. Phys.», 1980, 73, 3810.) Парциальные сечения фотодиссоциационного поглощения, полученные этим квазиклассич. методом, хорошо согласуются с результатами «точных» квантово-механич. расчетов. Показано также, что гармонич. приближение для описания колебаний в основном состоянии CH_3S неадекватно при рассмотрении процесса фотодиссоциации.

В. С. Иванов

Фотодиссоц.

ф. 1986, 18, № 4

$\text{CH}_2\text{JH}^{2+}$

1985

Koch Wolfram,
Maqueir F., et al.

стремкн., Chinia, 1985, 39,
новообр. N 12, 376-384.
(однор.)

(ал. CH_n^{2+} ; III)

$^{13}\text{CH}_3\text{I}$

(D.M. 22 134)

1985

103: 131432k Laser-radiofrequency double-resonance spectroscopy of ^{13}C -iodomethane. Man, H. T.; Butcher, R. J. (Cavendish Lab., Cambridge, UK CB3 0HE). *J. Mol. Spectrosc.* 1985, 113(1), 54-62 (Eng.). Pure quadrupole resonances of the ^{127}I nucleus of $^{13}\text{CH}_3\text{I}$ were obsd. by using laser-radiofrequency double resonance. Quadrupole coupling consts. are reported for the ground, ν_3 , $2\nu_3$, ν_6 , $2\nu_6$, $\nu_3 + \nu_6$, and $2\nu_3 + \nu_6$ states. Smaller hyperfine consts. are also reported for the ground and ν_6 states.

CHEKMP
84 COKORO
FAGRELLHILL

c. a. 1985, 103, N16.

CH₃J

Он. № 22134

1985

З Б1306. Спектры двойного лазерно-радиочастотного резонанса для молекулы ¹³CH₃J. Laser-radiofrequency double-resonance spectroscopy of ¹³CH₃J. Ман Н.-Т., Butcher R. J. «J. Mol. Spectrosc.», 1985, 113, № 1, 54—62 (англ.)

Методом двойного ИК—РЧ-резонанса с использованием ¹²CO₂-¹³CO₂- и N₂O-лазеров и РЧ-клистронов с мощностью 1—10 Вт измерены частоты 90 переходов между подуровнями СTC уровней с различными *J* и *K* в основном колебат. состоянии и в возбужденных состояниях ν_3 , ν_6 , $2\nu_3$, $2\nu_6$, $\nu_3 + \nu_6$ и $2\nu_3 + \nu_6$ молекулы ¹³CH₃J; магн. СTC, связанная со спинами ядер ¹³C и H, не разрешена (точность измерений 30—100 кГц). Анализ спектра выполнен с учетом спин-вращат. взаимодействия и центробежной поправки к квадрупольному взаимодействию ядра йода. Определены значения по-

М.Н., Д.;

X. 1986, 19, № 3

стоянной квадрупольной связи ядра йода (eqQ) для всех перечисленных состояний, параметров центробежной поправки в квадрупольном взаимодействии и постоянных спин-вращат. взаимодействия для основного и возбужденного v_6 -состояния. Зависимость eqQ от кол. квантового числа v_3 очень слабая (около 0,1 МГц), а при возбуждении колебания v_6 eqQ изменяется от —1934,12 до —1941,29 МГц.

Е. В. Алиева

CH₃J

Октябрь 1985

1Л188. Спектроскопия лазерно-радиочастотного двойного резонанса молекулы ¹³CH₃J. Laser-radiofrequency double-resonance spectroscopy of ¹³CH₃J.
Ман Н.-Т., Witcher R. J. «J. Mol. Spectrosc.», 1985,
113, № 1, 54—62 (англ.)

Методом двойного ИК-РЧ-резонанса с использованием ¹²CO₂-¹³CO₂-N₂O-лазеров исследована квадрупольная СТС вращательных уровней основного и ряда возбужденных (вблизи 10 мкм) колебат. состояний молекулы ¹³CH₃J. Идентифицировано около 90 квадрупольных резонансов, относящихся к основному и возбужденным (v_3 , v_6 , $2v_3$, $2v_6$, v_3+v_6 , $2v_3+v_6$) состояниям. Определены значения постоянной квадрупольной связи ядра йода (eqQ) для всех указанных состояний, центробежных параметров квадрупольного взаимодействия и постоянных спин-вращательного взаимодействия для основного и для $v_6=1$ -состояния. Показано, что зависимость eqQ от квантового числа v_3 очень слабая, а при возбуждении колебаний v_6 eqQ изменяется от —1934,12 до —1941,29 МГц.

М. Р. Алиев

сф. 1986, 18, № 1

CH₃J+

DM 21782 1985.

18 Б1303. Анализ вращательной структуры перехода $\tilde{A}^2E_{1/2}(0,1,7) \leftarrow X^2E_{1/2}(0,0,0)$ иона CH_3J^+ . Rotational analysis of the $\tilde{A}^2E_{1/2}(0,1,7) \leftarrow X^2E_{1/2}(0,0,0)$ transition in CH_3J^+ . McLoughlin R. G., Morrison J. D., Smith D. L., Wahrhaftig A. L. «J. Chem. Phys.», 1985, 82, № 3, 1237—1241 (англ.)!

Выполнен теоретич. анализ частично разрешенной вращат. структуры перехода $\tilde{A}^2E_{1/2}(0,1,7) \leftarrow \tilde{X}^2E_{1/2}(0,0,0)$ фотодиссоциац. спектра молек. иона CH_3J^+ . Наблюдаемая серия полос отнесена к прогрессии Р-ветвей. На основании сравнения измеренного вращат. контура с вычисленным для случая Гунда (c) найдены значения вращат. постоянных возбужденного электронного состояния $A' = 5,07 \pm 0,05$, $B' = 0,1848 \pm 0,0005 \text{ см}^{-1}$ и вибронного углового момента $\zeta_e' = 0,5$. Показано, что случай Гунда (c) хорошо описывает как основное, так и возбужденное электронное состояния иона CH_3J^+ .

Е. В. Алиева

X. 1985, 19, N 18.

DM 21782

1985

CH₃ OT

Frausam-Crepp,
 $(A^2\Sigma_{1/2} - X^2E_{1/2})$

102: 140050r Rotational analysis of the $\bar{A}^2E_{1/2}(0,1,7) \leftarrow \bar{X}^2E_{1/2}(0,0,0)$ transition in iodomethane(1 \pm) ion. McLoughlin, Russell G.; Morrison, James D.; Smith, Dianne L.; Wahrhaftig, Austin L. (Dep. Phys. Chem., La Trobe Univ., Bundoora, 3083 Australia). *J. Chem. Phys.* 1985, 82(3), 1237-41 (Eng). A computer simulation of the partially resolved rotational structure obsd. in the photodissocn. spectrum of Mel^+ (I) was undertaken to det. the extent of rovibronic interaction in this polyat. ion. From a series of calcns., a set of rotational consts. was derived which give a simulated spectrum strongly resembling that obtained exptl. for the $\bar{A}^2E_{1/2}(0,1,7) \leftarrow \bar{X}^2E_{1/2}(0,0,0)$ band of I. The series of prominent peaks obsd. in the exptl. spectrum are reproduced in the simulated spectrum and are due to P branch progressions, within the q subbands, which nearly coincide in energy. The corresponding R branch lines are weak by comparison and are lost in the surrounding unresolved rotational lines. The encouraging fit obtained when Hund's case (c) coupling is assumed for the \bar{A} state is indicative of strong spin-orbit coupling in the \bar{A} state, caused by interaction between the A and B states of the ion. The rotational consts. obtained from the simulated spectrum are: $A' = 5.07 \pm 0.05 \text{ cm}^{-1}$, $B' = 0.1848 \pm 0.0005 \text{ cm}^{-1}$. The nonquantized component of electronic angular momentum along the symmetry axis for the \bar{A} state of I is $\xi_c = 0.5$ and the rotational temp. of the ions at the point of photon interaction is $350 \pm 50 \text{ K}$.

C.A. 1985, 102, N 16.

CH_3J^+

(Om. 21782) 1985

9 Д82. Вращательный анализ перехода $A^2E_{1/2}(0,1,7) \leftarrow X^2E_{1/2}(0,0,0)$ в CH_3J^+ . Rotational analysis of the $A^2E_{1/2}(0,1,7) \leftarrow X^2E_{1/2}(0,0,0)$ transition in CH_3J^+ . McLoughlin Russell G., Morrison James D., Smith Dianne L., Wahhaftig Austin L. «J. Chem. Phys.», 1985, 82, № 3, 1237—1241 (англ.)

Для исследования колебательно-вращательного взаимодействия в многоатомном ионе -метилюодида (CH_3J^+) проведено моделирование на ЭВМ частично разрешенной вращательной структуры, наблюдаемой в фотодиссоциационном спектре иона. Найденный в расчетах набор вращательных постоянных позволил получить моделированный спектр, близко приближающийся к наблюдаемому экспериментально для полосы $A^2E_{1/2}(0,1,7) \leftarrow X^2E_{1/2}(0,0,0)$. В моделированном спектре хорошо воспроизводятся линии P -ветви. Соответствующие «линии» R -ветви имеют слабую интенсивность по

III.11.

ф. 1985, 18, № 9.

сравнению с предыдущими и перекрываются окружающими неразрешенными вращательными линиями. Согласие с экспериментом получено в предположении связи, соответствующей случаю Хунда, для состояния \tilde{A} , что свидетельствует о сильной спин-орбитальной связи в этом состоянии, обусловленной взаимодействием между состояниями \tilde{A} и \tilde{B} иона. При моделировании найдены следующие значения вращательных постоянных $A_v' = 5,07 \pm 0,05$; $B_v' = 0,1848 \pm 0,0005$ см $^{-1}$. Неквантованная компонента электронного момента импульса вдоль оси симметрии для состояния \tilde{A} : $\zeta_e' = 0,5$. Вращательная т-ра ионов для точки взаимодействия с фотонами равна 350 ± 50 К.

Резюме



CH₃J

1985

19 Б1356.. Сверхтонкая магнитная структура и центробежное искажение в квадрупольных спектрах ¹²CH₃J и ¹³CH₃J. Magnetic hyperfine structure and centrifugal distortion in quadrupole spectra of ¹²CH₃J and ¹³CH₃J. Osipov B. D., Grabois M. N. «J. Mol. Spectrosc.», 1985, 111, № 2, 344—351 (англ.)

На уникальном спектрометре ВЧ-микроволнового двойного резонанса (Osipov B. D., Pis'ma JETP, 1977, 25, 14) с разрешением 1—2 кГц измерены квадрупольные спектры для вращат. переходов $J \leq 7$ ¹²CH₃J (I) и ¹³CH₃J (II) в основном колебат. состоянии. Магн. структура квадрупольных спектров проанализирована с учетом спин-спинового и спин-вращат. взаимодействий. Для I и II соотв. определены постоянные квадрупольного взаимодействия $eqQ_0 = -1934130,22$ (39) и $-1934232,71$ (34) кГц и центробежные поправки к ним, хорошо удовлетворяющие соотношениям, инвариантным относительно изотопич. замещения.

С. Н. Мурзин

(M·n, Pi)

X·1986, 19, n19

CH₃J

1985

11 Л167. Магнитная сверхтонкая структура и центробежная деформация в квадрупольных спектрах $^{12}\text{CH}_3\text{J}$ и $^{13}\text{CH}_3\text{J}$. Magnetic hyperfine structure and centrifugal distortion in quadrupole spectra of $^{12}\text{CH}_3\text{J}$ and $^{13}\text{CH}_3\text{J}$. Osipov B. D., Grabois Michael N. «J. Mol. Spectrosc.», 1985, 111, № 2, 344—351 (англ.)

Методом двойного радиочастотного-микроволн. резонанса получены квадрупольные спектры $^{12}\text{CH}_3\text{J}$ и $^{13}\text{CH}_3\text{J}$, в основном колебательном состоянии с разрешением 1—2 кГц. Разрешена магн. структура квадрупольных переходов. Приведены частоты линий и их отнесение. Описан использованный для анализа гамильтониан, включающий квадрупольные взаимодействия с учетом центробежного возмущения, спин-спиновые и спин-вращательные взаимодействия. В анализе использованы найденные ранее константы B_0 , D_J и D_{JK} $^{12}\text{CH}_3\text{J}$. Определены константы $^{13}\text{CH}_3\text{J}$, их величины хорошо удовлетворяют теоретич. изотопным соотношениям, М. В. Т.

(M.N.)

φ. 1986, 18, N 11.

12 CH₃g [DM-23507] 1985

13 CH₃g Osipov B.D., Brabois M.N.,

Chekan, J. Mol. Spectrosc., 1985,
M.N., III, N2, 344-351.

M.N.
CH₃TORRONE
CH₃YKAYA

СН₃J

1985

11 Л166. Квадрупольные спектры высокого разрешения и молекуллярные константы CH₃J и CH₃Br.
Осипов Б. Д., Грабойс М. Н. «Оптика и спектроскопия», 1985, 58, № 5, 1150—1152

Получены спектры двойного микроволново-радиочастотного резонанса CH₃J, CH₃⁷⁹Br и CH₃⁸¹Br с разрешением 1—4 кГц. Наблюдаются линии 36 квадрупольных переходов CH₃J и 11'—CH₃Br. По частотам линий определены константы молекул в основном состоянии. В гаммилтониане сверхтонкого расщепления кроме квадрупольных и магн. взаимодействий ядер J(Br) с полем молекулы учтены взаимодействия протонов с вращением, друг с другом и со спином ядра J(Br). Приведены выражения, описывающие эти взаимодействия. Точность найденных молекулярных констант на 1—2 порядка выше известных ранее, константы CH₃Br хорошо удовлетворяют изотопич. соотношениям.

М. В. Т.

(4) 18

cf. 1985, 18, N 11

CH_3I

1985

103: 76363m Quadrupole high-resolution spectra and molecular constants of methyl iodide and methyl bromide. Osipov, B. D.; Grabois, M. N. (USSR). *Opt. Spektrosk.* 1985, 58(5), 1150-2 (Russ). The hyperfine structure was studied of the rotational energy levels of MeI and MeBr. The quadrupole moments are given.

($\mu\text{-n.}$)

(H)₁₇ CH_3Br

C. A. 1985, 103, N 10:

CH_3Y

1985

Paso Risto.

Acta Univ. Ouluensis.,

pp. n., 12; 1985, A, N 168, 1-49.

(See. CH_3Br ; III)

CH_3J

1985

Santhanam V.,
Sobhanadri J.

Pachem
gunough.
Moderehm.

Pramana. J. Phys.,
1985, 24, N5, 737-741.

(See. CF_3J ; III)

CH₃J

1985

5 Б1190. Анализ экспериментов по фотодиссоциации ионов CH₃J⁺; приближенная интерпретация с помощью неэмпирических молекулярных расчетов, включая спин-орбитальное взаимодействие. Analysis of photodissociation experiments on CH₃J⁺ ions; tentative interpretation by means of ab initio molecular calculations includins spin-orbit coupling. Tadjeddine M., Flament J. P., Teichtell C. «X Int. Symp. Mol. Beams, Cannes, June 3—7, 1985». S. I., [1985], V—M1/V—M4 (англ.)

M.J.

Методом ССП МО ЛКАО в приближении релятивистических остовных Пт с учетом спин-орбитального взаимодействия рассчитаны потенциальные кривые, соотв. каналам диссоциации иона CH₃J⁺ на CH₃+J(³P₁, ³P₀ или ³P₂) и CH₃⁺+J (²P_{1/2} или ²P_{3/2}). На оснований результатов расчетов интерпретированы эксперименты по фотодиссоциации CH₃J⁺. Сделан вывод, что при фотодиссоциации поглощение фотона происходит меж-

X. 1988, 19, N⁵

ду первыми двумя состояниями $E_{1/2}$, к-рые являются чистыми по симметрии (E или A_1). При этом момент перехода перпендикулярен главной оси. Фотонный переход сопровождается внутр. конверсией или преддиссоциацией в состоянии $1\ E_{1/2}$ при расстоянии $R(\text{C}-\text{J}) < 3,25$ А. Во время диссоциации ион CH_3J^+ находится в состоянии $1\ E_{1/2}$, доминирующая симметрия к-рого изменяется от X^2E до A^2A_1 при $R > 5$ А. И. А. Тополь

Сфз 9

1985

22 Б4011. Предиссоциация заданных колебательных состояний CH_3J при возбуждении в области 193,7 нм.
Predissoociation of specific vibrational states in CH_3J upon excitation around 193.3 nm. Veen G. N. A. van, Baller T., de Vries A. E. «Chem. Phys.», 1985, 97, № 1, 179—186 (англ.)

Исследован фотофрагментаций спектр молекулы CH_3J и времяпролетный спектр радикала CH_3 при фотолизе в области длин волн $\lambda \approx 193,7$ нм. Эксперименты проведены в условиях пересечения пучка CH_3J лучом лазера и детектированием CH_3 в направлении, перпендикулярном к плоскости пучка и луча. Зависимость интенсивности рассеяния от поляризации света указывает на перпендикулярный характер полосы поглощения, угловая зависимость к-кой (имеется в виду угол, фиксирующий направление вектора поляризации к пучку) размыта вследствие вращения диссоциирующей молекулы. Конечное время жизни при фотодиссоциации связано с

периссоциа-
ции заданных
колебательных
состояний

X. 1985, 19, N 22.

эффектом предиссоциации: молекула вначале возбуждается в одно из связанных состояний терма ($E, 1$) {2}, а затем переходит на отталкиват. терм ($E, 1$), коррелирующий с основным электронным состоянием CH_3 и возбужденным электронным состоянием $J(^2P_{3/2})$. Время-пролетный спектр CH_3 , изученный с использованием ионизационного детектора, характеризуется бимодальным распределением с максимумами неплоского колебания CH_3 при квантовых числах $v=2$ и $v=5,6$. Полученные результаты удовлетворительно объясняются в рамках франк-кондоновского приближения в предположении одного активного (зонтичного) колебания CH_3 .

Е. Е. Никитин

CF₃J

1985

7 Л189. Лазерные спектры высокого разрешения полосы v_4 в молекулах $^{12}\text{CF}_3\text{J}$ и $^{13}\text{CF}_3\text{J}$. High-resolution diode laser spectra of the v_4 mode of $^{12}\text{CF}_3\text{J}$ and $^{13}\text{CF}_3\text{J}$. Wahi P. K., Job V. A., Kartha V. B. «J. Mol. Spectrosc.», 1985, 114, № 2, 305—320 (англ.)

При т-ре 163 К с помощью лазерного диодного спектрометра получены спектры поглощения полосы v_4 (1190 см^{-1}), в естественных образцах CF_3J (содержание изотопов $^{12}\text{C}/^{13}\text{C}$ 989/11). Измерения проведены в кювете с длиной оптич. пути 4,5 м при давлении 0,1 мм рт. ст. Проведен анализ положения ~ 1200 линий, образующих Р и R ветви колебательно-вращательной полосы v_4 . Анализ существенно упростился благодаря проведению измерений при низких т-рах. С использованием метода наименьших квадратов проведено точное определение вращательных постоянных. К. Э. М.

III. 1.

90 1986, 18, N 7.

CH₃J

1985

10 Б1228. Статистический анализ полос ν_2 и ν_3 метилюодида. A statistical analysis of the ν_2 and ν_3 modes of methyl iodide. Wilde R. E., Zyung T. «Mol. Phys.», 1985, 55, № 4, 809—826 (англ.)

Измерены контуры $I(\omega)$ полос ν_2 и ν_3 молекулы CH₃J в жидк. фазе при различных т-рах. Из нормированной разности $I_{vv}(\omega) - \frac{4}{3}I_{vn}(\omega)$ интенсивностей поляризованного (vv) и деполяризованного КР фурье — преобразованием найдены соотв. автокорреляц. ф-ции. Измерения и анализ выполнены также для р-ров CH₃J в CD₃J, CH₃F, CS₂ и н-пентане. Определены вторые моменты полос M_2 , к-рые зависят от т-ры, но эта зависимость

спектр, ν_i

д. 1986, 19, N 10

слабее теоретически ожидаемой. Проведен статистич. анализ корреляционных ф-ций и показано, что 1) процессы переориентации молекул и колебат. дефазировки статистически зависимы, 2) резонансные $v-v$ -процессы уширяют обе полосы ν_2 и ν_3 и дают существенный вклад в M_2 , 3) вклад дипольных взаимодействий в M_2 составляет 15÷30%, 4) вклад статич. неоднородности в M_2 составляет 8—10 см^{-2} и не зависит от температуры.

Е. В. Алиева

CH₃J

1985

Г 7 Л 167. Микроволновые измерения и расчеты эффектов квадрупольной связи в молекулах CH₃J и CD₃J. Microwave measurements and calculations of quadrupole coupling effects in CH₃J and CD₃J. Young S. H., Kukolich S. G. «J. Mol. Spectrosc.», 1985, 114, № 2, 483—493 (англ.)

С помощью спектрометра со штарковской модуляцией исследована ядерная СТС линий вращательных переходов с $J=1 \leftarrow 0$, $2 \leftarrow 1$ ($K=0$) и $2 \leftarrow 1$ ($K=1$) молекул CH₃J вблизи 15 и 30 ГГц и CD₃J вблизи 12 и 24 ГГц в основном колебат. состоянии. Анализ спектров выполнен с учетом квадрупольной связи и спин-вращательного взаимодействия ядра йода и центробежных поправок к энергии квадрупольной связи. Рассмотрено вычисление констант, характеризующих зависимость постоянной квадрупольной связи eqQ от вращательного состояния методом возмущений второго порядка. Из измеренных значений этих констант вычислены част-

ll-1

φ. 1986, 18, N 7.

ные производные компонентов тензора градиентов электрич. поля $q_{\alpha\beta}$ у ядра йода по внутренним колебат. координатам. Полученные значения $\partial q_{\alpha\alpha}/\partial R_1$ ($\alpha = x, y, z$; R_1 — координата растяжения связи O—J) на 1—3 порядка больше значений остальных производных.

М. Р. Алиев



CH₃J

от 23.2.09

1985

15 Б1246. Микроволновые измерения и расчет эффектов квадрупольного взаимодействия в CH₃I и CDJ₃. Microwave measurements and calculations of quadrupole coupling effects in CH₃I and CD₃J. Young S. H., Kukolich S. G. «J. Mol. Spectrosc.», 1985, 114, № 2, 483—493 (англ.)

На штарковском микроволновом (МВ) спектрометре в обл. частот 11—31 ГГц с точностью 10 кГц измерена СТС вращат. переходов $J=1-0, K=0; J=2-1, K=0$ и $J=2-1, K=1$ CH₃I (I) и CD₃J (II) в основном колебат. состоянии. Анализ спектров выполнен с использованием уточненного гамильтониана Хоугена с включением эффектов квартичного центробежного искажения, квадрупольного и спин-вращат. взаимодействий с учетом недиагональных членов и центробежных поправок к сверхтонкому взаимодействию. Для I и II соотв. определены вращат. постоянные $B = 7501,274(2)$ и $6040,298(7)$ МГц и постоянные квадрупольного взаимодействия $eQq_0 = -1934,11(2)$ и $-1928,95(4)$ МГц.

С. Н. Мурзин

и. п., гелиево,
структур

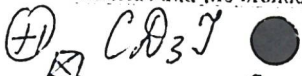
X. 1986, 19, N 15.

CH_3I

On 23209

1985

104-58660x Microwave measurements and calculations of quadrupole coupling effects in methyl iodide and methyl-d₃ iodide. Young, S. H.; Kuklich, S. G. (Dep. Chem., Univ. Arizona, Tucson, AZ 85721 USA). *J. Mol. Spectrosc.* 1985, 114(2), 483-93 (Eng). The transitions $J = 1 - 0, K = 0; J = 2 - 1, K = 0$; and $J = 2 \leftrightarrow 1, K = 1$ of MeI and CD₃I were measured by using a Stark-modulated microwave spectrometer. Quadrupole coupling strengths were analyzed to det. variations with D substitution on the Me group and variations with centrifugal distortion. Quadrupole coupling strengths were described by the expression $cQq_0 + aJ(J+1) + bK^2 + cK^4/J(J+1)$. Explicit expressions are given for a, b, and c for a systematic top in terms of mol. parameters. For MeI, $cQq_0 = -1934.11 \pm 0.02$ MHz and for CD₃I $cQq_0 = -1928.95 \pm 0.04$ MHz. Rotational consts. obtained are $B(\text{MeI}) = 7501.274 \pm 0.002$ MHz and $B(\text{CD}_3\text{I}) = 6040.298 \pm 0.007$ MHz. The obsev. fractional change in halogen quadrupole coupling of 0.0027 is related to previous results for Me chloride and Me bromide.



C.A. 1986, 104, N 8

$\text{CH}_3\text{ }g$

[Dm. 25683]

1986

Anttila R., Paso R.,
Guelachvili G.,

(D₄) J. Mol. Spectrosc., 1986,
119, N1, 190-200.

CH_3I

1986

105: 12323.4 A high-resolution infrared study of the ν_4 band of iodomethane. Anttila, R.; Paso, R.; Guelachvili, G. (Dep. Phys., Univ. Oulu, SF-90570 Oulu, Finland). *J. Mol. Spectrosc.* 1986, 119(1), 190-200 (Eng). The IR spectrum of the ν_4 band of MeI at $\sim 3060 \text{ cm}^{-1}$ was studied at a resoln. of $5.4 \times 10^{-3} \text{ cm}^{-1}$. About 1850 transitions were assigned. The K range was $K\Delta K = -7+9$ and the highest J values were ~ 75 . The anomalous rotational structures obsd. in the subbands RQ_6 and $^RQ_5-^RQ_7$ were explained as a consequence of Coriolis and Fermi resonances with combination levels. The std. deviation of the least-squares fit with 19 parameters was 0.00083 cm^{-1} . The hot band $\nu_3 + \nu_4 - \nu_3$ was also studied.

(KK CREEPS,
 ν_4)

C.A.1986, 105, N 14

СЧЗУ

1986

| 2 Д66. Ядерная сверхтонкая структура вращательных уровней молекул, содержащих три тождественных дейтрона. Алиев М. Р., Грабойс М. Н. «Оптика и спектроскопия», 1986, 61, № 4, 740—744

Получены общие выражения для матричных элементов полного гамильтониана сверхтонких взаимодействий аксиально-симметричной молекулы, содержащей 3 квадрупольных ядра со спином 1 вне оси симметрии и одно квадрупольное ядро с произвольным спином на оси симметрии. Выведены ф-лы для всех приведенных матричных элементов. Результаты применены к анализу сверхтонкой структуры квадрупольного спектра молекулы CD_3J , измеренного в диапазоне 95—500 МГц. Найден полный набор констант сверхтонких взаимодействий, удовлетворяющих — изотопич. соотношениям.

Резюме

оф. 1987, 18, № 2

CH₃I

1986

105: 161265s Spin uncoupling in the 6s Rydberg states of methyl iodide. Rotational subband structure in one-photon absorption. Dagata, J. A.; Felps, W. S.; McGlynn, S. P. (Dep. Chem., Louisiana State Univ., Baton Rouge, LA 70803 USA). *J. Chem. Phys.*, 1986, 85(5), 2483-8 (Eng). Mol. consts. of electronic states, all origins as well as some vibronic bands, derived from the lowest-energy Rydberg configuration of MeI, are reported. Values of the internal angular momentum parameter ξ_{eff} , which is a measure of the strength of Coriolis and vibronic coupling, indicate that the spin of the Rydberg electron is effectively uncoupled from the mol. axis in the pure electronic states and that dynamic interactions between elec., rotational, and vibrational motions completely quench the internal angular momentum in some vibronic levels. The parameters ξ_{eff} , as obtained from 1-photon absorption spectra, are approx. those of the alternate levels, $^2E_{3/2}$ and $^2E_{1/2}$, of the MeI⁺ ion-core ground configuration X.

(Puglisi. COCM)

c.A.1986, 105, N/8

$\text{C}_2\text{H}(\text{D})^+$

1986

Fulara Jar, Klapstein
Dieter, et al.

J. Phys. Chem., 1986,
90, N10, 2061-2067.

($\text{cu. BrC}_2\text{H}(\text{D})^+;\underline{\text{II}}$)

CH₃g

(om. 24406)

1986

Fonzález M., Sayo's R.,

KP. Mex.
Facrem

Chem. Phys., 1986, 104,
N 1, 49 - 56.

CH₃J

1986

6 Б1263. Эмиссионная спектроскопия фотодиссоциирующих молекул CH₃J и CD₃J. Emission spectroscopy of photodissociating CH₃J and CD₃J. Hale Michael O., Galica Gary E., Glogover Stella G., Kinsey James L. «J. Phys. Chem.», 1986, 90, № 21, 4997—5000 (англ.)

Исследованы спектры флуоресценции молекул CH₃J и CD₃J, возбуждаемые 4-й гармоникой Nd : YAG-лазера. Идентифицирована колебат. структура спектров, в к-рой преобладают серии полос $n\nu_3$ вал. кол. C—J-связи, но проявляется также полоса составного колебания $\nu_2 + \nu_5$. Вычислено распределение интенсивности полос для диссоциирующего по координате C—J-связи возбужденного состояния и получено удовлетворит. согласие с экспериментом. Указано на необходимость учета резонанса Ферми между колебаниями $2\nu_3$ и ν_2 .

Е. В. Алиева

X. 1987, 19, N6

⊗ (7)

CH₃J

1986

2 Д218. Диссоциативное электронное прилипание к CF₃J. Пример полностью нестатистического распределения избыточной энергии. Dissociative electron attachment to CF₃J: An example of a completely unbalanced excess energy distribution. Непі Martin, Illenberger Eugen. «Chem. Phys. Lett.», 1986, 131, № 4—5, 314—318 (англ.)

Диссоциативное прилипание электронов к CF₃J исследовано с использованием квадрупольного масс-анализатора и времяпролетной методики для измерений распределений ионов по поступательной энергии. Наблюдались отрицат. ионы J⁻, F⁻, CF₃⁻ и FJ⁻. Анализ распределений ионов по поступательным энергиям показывает, что в случае CF₃⁻ вся избыточная энергия возбуждения передается продуктам диссоциации CF⁻ и J. Образование других ионов происходит при диссоциации с участием большого числа степеней свободы в перераспределении энергии. По эксперим. данным получена оценка для сродства к электрону A(FJ) = 1,0 ± 0,2 эВ.

Г. В. Караваевцев

с/1987, 18, № 2

CH₃J

1986

У 12 Б1391. Исследование высокоразрешенного инфракрасного спектра полосы ν_4 молекулы CH₃J. A high resolution infrared study of the ν_4 band of CH₃J. Päso R., Anttila R., Guelachvili G. «Proc. 9th Int. Conf. High Resolut. Infrared Spectrosc., Liblice near Prague, Sept. 8—12, 1986. Progr. Sess. Abstr. Pap.» Prague, s. a., 74 (англ.)

Исследован ИК-спектр поглощения с разрешением 0,0054 см⁻¹ полосы ν_4 молекулы CH₃J в обл. 3060 см⁻¹. Отнесено 1850 переходов, включая 350 линий типа Q_K (*I*). Изучена область значений *K* от -7 до +9. Наибольшее значение *I* составило 75. Обсуждены особенности исследованной системы (аномальная вращательная структура, кориолисово взаимодействие, резонанс Ферми, горячие переходы и т. д.). Указанный набор переходов обработан по МНК с использованием 19 свободных параметров.

Ю. Н. Панченко

X. 1987, 19, N 12

CH₃J

1986

№ 17 Б1257. Абсолютные интенсивности комбинационного рассеяния CH₃J, CH₂DJ, CHD₂J и CD₃J. Экспериментальные результаты. Absolute Raman intensities of CH₃J, CH₂DJ, CHD₂J and CD₃J. Experimental results. Santos J., Orza J. M. «J. Mol. Struct.», 1986, 142, 205—208 (англ.)

Определены абр. интенсивности и степени деполяризации линий в спектрах КР (λ 488,0 нм) газ. CH₃J (I), CH₂DJ (II), CHD₂J (III) и CD₃J (IV). Этalonом при измерении интенсивностей служила интенсивность Q-ветви полосы 2331 cm^{-1} N₂, точность измерений ~10%. Оценены значения следа (α^{12}) и анизотропии (γ^{12}) тензора КР для I—IV.

А. В. Бобров

(43) 18

X.1986, 19, № 17

CH₃J

1986

13 Б4427. Конкуренция между фотодиссоциацией и фотоионизацией в метилиодиде. Competition between photodissociation and photoionization in methyl iodide. Tsukiyama K., Katz B., Bersohn R. «Chem. Phys. Lett.», 1986, 124, № 4, 309—312 (англ.)

Показано, что для обнаружения ридберговских состояний $5p\pi \rightarrow 6p$ в молекуле CH₃J (I) или CD₃J (II) можно использовать их двухфотонное возбуждение в обл. 307—343 нм сфокусированным светом перестраиваемых лазеров на красителе при наблюдении сигнала Фл в вакуумной УФ-обл. от нейтр. фрагментов (возбужденных атомов J*) вследствие поглощения 3-го фотона. Такая же диссоциация на нейтр. фрагменты с отщеплением J* наблюдается и при действии на I монохроматич. света 118 нм (энергия фотонов 10,5 эВ превышает Пт ионизации I, равный 9,54 эВ). Таким образом, в молекулах I и II с полной энергией выше Пт ионизации диссоциации на нейтр. фрагменты CH₃+ + J* ($6^3P_{3/2}$ или $6^4P_{5/2}$) конкурирует с ионизацией. Отмечено равенство интенсивностей испускания света

(9)

(71) 18

ж. 1986, 19, N 13

CH₃J

в переходах $A \rightarrow X$ для CH и CD. В то же время интенсивность Фл атомов J^* , полученных из II в трехфотонном процессе, в ~ 10 раз выше по сравнению с атомами J^* из I. Это различие снижается до 2 раз для однофотонного процесса (свет 118 нм). В. Е. Скурат

бате
это

CH₃ Y

Lau. 25156

1986

Tate R., Driscoll D.C.,
et al.

romo-
adscopis.
cnekrn

Z. Naturforsch. 1986,
A41, N9, 1091 - 1093.

CH_3I^+

1986

104: 98714z Vibrational analysis of the $\tilde{A}-\tilde{X}$ photodissociation spectrum of methyl iodide. Woodward, Anne M.; Colson, Steven D.; Chupka, William A.; White, Michael G. (Sterling Chem. Lab., Yale Univ., New Haven, CT 06511 USA). *J. Phys. Chem.* 1986, 90(2), 274-8 (Eng). Me iodide cations are prep'd. in the $^2\Pi_{1/2}$ and $^2\Pi_{3/2}$ spin states by multiphoton ionization. Resonant enhancement via low-lying Rydberg states is used to produce ions in a controlled, narrow distribution of vibrational levels as shown by the photoelectron spectra obtained at the selected ionization wavelengths. The photodissocn. spectra of CH_3I^+ and CD_3I^+ are obtained in a time-of-flight mass spectrometer and analyzed to obtain the vibrational consts. for \tilde{X} and \tilde{A} states and the spin-orbit splitting of the \tilde{X} state.

M.N. Xu $\tilde{\text{A}}$

CO CM ,

фотомтн. checkup

CH_3I

C.A. 1986, 104, N 12

CH₃J⁺

1986

8 Л315. Колебательный анализ фотодиссоциационного спектра перехода A←X иона CH₃J⁺. Vibrational analysis of the A←X photodissociation spectrum of CH₃J⁺. Woodward Anne M., Colson Steven D., Chupka William A., White Michael G. «J. Phys. Chem.», 1986, 90, № 2, 274—278 (англ.)

С использованием масс-спектрометрич. метода детектирования заряженных фрагментов получены фотодиссоциационные спектры перехода A←X ионов CH₃J и CD₃J. Ионы образовывались в заданных колебательных уровнях состояний ²P_{1/2} и ²P_{3/2} в процессе резонансно усиленной лазерной трехфотонной ионизации. Фотодиссоциационные спектры измерялись при сканировании частоты излучения фотолизирующего лазера. Идентификация электронно-колебательных состояний иона осуществлялась по спектрам кинетич. энергий фотоэлектронов, образующихся в процессе многофотонной ионизации. Определены колебательные постоянные ионов в состояниях X и A, а также величина спин-орбитального расщепления в состоянии X. В. А. Елохин

(д.н.)

cb. 1986, 18, N 8

$\text{CH}_3\text{I}(\alpha)$

1986

106: 128255m Raman study of liquid methyl iodide and methyl fluoride. Zyung, Taehyoung (Texas Tech Univ., Lubbock, TX USA). 1986. 141 pp. (Eng). Avail. Univ. Microfilms Int., Order No. DÀ8627687. From *Diss. Abstr. Int. B* 1987, 47(8), 3376.

(CKP)

① ~~CH₃I~~ CH₃F

C. A. 1987, 106, N 16.

CH₃J

1986

7 Л 193. Полный среднеквадратичный анализ данных об основной полосе $v_5\text{CH}_3\text{J}$, полученных методом лазерной спектроскопии высокого разрешения. A complete least-squares analysis of a high-resolution laser spectroscopic study of $\text{CH}_3\text{J}v_5$ fundamental. Zhao Yao, Shen Zhiye, Zhu Qingshi, Zhang Cunhao. «J. Mol. Specrosc.», 1986, 115, № 1, 34—46 (англ.)

Методом диодно-лазерной спектроскопии в области 1517—1418 см⁻¹ исследована структура колебательно-вращательной полосы $v_5\text{CH}_3\text{J}$. С разрешением 0,002 см⁻¹ и точностью 0,001 см⁻¹ измерены положения ~460 вращательных линий для 10 подполос Q -ветви v_5 . В приближении колебательно-вращательного гамильтониана, учитывавшего резонансные взаимодействия типа Ферми и Кориолиса между v_5 и v_3+v_6 , рассчитаны значения частот вращательных линий; причем, при диагонализации гамильтониана использован метод наименьших квадратов. Представлено сравнение рассчитанных частот с наблюдаемыми. Определены параметры резонансных возмущений и найдены уточненные значения молекулярных постоянных CH_3J в колебательном состоянии $v_5=1$.

В. К.

оф 1986, 18, № 7

CH_3O^+

(Om. 25824)

1986

creeps,
consists
areally

Woodward A.M., Colson S.D.;
Chupka W.A.,

J. Phys. Chem., 1986,
90, N2, 274-278.

СН₃ І

от 23.132

1986

13 Б1254. Полный анализ методом наименьших квадратов результатов исследования фундаментальной полосы ν_3 CH₃I методом лазерной спектроскопии высокого разрешения. A complete least-squares analysis of a high-resolution laser spectroscopic study of CH₃I ν_5 fundamental. Zhao Yao, Shen Zhiye, Zhu Qingshi, Zhang Cunhao. «J. Mol. Spectrosc.», 1986, 115, № 1, 34—46 (англ.)

На полупроводниковом лазерном спектрометре с высоким разрешением ($0,002 \text{ см}^{-1}$) измерена вращат. структура (10 Q-подветвей, $J \leq 74$) полосы ν_5 ($1418 - 1517 \text{ см}^{-1}$) молекулы CH₃I ($l = 12 \text{ м}, P = 0,2 \text{ мм}$). Анализ результатов выполнен с учетом резонанса Ферми и кориолисовых взаимодействий между полосами ν_5 и $\nu_3 + \nu_6$, ν_2 методом МНК путем диагонализации полной матрицы H . Молек. постоянные, возмущающих уровней фиксировались. Получены значения вращат. постоянных, постоянных l -удвоения и др. спектроскопич. постоянных для состояния $\nu_5 = 1$.

В. М. Ковба

Х. 1986, 19, N 13

CH_3I

1986

(On. 23132)

(D₅)

104: 98387v A complete least-squares analysis of a high-resolution laser spectroscopic study of methyl iodide vs fundamental. Zhao, Yao; Shen, Zhiye; Zhu, Qingshi; Zhang, Cunhao (Dalian Inst. Chem. Phys., Chin. Acad. Sci., Dalian, Peop. Rep. China). *J. Mol. Spectrosc.* 1986, 115(1), 34-46 (Eng). The high-resoln. diode laser spectra of 10 sub-Q-branches of the MeI vs fundamental were recorded. A least-squares anal. was carried out by diagonalizing the complete *H* matrix for the energy levels. A set of improved band consts. and interaction parameters were obtained.

C.A. 1986, 104, N 12

CH_3Jd^+

[Om. d77450]

1987

Curtis J.M., Brenton A.G.,
et al.,

CREAMR

Chem. Phys., 1987, 117, N2,
325-339.

Translational Energy Spectroscopy

of long-lived dication of
methyl iodide.



CH₃ O(α)

(OM-260dd)

1987

Furushi K., Fukuda T., Kimura
et al. et al.,

Pawah.
etekimp

J. Raman Spectrosc., 1987,
18, N1, 47-52.

CH₃J

1987

106: 128228e Rotational analysis and Interaction mechanism of the 2020 to 2440 cm⁻¹ infrared spectrum of Iodomethane. Lattanzi, F.; Di Lauro, C.; Guelachvili, G. (Ist. Chim. Farm., Univ. Napoli, I-80138 Naples, Italy). *Mol. Phys.* 1987, 60(1), 33-43 (Eng). The vibration-rotation spectrum of MeI at 2020-2440 cm⁻¹, consists of the absorption of the perpendicular system $\nu_2 + \nu_6(E)$, $\nu_5 + \nu_6(E)$, $\nu_3 + 2\nu_6(E)$. The last 2 bands form a strongly coupled Fermi dyad with crossing at $K' = 4$ in the (+l) stack of levels. Evidence was found for a z-axis Coriolis-type contribution to their matrix elements, linear in K and with opposite signs in the (+l) and (-l) series. The x - y Coriolis interaction of $\nu_2 + \nu_6(E)$ with all components of $\nu_5 + \nu_6(A_1 + A_2 + E)$ occurs as usual in Me halides. The spectrum does not exhibit any direct absorption to the parallel system $\nu_5 + \nu_6(A_1 + A_2)$, $\nu_3 + 2\nu_6(A_1)$ and $\nu_2 + 2\nu_3(A_1)$, whose presence is revealed by extensive perturbations of the perpendicular $\nu_5 + \nu_6$, $\nu_3 + 2\nu_6$ system, mostly by $l(2, -1)$ interactions, generating anomalous rotational patterns in a wide $K''\Delta K$ range. Accurate values of the vibration-rotation parameters of the perpendicular bands were detd. by a proper use of the available data.

(ν_i)

C. A. 1987, 106, N 16.

CH_3J

1987

Schreider Winfried,
Thiel Walter.

Ccl.
noceer.,
Ji;

J. Chem. Phys. 1987,
86(2), 923-36.

(Ccl. H_3CF ; iii)

CH₃J

ОТ 27.9.80 1987

7 Б1083. Неэмпирический расчет спин-орбитального взаимодействия в основном состоянии CH₃J. Non-empirical spin-orbit calculation of the CH₃J ground state.
Tadjeddine M., Flament J. P., Teichteil C. «Chem. Phys.», 1987, 118, № 1, 45—55 (англ.)

Ограничением методом конфигурац. взаимодействия с учетом спин-орбитального взаимодействия рассчитаны потенциальные кривые связи C—J молекулы CH₃J в двух низших электронных состояниях. Использовано приближение релятивистского эффективного остоянного Пт. Отбор конфигураций осуществлен по теории возмущений. Оператор спин-орбитального взаимодействия диагонализовали в построенном ограниченном конфигурац. базисе. При каждом из заданных значений длины связи C—J в диапазоне от 1,8 до 6 Å оптимизировались длины связи CH и угол HСJ. Рассчитанная энергия диссоциации CH₃J на фрагменты CH₃(²A₂'') + J(²P_{3/2}) составила 2,163 эВ (эксперим. оценка 2,31—2,33 эВ). Энергия диссоциации CH₃J на фрагменты CH₃(²A₂'') + (²P_{1/2}) составила 3,09 эВ. И. А. Тополь

(М.Н.)

Х. 1988, 19, № 7

CH₃J

0727980

1987

! 5 Д118. Неэмпирический расчет основного состояния CH₃J с учетом спин-орбитального взаимодействия. Non-empirical spin—orbit calculation of the CH₃I ground state. Tadjeddine M., Flament J. P., Teichteil C. «Chem. Phys.», 1987, 118, № 1, 45—55 (англ.)

Неэмпирическим релятив. методом ССП МО ЛКАО с учетом спин-орбитального взаимодействия с помощью эффективного гамильтониана с учетом КВ и с использованием спин-орбитального псевдопотенциала для атома J и псевдопотенциала Дюрана для атомов C и J исследовано электронное строение CH₃J в низших состояниях, коррелирующих с диссоциационным пределом CH₃-(²A₂''') + J(²P_{3/2} или ²P_{1/2}). Приведены потенц. кривые как ф-ции расстояния C—J. Энергии диссоциации с образованием J(²P_{3/2} и ²P_{1/2}) равны 2,163 и 3,094 эВ (эксперим. значения 2,312 и 2,33). В. Л. Лебедев

М.Л.

φ. 1988, 18, N5

CH₃I

(Mr. 27980) 1987

108: 13133u Non-empirical spin-orbit calculation of the methyl iodide ground state. Tadjeddine, M.; Flament, J. P.; Teichteil, C. (Dep. Chim., Ec. Polytech., 91128 Palaiseau, Fr.). *Chem. Phys.* 1987, 118(1), 45-55 (Eng). The spin-orbit coupling of mol. states of MeI was introduced through an effective Hamiltonian and with pseudo-potentials (CIPSO algorithm). Results are presented for the 1st states of MeI which were correlated to the $\text{Me}({}^2\text{A}''_2) + \text{I}({}^2\text{P}_{3/2}$ or ${}^2\text{P}_{1/2}$) dissociation limits. The dissociation energy for MeI is in agreement with observation.

mearem.
pacem. Do

c.A.1988, 108, N2

CH_3I^+

Om. 27945 1987

108: 29285f Mass-selected molecular ion spectra: (1 + 1)-photodissociation spectroscopy of iodomethane (1^+) and iodomethane-d₃ (1^+) (CH_3I^+ and CD_3I^+). Weinkauf, R.; Walter, K.; Boesl, U.; Schlag, E. W. (Inst. Phys. Theor. Chem., Tech. Univ. Muenchen, D-8046 Garching, Fed. Rep. Ger.). *Chem. Phys. Lett.* 1987, 141(4), 267-76 (Eng). The first well resolved (1 + 1)-photodissocn. spectra of mol. ions are presented. By sepg. the spectroscopic step (first photon) and the dissociation step (second photon) the accessible spectral region of CH_3I^+ and CD_3I^+ considerably. The ions are prep'd. in the vibrationless ground state by multiphoton ionization in a supersonic mol. beam. A new detection technique is presented with high discrimination between wanted and unwanted ionic species. Furthermore, another new technique for unimol. decay measurements delivers useful information for the assignment of the ion spectra. An improved assignment for CH_3I^+ and CD_3I^+ was found with consequences for mol. consts.

M.A.

(4) (X)

C.A. 1988, 108, N.Y



CD_3I^+

CH₃J

от 27.1.77 1987

12 Л117. Вращательные постоянные метиляодида.
 The rotational constants of methyl iodide. Wlodarczak G., Boucher D., Bocquet R., Demaison J. «J. Mol. Spectrosc.», 1987, 124, № 1, 53—65 (англ.)

В диапазоне 120÷1000 ГГц исследованы МВ-спектры молекул CH₃J, ¹³CH₃J и CD₃J. Идентифицированы линии вращательных переходов с $J \leq 64$ и их квадрупольная СТС в основном колебательном состоянии, а в случае молекулы CH₃J еще и в возбужденных колебательных состояниях с $v_3 = 1$ и 2 и $v_6 = 1$. Анализ спектров выполнен совместно с литературными данными по МВ- и ИК-спектрам и определены значения вращательных постоянных, постоянных квартичного и секстичного центробежного искажения, постоянных кориолисова взаимодействия 1-го и 3-го порядков, параметров *l*-резонанса и постоянных квадрупольной связи и спин-вращательного взаимодействия ядра йода. Не определяемые по раз-

М.Л.

(+)

ф. 1987, 18, N 12



CH₃J

решенным переходам постоянные A и D_k вычислены с использованием правил сумм для кориолисовых постоянных η_j и η_k и ИК-данных.

М. Р. Алиев

CH₃J

от 27.17.7 1987

1) 24 Б1271. Вращательные постоянные иодистого метила. The rotational constants of methyl iodide. Włodarczak G., Boucher D., Bocquet R., Demaison J. «J. Mol. Spectrosc.», 1987, 124, № 1, 53—65 (англ.)

На супергетеродинном субмиллиметровом спектрометре в обл. частот 120—300 ГГц с точностью 30—300 кГц измерены вращат. спектры трех изотопич. образцов иодистого метила, CH₃J (I), ¹³CH₃J (II) и CD₃J (III), в основном колебат. состояниях I в возбужденных колебат. состояниях $v_3=1, 2$ и $v_6=1$. Анализ спектров выполнен с учетом квартичного и секстичного центробежного искажения, ядерного квадрупольного и спин-вращательного взаимодействий. С учетом микроволновых и миллиметровых эксперим. данных для I, II и III в основном состоянии определены уточненные значения вращат. постоянных, соотв., $B=7501,2757456(210)$, $7119,04685(28)$ и $6040,29728(38)$ МГц, центробежных постоянных и постоянных сверхтонкой структуры. Уточнены молек. параметры для полосы v_6 . С. Н. Мурзин

М.Н.

(+)
⊗

X.1987, 19, №24

CD₃J

CH_3I

(On 27177)

1987

107: 66932q The rotational constants of methyl iodide. Włodarczak, G.; Boucher, D.; Bocquet, R.; Demaison, J. (Lab. Spectrosc. Hertzienne, Univ. Lille Flandres Artois, 59655 Villeneuve d'Ascq, Fr.). *J. Mol. Spectrosc.* 1987, 124(1), 53-65 (Eng). The rotational spectra of $\text{MeI}(\nu = 0; \nu_3 = 1; \nu_3 = 2; \nu_6 = 1)$, $^{13}\text{CH}_3\text{T}$ ($\nu = 0$), and CD_3I ($\nu = 0$) were obsd. in the sub-mm-wave region. These data were combined with the microwave and mm-wave measurements to det. with high accuracy the rotational and centrifugal distortion consts. An overall fit including rotational data and IR laser measurements yielded a set of mol. parameters for the ν_6 band of MeI .

ν_6 , f. augan.
Gremp

C.A. 1987, 107, N.8

$\text{CH}_3\gamma$

(Om. 31342)

1988

Continetti R.E., Bal-
ko B.A. et al.,

phonony

J. Chem. Phys. 1988,
89, N5, 3383-3384.

$\text{CH}_2 = \text{CH}_2$ [Om. 29667]

1988

Grans D.T., Berry M.C.L.

No creeps,

gurovsk. J. Chem. Phys., 1988,

monomer

Frausman. 88, N6, 3497 - 3507.

rochmoff.

CH_3I^+

lom. 30490

1988

Jacob et al.,

Ti, Di; J. Phys. and Chem. Ref.

Date, 1988, 17, N2, 423.

CH₃J

ОТ. 29261

1988

Р 8 Д61. Трехмодовая модель больших амплитуд для основного электронного состояния CH₃J. A three-mode large-amplitude model for the ground electronic state of CH₃J. Johnson Вгисе R., Kinsey James L. «J. Chem. Phys.», 1988, 88, № 5, 3147—3158 (англ.)

Развита модель больших амплитуд для ядерных координат для описания трех A_1 колебательных мод молекулы CH₃J. Показано, что использование простых криволинейных координат приемлемо для тех областей основного электронного состояния, которые исследуются методом резонансного КР. Построена поверхность потенц. энергии с использованием зонтичной структуры CH₃ и координат связи C—J. Результирующие двухмодовые уровни согласуются почти во всеми наблюдаемыми переходами вплоть до 9300 см⁻¹. Использование всех трех мод позволяет применить в расчетах ту же потенц. поверхность CH₃J. Полученные колебательные частоты согласуются с экспериментом.

Н. В. В.

phi. 1988, 18, N 8

CH₃I 30584) On 31520 1988

5 Б1220. Эмиссионная спектроскопия предиссоциационного ридберговского *B*-состояния CH₃I и CD₃I при 193,3 нм. Emission spectroscopy of the predissociative Rydberg *B* state of CH₃I and CD₃I at 193.3 nm / Lao K., Person M. D., Chou T., Butler L. J. // J. Chem. Phys.— 1988.— 89, № 6.— С. 3463—3469.— Англ.

На дифракц. монохроматоре в обл. частот 45 000—52 000 см⁻¹ с разрешением 15 см⁻¹ измерены УФ-спектры излучения CH₃I и CD₃I после возбуждения молекул излучением эксимерного лазера на частоте 51 760 см⁻¹ с шириной полосы около 130 см⁻¹. В спектрах наблюдалось возбуждение предиссоциац. ридберговских состояний (*E,1*) {2}. По уширению линий спектра определена нижняя граница для времени жизни предиссоциац. колебат. уровня в ридберговском состоянии. Идентифицированы ранее не наблюдавшиеся комбинац. моды в основном электронном состоянии.

С. Н. Мурзин

X. 1989, N 5

(1)
X

CH_3J^+

Om 30 017

1988

11 Д345. Спин-орбитальные расчеты молекулярных состояний CH_3J^+ , относящиеся к экспериментам по фотофрагментации. Spin-orbit calculations of the molecular states of CH_3J^+ , related to photofragmentation experiments. Tadjeddine M., Flament J. P., Teichteil C. «Chem. Phys.», 1988, 124, № 1, 13—28 (англ.)

Молекулярные состояния CH_3J^+ (I) рассчитаны методом CIPSI. Спин-орбитальное взаимодействие в J вводилось через эффективный гамильтониан с псевдопотенциалами. Представлены результаты для 12 первых состояний $E_{1/2}$ и 6 первых состояний $E_{3/2}$ в I. Рассматривалась фотодиссоциация на фрагменты $\text{CH}_3(^2A_2'')$ и $\text{J}^+(^3P, ^1D, ^1S)$ или $\text{CH}_3^+(^1A_1')$ и $J(^2P)$. При равновесной геометрии нейтральной молекулы $r_{CJ}=2,14 \text{ \AA}$ 1-е, 2-е и 5-е состояние $E_{1/2}$ — это $\tilde{X}^2E_{1/2^-}$, $A^2A_1^-$ и \tilde{B}^2E -состояния, известные из фотоэлектронной спектроскопии. Состояния 1 $E_{1/2}$ и 2 $E_{1/2}$ — это те со-

мн.

φ 1988, 18, N 11

стояния, между которыми происходит фотонное поглощение в экспериментах по фотодиссоциации. Расчеты показали, что спин-орбитальное взаимодействие между ними $\sim 2\%$ при $2,14 \text{ \AA}$, что согласуется со спектроскопич. данными. При $r_{CJ} > 3,5 \text{ \AA}$ это взаимодействие быстро возрастает с возрастанием межъядерного расстояния C—J. Рассчитаны дипольный момент перехода $2E_{1/2} \leftarrow 1E_{1/2}$ и параметр анизотропии углового распределения фотофрагментов.

Н. В. В.

ent.
R. P.
so

CH_3I^+

ON 30017

1988

109: 137665j Spin-orbit calculations of the molecular states of methyl iodide ion (CH_3I^+) related to photofragments experiments. Tadjeddine, M.; Flament, J. P.; Teichtel, C. Polytech., 91128 Palaiseau, Fr.j. *Chem. Phys.*, 1988, 124(1), 13 (Eng). The mol. states of MeI^+ were calcd. by means of the CEP method. The spin-orbit coupling was introduced through an effective Hamiltonian and with pseudopotentials (CIPSO algorithm). Results were presented for the 12 $E_{1/2}$ states and 6 1st $E_{3/2}$ states of MeI^+ which dissociate into the fragments Me and $\text{I}^+(\text{^3P}, \text{^1D}, \text{^1S})$ or $\text{Me}^+(\text{^2P})$. At the equil. geometry of the neutral mol. ($r_{\text{ci}} = 2.14 \text{ \AA}$) 1 $E_{1/2}$, 2 $E_{1/2}$, and 5 $E_{1/2}$ states are the $\tilde{\chi}^2E_{1/2}$, $\tilde{\Lambda}^2A_1$, and $\tilde{\Lambda}^2E$ states known in photoelectron spectroscopy. These states present a binding energy region 2.14 \AA (1 $E_{1/2}$), 2.7 \AA (2 $E_{1/2}$), and 3.2 \AA (5 $E_{1/2}$). Dissociation energy is given with an error of 0.3 eV for the 1 $E_{1/2}$ state (and 1 $E_{3/2}$ state). The 5 $E_{1/2}$ state presents a well of 0.33 eV while it is repulsive without spin-orbit coupling. The 1 $E_{1/2}$ and 2 $E_{1/2}$ states are the ones between which the photon absorption takes place in the photodissociation expts. The spin-orbit coupling between these states is <2% at 2.14 \AA , in agreement with the spectroscopic results; at >3.5 \AA it increases rapidly with the C-I internuclear distance. The dipole moment of the $2E_{1/2} \leftarrow 1E_{1/2}$ transition and the anisotropy parameter β of the angular distribution of the photofragments were calcd. These results are in agreement with the exptl. ones.

MONKIN · COOM · ,
ADM, CMNYKJY
PA, MEOP ·
PACEM

C.A. 1988, 109, N 16

CH₃Jt

ОТ 29697

1988

11 Д139. Потенциалы ионизации CH₃J: неэмпирические расчеты с учетом спин-орбитального взаимодействия. Ionization potentials of CH₃I: ab-initio calculations including spin-orbit coupling. Tadjeddine M., Flament J. P., Teichteil C. «J. Mol. Struct. Theochem». 1988, 166, 147—152 (англ.)

Неэмпирическим методом ССП МО ЛКАО с использованием усредненного и спин-орбитального псевдопотенциалов рассчитаны потенциалы ионизации для 11 первых состояний $E_{1/2}$ и 6 первых состояний $E_{3/2}$ CH₃J⁺. Точность оценки энергий составила 0,6 эВ. Расщепление первых состояний $E_{3/2}$ и $E_{1/2}$ ($\bar{X^2E}$) найдено равным 0,623 эВ, что хорошо согласуется с экспериментальными спектроскопич. данными (0,626—0,628 эВ). Подчеркнута важность учета спин-орбитального взаимодействия.

В. Л. Лебедев

φ. 1988, 18, N 11

СМЗ ят

09 29697

1988

1 21 Б1081. Ионизационные потенциалы CH_3I : неэмпирические расчеты с учетом спин-орбитального взаимодействия. Ionization potentials of CH_3I : ab-initio calculations including spinorbit coupling. Tadjeidine M., Flament J. P., Teichteil C. «J. Mol. Struct. Theochem», 1988, 166, 147—152 (англ.)

Методом конфигурац. взаимодействия рассчитаны энергии 11 низших $E_{1/2}^-$ и 6 низших $E_{3/2}^-$ -состояний катиона CH_3I^+ с учетом спин-орбитального взаимодействия и применением псевдопотенциалов для описания остальных электронов. Энергии 3 низших состояний воспроизводятся с точностью не хуже 0,6 эВ, а расчетное расщепление между двумя низкими состояниями CH_3I^+ $1E_{3/2}$ и $1E_{1/2}$ (0,623 эВ) практически совпадает с экспериментально наблюдаемым (0,626—0,628 эВ).

В. Я. Беспалов

Х. 1988, 19, № 21

CH_3I

On 29697

1988

109: 116427t Ionization potentials of iodomethane: ab-initio calculations including spin-orbit coupling. Tadjeddine, M.; Flament, J. P.; Teichteil, C. (Groupe DCMT, Ec. Polytech., 91128 Palaiseau, Fr.). THEOCHEM 1988, 43, 147-52 (Eng). The ionization potentials of CH_3I have been calcd. at the equil. geometry of the neutral mol. ($r_{\text{c-i}} = 2.14 \text{ \AA}$) by means of the CIPSI method. The spin-orbit coupling is treated through an effectived Hamiltonian and with pseudopotentials (CIPSO algorithm). Results are given for the 11 first $E_{1/2}$ states and 6 first $E_{3/2}$ states of CH_3I^+ . Energies are given with an error of $\approx 0.6 \text{ eV}$ and the splitting between the two first states 1 $E_{3/2}$ and 1 $E_{1/2}$ is in very good agreement with the spectroscopic results.

meinem
racem γ ,
Cryschyphe

C.A.1988, 109, N14

CH₃I⁺

011 30 466

1988

7 Б1226. Спектроскопия молекулярных ионов. Спектры резонансной двухфотонной диссоциации CH₃I⁺ и CD₃I⁺, разделенных по массе. Molecular ion spectroscopy: Mass selected, resonant two-photon dissociation spectra of CH₃I⁺ and CD₃I⁺ / Walter K., Weinkauf R., Boesl U., Schlag E. W. // J. Chem. Phys.— 1988,— 89, № 4.— С. 1914—1922.— Англ.

Методом спектроскопии резонансной двухфотонной диссоциации (// Chem. Phys. Lett.— 1987.— 141.— С. 267) исследована колебат. структура перехода $\tilde{A}^2\Sigma \leftarrow \tilde{X}^2\Pi$ катионов CH₃I⁺ и CD₃I⁺. Наблюдалось около 330 полос (90% из них отнесено). Ионы CH₃I⁺ и CD₃I⁺ в состояниях $\tilde{X}^2\Pi_{3/2, 1/2}$ ($v_2 = 0—3$) получались методом резонансной многофотонной (2+1) ионизации. Колебат. структура представляет собой прогрессии полос (до 21 членов в прогрессии) связанных с полносимм. вал. кол. C—H и C—I (v_1 и v_3) и деф. кол. CH₃-группы

№ 41

Х. 1989, № 7

(v_2) . Значения спектроскопич. постоянных (в см⁻¹):
 $\text{CH}_3\text{I}^+ - v_{00} (\tilde{A} \leftarrow \tilde{X}^2\Pi_{3/2}) = 19\ 409, \quad v_{00} (\tilde{A} \leftarrow \tilde{X}^2\Pi_{1/2}) =$
 $= 14\ 359$, состояние $\tilde{A}^2\Sigma$, $\omega_3' = 296,3$, $X_{33}' = 2,15$,
 $Y_{333}' = -0,011$, $\omega_2' = 1197$, $X_{22}' = 4,7$, $X_{23}' = -0,94$,
 $D_0' = 8056$; $\text{CD}_3\text{I}^+ - v_{00} (\tilde{A} \leftarrow \tilde{X}^2\Pi_{3/2}) = 19\ 500, \quad v_{00} (\tilde{A} \leftarrow$
 $\leftarrow \tilde{X}^2\Pi_{1/2}) = 14\ 464$, состояние $\tilde{A}^2\Sigma$, $\omega_3' = 278,4$, $X_{33}' =$
 $= 2,14$, $Y_{333}' = 0,006$, $\omega_2' = 921$, $X_{22}' = 3,5$, $X_{23}' =$
 $= -0,39$; состояние $\tilde{X}^2\Pi_{3/2}$, $\omega_1'' + X_{11}'' = 2125$; состоя-
 $ние \tilde{X}^2\Pi_{1/2}$, $\omega_3'' + X_{33}'' = 442$.

В. М. Ковба

бнєъ
едел

CH₃I

(Om. 31751)

1988

110: 104688m Potential energy surfaces for rotational excitation of methyl product in photodissociation of iodomethane. Yabushita, Satoshi; Motokuma, Keiji (Inst. Mol. Sci., Okazaki, Japan 444). *Chem. Phys. Lett.* 1988, 153(6), 517-21 (Eng). Potential energy surfaces of low-lying excited states of CH₃I were calcd. for sym. (C_{3v}) and bent (C_b) dissociation, using the ab initio CI method with the effective spin-orbit Hamiltonian. A small but significant bending torque arises for the A' surfaces near the 3E-2A₁ conical intersection, which can be the origin of the CH₃ rotational excitation obsd. in CH₃I photodissocn.

номен.
ропера.
кулаки
согласн.

c.A.1989, 110, N12

СМЗ

1988

18 Б4342. Каналы фотодиссоциации и распределение энергии в фотофрагментации алкилиодидов. Photodissociation channels and energy partitioning in the photofragmentation of alkyl iodides. Zhu O., Cao J. R., Wen Ye, Zhang J., Zhong X., Huang Y., Fang W., Wu X. «Chem. Phys. Lett.», 1988, 144, № 5—6, 486—492 (англ.)

Методом квадрупольной МС исследованы времяпролетные распределения атомов J — продуктов фотофрагментации (ФФ) алкилиодидов RJ ($R=Me, Et, Pr, изо-Pr$) в импульсном молек. пучке под действием излучения 248 нм эксимерного лазера на KrF . По этим распределениям определены соотношения выходов $J^*({}^2P_{1/2})$ и $J({}^2P_{3/2})$, к-рые оказались равными 2,80; 2,37; 1,61 и 0,96 соотв. при $R=Me, Et, Pr, изо-Pr$. На основе энергетич. баланса определены доли допустимой энер-

80

(+)

Х. 1988, 19, N 18

СМЗ

гии, к-рые расходуются на внутр. возбуждение алкильного фотофрагмента R. Эта доля возрастает от 12,5% для канала отщепления J^* из MeJ до 64% для обоих каналов при ФФ изо-PrJ. По величине макс. поступат. энергии в канале отщепления J^* определены энергии диссоциации $D(C-J)$ (ккал/моль): MeJ $55,0 \pm 0,5$; EtJ $55,3 \pm 1,0$. — В. Е. Скурат.



CH_3I

1988

Ziegler L.D., Cheng Y.C.

11th Int. Conf. on Raman
Spectrosc. Proc., London,

M.N.

5-9 Sept, 1988, Chichester,
etc., 1988. p. 142-148.

(see. NH3; III)

$^{12}\text{CH}_3\text{Y}$

$^{13}\text{CH}_3\text{Y}$

1989

Alanko S., Anttila L.,
et al.,

$\Delta\nu_3$

Overtone bands $\Delta\nu_3$
of $^{12}\text{CH}_3\text{Y}$ and $^{13}\text{CH}_3\text{Y}$.

Eleventh Colloquium on
NMR

High Resolution Molecular
Spectroscopy, Biessen, September
18-22, 1989, A1, N18.

CH₃I

07 32576

1989

✓ 6 Б1496. Полоса ν_3 CH₃I вблизи 533 см⁻¹. The ν_3 band of CH₃I around 533 cm⁻¹ / Alanko S., Horppelman V.-M., Kauppinen J. // J. Mol. Spectrosc.— 1989.— 135, № 1.— С. 76—83.— Англ.

На ИК-фурье-спектрометре в области частот 491—558 см⁻¹ с разрешением 0,004 см⁻¹ измерена вращательная структура полосы ν_3 и горячей полосы 2 ν_3 — ν_3 CH₃I. Идентифицировано около 1000 линий параллельной полосы ν_3 со значениями $K=0—10$ и J вплоть до 65. Анализ ИК-спектров выполнен с учетом квартичного центробежного искажения. В результате одновременной обработки ИК- и микроволновых данных определены частоты полосы ν_3 и горячей полосы 2 ν_3 — ν_3 , соотв., $\nu_0=533,216849(25)$ и $526,775718(81)$ см⁻¹ и разности вращат. и центробежных постоянных в основном и ν_3 колебат. состояниях.

С. Н. Мурзин

Х. 1990, № 6

CH₃I

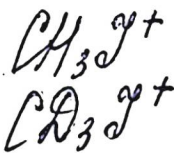
(M. 32576)

1989

(D₃)

110; 221713b The ν_3 band of methyl iodide around 533 cm⁻¹. Alanko, S.; Horneman, V. M.; Kauppinen, J. (Dep. Phys., Univ. Oulu, SF-90570 Oulu, Finland). *J. Mol. Spectrosc.* 1989, 135(1), 76-83 (Eng). The region of the lowest fundamental band ν_3 of CH₃I around 533 cm⁻¹ was studied at a resoln. of 0.004 cm⁻¹. In the parallel band ν_3 about 1000 lines were measured with K = 0-10 and J up to 65. A set of mol. parameters for the ν_3 band was obtained. The rovibrational data were also fitted simultaneously with the pure rotational data at the $\nu_3 = 1$ state. In addn. to the main band, the hot band $2\nu_3 - \nu_3$ was investigated.

c.A.1989, 110, N24



1989

/ 112: 206789d Molecular ion spectroscopy: mass selected, resonant two-photon dissociation spectra of CH_3I^+ and CD_3I^+ . Baer, Tomas (Univ. North Carolina, Chapel Hill, NC USA). Chemtracts: Anal. Phys. Chem. 1989, 1(1), 26-7 (Eng). The title research of K. Walter et al. (1988) is reviewed with commentary and 2 refs.

08208

C.A. 1990, 112, N 22

CH_3I^+ / CD_3I^+

1989

/112: 27580g Resonant enhanced multiphoton dissociation spectroscopy of molecular ions: technique and application to methyl iodide and methyl-d₃ iodide (CH_3I^+ / CD_3I^+). Boesl, U.; Weintraub, R.; Walter, K. (Inst. Phys. Theor. Chem., Tech. Univ. Muenchen, 8046 Garching, Fed. Rep. Ger.). *AIP Conf. Proc.* 1988 (Pub. 1989). 191(Adv. Laser Sci.-4), 488-93 (Eng). Photodissocn. spectroscopy of mol. radical cations involve multiphoton ionization (as an ion source) and mass spectroscopic techniques for distinguishing between mol. and fragment ions, as well as between fragment ions of different origins. Photodissocn. spectroscopy includes predissocn. as well as resonant enhanced multiphoton dissocn. The latter allows access to non-fluorescing and non-dissoeg. ionic states. A special method allows detn. of metastable decay times for very large mass differences of mol. and fragment ions. This information can be used to assign predissocn. spectra. These methods are applied to CH_3I^+ and CD_3I^+ . For the first time the electronic origin of the A X transition and was scan down, and assignable rotational fine structure was obsd.

T_e, (Hausel
m - 1990 000)
D_D

C.A.1990, 112, N 4

Off of +
Off 30

1989

III: 67213a High resolution photofragment spectroscopy of the gas phase methyl iodide ion. Chen, Lingbing; Figger, H.; Quint, W. (Max-Planck-Inst. Quantenopt., D-8046 Garching, Fed. Rep. Ger.). *Z. Phys. D: At., Mol. Clusters* 1989, 13(1), 61-7 (Eng). Photodissocn. spectra of the mol. ion MeI^+ were obtained with a 3-stage quadrupole mass spectrometer. Starting from the $\tilde{\chi} ^2\text{E}_{3/2}$ ground state, the $\Lambda ^2\text{E}_{1/2}$ state was excited with a stilbene 3 continuous-wave dye laser. This state predissociates to $\text{MeI}^+ + \text{I}$. Measuring the intensity of the Me^+ fragment ions as a function of the wavelength of the exciting laser, a spectrum showing vibrational and rotational structure was obtained. The vibrational structure was assigned to 3 progressions of v_3 and new vibrational frequencies were detd. From a computer simulation of the (0, 1, 10) band rotational consts. were derived. Their dependence on the vibration v_3 was studied.

(Di)

C.A. 1989, III, N8

CH39

(DM. 31275)

1989

UK-UH-
меневи,
погрем
ев. Noem.

Dayanand V.,
Ravindranath K.,

Curr. Sci. (India), 1989,
58, N2, 52-54.

CH₃I

1989

14 Б1212. Колебательный ангармонизм в CH₃I: Исследование с совместным использованием локальной и нормальной мод. Vibrational anharmonicity in CH₃I: A joint local and normal mode study / Duncan J. L., Ferguson A. M., Mathews S. // J. Chem. Phys.— 1989.— 91, № 2.— С. 783—790.— Англ.

На ИК-фурье-спектрометре в области частот 500—16500 см⁻¹ с разрешением около 0,25 см⁻¹ измерен вращательно-колебат. спектр иодистого метила, CH₃I, в газовой фазе, при этом выполнены наблюдения вал. кол. СН вплоть до $v=5$. Полный анализ 16 перпендикулярных полос в области 3750—9100 см⁻¹ осуществлен с учетом кориолисова взаимодействия. Анализ вал. кол. СН до $v=2$ в области 500—6100 см⁻¹ проведен с учетом ангармонизма. В области частот вплоть до 16500 см⁻¹ при анализе учтено взаимодействие Дарлинга—Деннисона и резонанс Ферми. В этом случае для описания вал. кол. СН использован базис локальной моды, а для др. типов колебаний базис нормальной моды. Полученные молек. параметры с хорошей точностью описывают все 63 колебат. уровня CH₃I в области частот 500—16500 см⁻¹. С. Н. Мурзин

М.Н.

X. 1990, N/4

CH₃J

1989

(UK)

III: 86478g Vibrational anharmonicity in iodomethane: a joint local and normal mode study. Duncan, J. L.; Ferguson, A. M.; Mathews, S. (Dep. Chem., Univ. Aberdeen, Aberdeen, UK AB9 2UE). *J. Chem. Phys.* 1989, 91(2), 783-90 (Eng). The IR spectrum of gaseous MeI was investigated at 500-16500 cm⁻¹, ≤ 6 quanta of excitation in CH stretching. Sixteen perpendicular bands at >3700 cm⁻¹ were analyzed, some as Fermi resonance diads, in order to det. accurate vibrational wavenos. for the constituent levels. The local mode model was applied to the CH stretching manifold to account for anharmonicity and the effects of Darling-Dennison resonances. Vibrations not involving CH stretching were treated in a normal mode basis. The joint approach, which takes into account known Fermi resonances, enables a complete set of 27 vibrational anharmonicity parameters to be detd. for MeI which fits 63 obstd. vibrational levels with $V \leq 6$ with a root-mean square error of 2.75 cm⁻¹.

C.A. 1989, III, N10

CH_3J

(OM. 31886)

1989

Gadhi J., Włodarczak F.,
et al.,

McCreary,
M

Chem. Phys. Lett., 1989,
156, N.Y., 401-404.

The dipole moments of methyl
bromide and  methyl iodide.

CH₃ Cl

OM 32156 1989

110: 221743m Rotational analysis and anomalous intensity patterns of the 2430 to 2770 cm⁻¹ infrared spectrum of iodomethane. Lattanzi, F.; Di Lauro, C.; Guelachvili, G. (Dip. Chim. Farm. Tossicol., Univ. Napoli, I-80131 Naples, Italy). *Mol. Phys.* 1989, 66(2), 509-18 (Eng). The vibration-rotation spectrum of MeI was investigated at 2430-2770 cm⁻¹ with a resoln. of ~0.005 cm⁻¹. Vibration-rotation cnsts. of the parallel 2ν₂ band, the perpendicular Fermi dyad ν₂ + ν₅/ν₂ + ν₃ + ν₆, and the perpendicular component of the 3ν₆ overtone ($l = \pm 1$) involved in anharmonic interactions affecting both ν₂ + ν₅ and ν₂ + ν₃ + ν₆, were detd. Account was made for the x-y Coriolis interactions of ν₂ + ν₅ with 2ν₂ and all components of 2ν₅, and of ν₂ + ν₃ + ν₆ with all components of ν₃ + ν₅ + ν₆. The interactions involving 2ν₅ and ν₃ + ν₅ + ν₆ were handled by 2nd order perturbation theory, since these levels occur in a complicated band system which was not clarified. Both ν₂ + ν₅ and ν₂ + ν₃ + ν₆ exhibit marked anomalous rotational intensity patterns, showing the enhancement of the ΔJ = 0 and ΔJ = -ΔK branches and the depletion of the ΔJ = ΔK branches at all values of K*ΔK except zero. This intensity perturbation is explained by means of the combined mechanisms of intensity stealing by ν₂ + ν₅ from the stronger 2ν₂ and 2ν₅ parallel bands. With a neg. value of ξ_{2,5}, the involved vibrational transition moments are approx. in the ratios $T_{25}:T_{22}:T_{25^0} = 1:12:-12$, with a neg. intensity perturbation in the 2ν₂/ν₂ + ν₅ pair and a pos. intensity perturbation in the 2ν₅⁰/ν₂ + ν₅ pair.

(lk cneRmp)

C.A. 1989, 110,
N 24

CH_3J

1989

Paso R., Anttila R., et al.;

D₁ band of CH_3J .

D₁ Eleventh Colloquium On
High Resolution Molecular
Spectroscopy, Giessen, Septem-
ber 18-22, 1989, A1, H14414

CJ3 of

1989

(CKP)

III: 30544h Raman polarizabilities of the ν_1 , ν_4 bands of methyl iodide. Santos, J.; Garcia Hernandez, M. (Inst. Estruct. Mater., CSIC, Madrid, Spain 28006). *J. Raman Spectrosc.* 1989, 20(5), 307-9 (Eng). The Raman spectrum of MeI was recorded at $\sim 3000 \text{ cm}^{-1}$ with a resoln. of 0.25 cm^{-1} . The range measured includes the ν_1 , ν_4 bands of symmetry species A_1 and E , resp. Using published vibrational-rotational consts., a computer simulation of the band contour was carried out, yielding relative values of Raman polarizability derivs. for these bands. From previous measurements of the scattering cross section the moduli of the Raman tensor components related to ν_1 and ν_4 vibrational modes were detd.

c.A.1989, III, N4

CH_3J^+

[On. 33211]

1989

Syage J.A., Pollard J.E.,
et al.,

Chem. Phys. Lett. 1989,
161, N2, 103-110.

Resonance Ion
Spectroscopy of



Dissociation
 CH_3J^+ Prod-

ed by Molecular Beam Elect-
ron - Impact Ionization.

CH₃I

1989

(D_i)

111: 122883w Rotational diffusion in methyl iodide: bandshape analysis of degenerate vibrational modes. Wang, S. P.; Yuan, P.; Schwartz, M. (Dep. Chem., Univ. North Texas, Denton, TX 76203 USA). *J. Raman Spectrosc.* 1989, 20(5), 339-43 (Eng). The Raman spectral bandshapes of the $\nu_1(A_1)$, $\nu_3(A_1)$ and $\nu_4(E)$ vibrations of MeI were studied as a function of temp. in the liq. phase. Perpendicular diffusion coeffs. calcd. from ν_3 agreed with earlier reported results. The degenerate Mo stretching vibration, ν_4 , was analyzed via fitting by a model incorporating 2 Lorentzian lineshapes. Values of the parallel diffusion consts., D_1 , detd. using only the narrower component were in semi-quant. agreement with those predicted by the free rotor model of mol. reorientation. Anal. of the room-temp. Raman spectrum of $\nu_5(E)$ yielded the same value of D_1 as that calcd. from ν_4 . The room-temp. IR spectral intensities of ν_5 were fitted by a model with a narrow Lorentzian contg. contributions from rotational and vibrational relaxation superposed on a 2nd component introduced to account for the broad background absorption. D_1 Detd. from the IR bandwidth was in agreement with values obtained from the Raman spectra of ν_4 and ν_5 . These results demonstrate the utility of analyzing degenerate vibrational modes to det. the parallel diffusion coeffs. in C_{3v} mols.

C.A. 1989, 111, N 14

Сбор

1990

23 Б1361. Оберточные полосы $2v_3$ $^{12}\text{CH}_3\text{I}$ и $^{13}\text{CH}_3\text{I}$.
Overtone bands $2v_3$ of $^{12}\text{CH}_3\text{I}$ and $^{13}\text{CH}_3\text{I}$ / Alanko S.,
Horneman V.-M., Anttila R., Paso R. // J. Mol. Spectrosc.
— 1990. — 141, № 1. — С. 149—166. — Англ.

С разрешением $0,003 \text{ см}^{-1}$ получены ИК-фурье-спектры полосы $2v_3$ $^{12}\text{CH}_3\text{I}$ и $^{13}\text{CH}_3\text{I}$. Для каждой молекулы отнесено 1100 линий с $I_{\max}=60$ и $K_{\max}=12$. Стандартные отклонения при обработке составляли $0,11 \times 10^{-3}$ и $0,13 \times 10^{-3} \text{ см}^{-1}$ соотв. При анализе (использовалась модель невозмущенной параллельной полосы) вращат. постоянная Н фиксировалась и полагалась равной 0. Также наблюдались горячие полосы $3v_3-v_3$. Из анализа этих полос получены значения молек. постоянных, практически совпадающие со значениями, полученными из анализа полос $2v_3$. Г. В. Чертихин

III/1

Х. 1990, № 23

12 CH₃I

13 CH₃I

M.N., C.R.E.P.,
2/23

1990

112: 242349u Overtone bands $2\nu_3$ of methyl-¹²C and methyl-¹³C iodide. Alanko, S.; Horneman, V. M.; Anttila, R.; Paso, R. (Dep. Phys., Univ. Oulu, SF-90570 Oulu, Finland). *J. Mol. Spectrosc.* 1990, 141(1), 149-66 (Eng). The IR bands $2\nu_3$ of ¹²CH₃I and ¹³CH₃I were investigated at a resoln. of ~ 0.003 cm⁻¹. Both the bands, one at 1059.9934 and the other at 1028.1201 cm⁻¹, resp., are similar, and they have a special feature, a bandhead, in the *R* branch. In both the bands ~ 1100 lines with $J_{\max} \approx 60$ and $K_{\max} = 12$ were assigned. In the analyses the model for an unperturbed parallel band was used. In the fits the *H* consts. fixed to ground state values were included. Std. deviations of 0.11×10^{-3} and 0.13×10^{-3} cm⁻¹, resp., were attained. Mol. consts. related to the bands are given. The hot bands $3\nu_3 - \nu_3$ were studied, and the results are similar to these from the corresponding $2\nu_3$ bands. The assignments of some optically pumped far-IR laser lines are discussed.

C.A. 1990, 112, N 26

CH₃I

1990

12 Б1393. Исследование метилиодида методом ИК-фурье-спектроскопии с высоким разрешением. High resolution FTIR measurements on methyl iodide: [Pap.] Finn. Chem. Congr., Helsinki, 30 Oct.—1 Nov., 1990 / Alanko S., Anttila R., Horneman V.-M., Koivusaari M., Paso R. // Kemia-Kemi.— 1990.— 17, № 10B.— С. 953.— Англ.

Изучены ИК-спектры поглощения (область 600—3500 см⁻¹) газ. (давл. ~100 Па) CH₃I (I). Исследования проводили в кювете с длиной оптич. пути ~20 м, спектры регистрировали на ИК-фурье-спектрометре IFS 120 фирмы Брукер с разрешением ~0,002 см⁻¹. Проведен анализ колебательно-вращат. полос. В спектрах выделены линии, относящиеся к переходам ¹³CH₂I. Резонансное вз-вие различных переходов приводило к нарушению правил отбора и появлению в спектрах запрещенных по правилам отбора полос. Оценены молек. постоянные I.

А. В. Бобров

X. 1991, N 12

CH₃I

0735064

1990

14 Б1368. Постоянные A_0 и D_0^K в основном состоянии ¹²CH₃I из переходов разрешенных за счет возмущения. Ground-state constants A_0 and D_0^K of ¹²CH₃I from perturbation-allowed transitions / Anttila R., Ногпетан V.-M., Alanko S. // Mol. Phys.— 1990.— 70, № 6.— С. 991—1000.— Англ.

На ИК-фурье-спектрометре в области частот 1300—1520 см⁻¹ с разрешением 0,0017 см⁻¹ измерен спектр диады полос $\nu_5/\nu_3 + \nu_6$ ¹²CH₃I. В ИК-спектре идентифицировано свыше 200 переходов разрешенных за счет возмущений между высокими уровнями полос ν_5 и $\nu_3 + \nu_6$, связанными через резонанс Ферми и $l(2, -1)$ -резонанс. Используя разрешенные за счет возмущений ИК-переходы, определены спектроскопич. постоянные в основном колебат. состояниях, к-рые не м. б. определены обычными способами для молекул типа симм. волчка. Обсуждена возможность определения секстичной постоянной центробежного искажения H_0^K для CH₃I.

С. Н. Мурзин

Х. 1991, № 14

CH_3I

(On 35064)

1990

113: 200410x .Ground-state constants A_0 and D_0^K of iodomethane from perturbation-allowed transitions. Anttila, R.; Horneman, V. M.; Alanko, S. (Dep. Phys., Univ. Oulu, SF-90570 Oulu, Finland). *Mol. Phys.* 1990, 70(6), 991-1000 (Eng). The upper levels of the bands v_5 and $v_3 + v_6$ of CH_3I are coupled through a Fermi and an $1(2, -1)$ resonance. This gives rise to perturbation-allowed transitions. Altogether, more than 200 such lines corresponding to 3 different K-value pairs were obsd. between 1320 cm^{-1} and 1520 cm^{-1} . By fixing the sextic const. H_0^K equal to zero, the following values were obtained: $A_0 = 5.173931(2) \text{ cm}^{-1}$ and $D_0^K = 87.36(6) \times 10^{-6} \text{ cm}^{-1}$. The possible values of H_0^K and their effects on the results are discussed.

M.A. 6

OCH₃I

CO MOLECULE

C.A. 1990, 113, N 22

CH₃I

1990

114-714322: Ground state constants A_0 and D_0^K of iodomethane-¹³C from perturbation-allowed transitions. Anttila, R.; Alanko, S.; Horneman, V. M.; Kovalainen, M. (Dep. Phys., Univ. Oulu, SF-90570 Oulu, Finland). *Mol. Phys.*, 1990, 71(6), 1433-6 (Eng). The IR spectrum of ¹³CH₃I in the region of the ν_5 band, 1300-1600 cm⁻¹, was measured at a resoln. of 0.0025 cm⁻¹ with a Fourier transform spectrometer. In the diad $\nu_5/\nu_3 + \nu_6$ about 130 perturbation-allowed transitions were obsd. They give 2 equations between A_0 and D_0^K , and from them $A_0 = 5.174258(4)$ cm⁻¹ and $D_0^K = 87.56(7) \times 10^{-6}$ cm⁻¹ derived by fixing $H_0^K = 0$.

11

c.A.1991, 114, n8

0M 35139

1990

ЧУЗ

№14 Б1380. Измерение электрического дипольного момента метилиодида. Measurement of the electric dipole moment of methyl iodide / Carocci S., Di Lieto A., Minguzzi P., Tonelli M. // J. Mol. Spectrosc.— 1990.— 144, № 2.— С. 429—442.— Англ.

На миллиметровом штарковском спектрометре вблизи 75 ГГц измерен эффект Штарка для сверхтонких компонент вращат. перехода $J=5-4$ метилиодида, CH_3I . Анализ полученных данных выполнен с учетом полного вращения, центробежного искажения, квадрупольного вз-вия, спин-вращательного вз-вия и эффекта Штарка. На основе 772 эксперим. данных определены электрич. дипольный момент, параллельный оси молекулы, $\mu_0 = 1,6413(5)$ Д и дипольный момент, связанный с квадрупольным вз-вием, $\mu_Q = 2,65(5) \cdot 10^{-3}$ Д. Др. эффекты, такие как центробежное искажение, дают заметно более слабый вклад в полный дипольный момент. Полученные ММ-результаты подтверждают наличие заметной корреляц. связи между электрич. дипольным моментом и ядерным квадрупольным взаимодействием.

С. Н. Мурзин

1991, №14

CH₃J [Om 34919]

1990

Döge G., Lindner D., et al.

D₂ Chem. phys. Lett.; 1990,
172, N^o, 453 - 457.

The effect ● of resonant

vibrational coupling on the
frequency of the ν_2 mode
of liquid methyl iodide
in Raman scattering and
infrared absorption.

CH₃I²⁺

1990

- 17 Б1234. Электронно-возбужденные состояния иона CH_3I^{2+} . Electronically excited states of the CH_3I^{2+} ion / Griffiths W. J., Harris F. M., Parry D. E. // J. Chem. Soc. Faraday trans.— 1990.— 86, № 16.— С. 2801—2804.— Англ.

Методом спектроскопии двойного переноса заряда исследовано образование иона CH_3I^{2+} в основном и в низких возбужденных электронных состояниях. Ионы получали при столкновениях нейтр. молекул CH_3I с однозарядными ионами OH^+ или F^+ (A^+), $\text{A}^+ + \text{CH}_3\text{I} \rightarrow \text{A}^- + \text{CH}_3\text{I}^{2+}$, при низких давлениях метилиодида, что позволило исключить из рассмотрения двухступенчатый канал взаимодействия, $\text{A}^+ + \text{CH}_3\text{I} \rightarrow \text{A} + \text{CH}_3\text{I}^+$, $\text{A} + \text{CH}_3\text{I} \rightarrow \text{A}^- + \text{CH}_3\text{I}^+$. Использовали два вида спектрометров. В одном измерялся спектр поступат. энергии образующихся ионов A^- , в другом — варьировалась поступат. энергия исходных ионов A^+ до столкновений при постоянстве поступат. энергии регистрируемых

x. 1991, N 17

ионов A^- . Результаты полученные на обоих спектрометрах согласуются между собой. Для калибровки по энергии использовались атомы аргона и ксенона с известными энергиями ионизации. Установлено существование четырех низколежащих возбужденных состояний CH_3I^{2+} с энергией двукратной ионизации $27,0 \pm 0,3$, $29,6 \pm 0,3$, $31,3 \pm 0,5$ и $36,5 \pm 0,5$ эВ. Результаты, кроме второго состояния, к-рое наблюдалось впервые, хорошо согласуются с данными полученными методом фотоион-фотоионных совпадений для р-ции $\text{CH}_3\text{I} + h\nu \rightarrow \text{CH}_3\text{I}^{2+} \rightarrow \text{CH}_3^+ + \text{I}^+$. Величины энергий двукратной ионизации рассчитаны также теоретически в рамках однодетерминантного Хартри-фоковского приближения для многоэлектронной волновой ф-ции с поправками на корреляц. эффекты по теории возмущений Меллера—Плессета второго порядка.

Б. М. Ковба



CH₃I²⁺

1990

113: 198324b Electronically excited states of the iodomethane (2+) ion. Griffiths, William J.; Harris, Frank M.; Parry, David E. (Mass Spectrom. Res. Unit, Univ. Coll. Swansea, Swansea, UK SA2 8PP). *J. Chem. Soc., Faraday Trans.* 1990, 86(16), 2801-4 (Eng). A double-charge-transfer spectroscopy study has provided evidence for the existence of four low-lying electronic states of the CH₃I²⁺ ion, the double-ionization energies to which are 27.0 ± 0.3, 29.6 ± 0.3, 31.3 ± 0.5 and 36.5 ± 0.5 eV. Three of these energies agree, within exptl. error, with those detd. previously in a dissociative double photoionization study of CH₃I. The present investigation reveals for the first time the state at 29.6 eV. The value of the double-ionization energy to the ground triplet state, calcd. in the present investigation using the single-determinant Hartree-Fock approxn. to the many-electron wavefunction with correction of second-order Moller-Plesset perturbation theory for correlation effects, is 25.80 eV, somewhat lower than the measured value of 27.0 eV.

C.A. 1990, 113, N 22

1990

№ 20 Б4009. Термическое разложение CH_3I и CD_3I . Экспериментальное и теоретическое приближение к определению констант скорости при высоких давлениях. Thermal decompositions of CH_3I and CD_3I . Experimental and theoretical approaches to the specific rates at the high pressure limit / Kodama Sukeva, Ooi Yasuhiro // Bull. Chem. Soc. Jap.— 1990.— 63, № 3.— С. 877—885.— Англ.

№ (CH₃-J)

На статической вакуумной установке с кварцевым р-ционным сосудом определены кинетич. закономерности газофазного термич. разл. молекул CH_3I и CD_3I (606,8—649,5 К, давл. до 25 кПа). По начальным скоростям термолиза и их зависимости от давл. определены значения $k^\infty_{\text{разл}}(\text{CH}_3\text{I})$, изменяющиеся от $2,92 \cdot 10^{-6} \text{ с}^{-1}$ (606,8 К) до $68,2 \cdot 10^{-6} \text{ с}^{-1}$ (649,5 К). Величина отношения констант $k^\infty_{\text{разл}}(\text{CD}_3\text{I})/k^\infty_{\text{разл}}(\text{CH}_3\text{I})$ составляет 0,290(620,2 К) и 0,279(649,5 К). Сопоставление эксперим. данных с результатами теорет. рас-

X. 1990, № 20

четов на основе ранее предложенного авторами варианта теории мономолек. разл. в газ. фазе в условиях предела при высоких давл. позволяет предложить уточненные значения термохим. величин, соотв-щих разрыву связи CH_3-I : $D_0 = 243,7$ кДж/моль, $\Delta E_0 = 230,6$ кДж/моль и $\Delta H^\circ_{298} = 236,3$ кДж/моль. Отмечено, что при термолизе эквимолярной смеси $\text{CH}_3\text{I} + \text{CD}_3\text{I}$ соотношение начальных скоростей накопления продуктов $(\text{CH}_4 + \text{CH}_3\text{D}) / (\text{CD}_4 + \text{CD}_3\text{H})$ составляет 1,94 (т-ра 633,5 К, давл. 10,67 кПа); парц. скорости разл. CH_3I и CD_3I в смеси оказываются ниже, чем при термолизе чистых компонентов в аналогичных условиях. А. Б. Мазалецкий

CH₃I

Om 34540

1990

112: 206995t Parallel vibrational states of iodomethane in the high resolution infrared spectrum from 2770 to 2900 cm⁻¹. Lattanzi, F. (Dip. Chim. Farm. Tossicol., Univ. Napoli, I-80131 Naples, Italy). *J. Chem. Phys.* 1990, 92(7), 4380-2 (Eng). The anal. of the high resoln. IR spectrum of CH₃I between 2770 and 2900 cm⁻¹, where only parallel transitions are obsd., allowed the identification of the complex branch origin patterns of the interacting parallel system $2\nu_5^0$, $\nu_3 + \nu_3^{\pm 1} + \nu_6^{\pm 1}$, $2\nu_3 + 2\nu_6^0$. The values of vibrational frequencies, vibration-rotation parameters affecting the K structures, and interaction parameters were estd. by a least squares fit of the obsd. transition wave nos.

c.A.1990, 112, N22

CH₃I

1990

113: 220651h Spectral shift of autoionizing high-n Rydberg states of iodomethane in dense argon: a photoionization study.
Meyer, J.; Reininger, R.; Asaf, U. (HASYLAB, DESY, D-2000 Hainburg, Fed. Rep. Ger.). *Chem. Phys. Lett.* 1990, 173(4), 384-6 (Eng). Photoionization spectra of pure CH₃I and of CH₃I doped into varying densities of Ar (up to $10.5 \times 10^{20} \text{ cm}^{-3}$) are reported. The photoionization spectrum of pure CH₃I closely reproduces the absorption spectrum of the autoionizing nd' and ns' Rydberg states converging to the $^2E_{1/2}$ ionization limit. Moreover, it displays the members of the nd' series terminating on the $\nu' = 1$ vibrational level of the same limit. The Rydberg states shift to lower energies with increasing argon d. The shift rate for principal quantum nos. $n \geq 10$ is in good agreement with the values obtained from absorption studies.

gj

C. A. 1990, 113, N24

CH₃I

ОМ 33581

1990

19 Б1240. Возмущения в полосе ν_1 CH₃I. Perturbations in the ν_1 band of CH₃I / Paso R., Anttila R., Guelachvili G. // J. Mol. Spectrosc.— 1990.— 140, № 1.— С. 46—53.— Англ.

На ИК-фурье-спектрометре в области частот 2930—3010 см⁻¹ с разрешением 0,0054 см⁻¹ измерен колебательно-вращат. спектр полосы ν_1 CH₃I в газ. фазе. Анализ полосы ν_1 выполнен с учетом квартичного и секстичного центробежного искажения, кориолисова взаимодействия ν_1/ν_4 и $\nu_1/\nu_2+2\nu_6^{\pm 2}$ и резонанса Ферми $\nu_1/2\nu_2+\nu_3$. Определены частоты полос ν_1 , $\nu_2+2\nu_6^{\pm 2}$ и $2\nu_2+\nu_3$, соотв., 2971,8375(1), 3017,819(2) и 3009,5 см⁻¹ центробежные постоянные и константы взаимодействия. Из анализа ИК-спектра горячей полосы $\nu_1+\nu_3-\nu_3$ с центром при 2971,5240(7) см⁻¹ определены молек. параметры состояний $\nu_2+\nu_3+2\nu_6^{\pm 2}-\nu_3$ и $2\nu_2+3\nu_3-\nu_3$ и константы взаимодействий $\nu_1+\nu_3/\nu_2+\nu_3+2\nu_6^{\pm 2}$ и $\nu_1+\nu_3/2\nu_2+2\nu_3$.

С. Н. Мурзин

X. 1990, N 19

CH₃I

(M 33581)

1990

112: 14813Se Perturbations in the ν_1 band of methyl iodide.
Paso, R.; Anttila, R.; Guelachvili, G. (Dep. Phys., Univ. Oulu,
SF-90570 Oulu, Finland). *J. Mol. Spectrosc.* 1990, 140(1), 46-53
(Eng). The FTIR spectrum of MeI recorded at a resoln. of 0.0054
 cm^{-1} in the region of the ν_1 band (2930-3010 cm^{-1}) was analyzed.
About 1600 P and R transitions were assigned for $K = 0-13$. A
Fermi interaction and 2 Coriolis interactions were taken into account
in the anal. The stronger Coriolis resonance, having a crossing in J
in the subband $K = 4$ in ν_1 , is caused by $\nu_2 + 2\nu_6 \pm 2$. The other Coriolis
resonance, with a matrix element of $\sim 0.001 \text{ cm}^{-1}$, has a crossing in K
at $K = 10-11$ in ν_1 . It was attributed to ν_4 . The Fermi interaction,
caused probably by $2\nu_2 + \nu_3$, shifts the band origin of the ν_1 band 0.6
 cm^{-1} upward. The hot band $\nu_1 + \nu_3 - \nu_3$ was studied.

D1

C.A.1990, 112, N16

CH₃Y

(OM 35384)

1990

B Pugmire, Syage J.A., Steadman J.;
LOCM. Strong Field Effects
in the Spectroscopy of
the $\tilde{\beta}$ Rydberg State
of CH₃Y. (HA 88.)

all.

The J. of Physical
Chemistry. 1990, 94, N₂₅,
8858.

CH₃J

Om. 34122

1990

Wang P.F., Zhang Y.P.,
et al.,

J. Chem. Phys., 1990, 92,
N⁵, 2806 - 2817

The spontaneous • us resonance

Raman scattering of CH₃ Y
in a supersonic jet.

13CH₃I

1991

114: 256038v The ν_6 band of methyl-¹³C iodide. Alanko, Seppo (Dep. Phys., Univ. Oulu, SF-90570 Oulu, Finland). *J. Mol. Spectrosc.* 1991, 147(2), 406-13 (Eng). The IR spectrum of the perpendicular fundamental band ν_6 of ¹³CH₃I in the region 765-1035 cm⁻¹ was studied at a resoln. of 0.0021 cm⁻¹. More than 3800 transitions were assigned for subbands from $K\Delta K = -15$ to +17, including J values up to 75. The ground state consts. were derived using 2943 ground state combination differences from ν_6 and $2\nu_3$ bands together with 90 rotational transitions from the literature. In the anal. of the $\nu_6 = 1$ state the Coriolis resonance with the $\nu_3 = 2$ state was taken into account. The mol. consts. concerning the fundamental ν_6 , as well as the parameters describing the Coriolis and $l(2, 2)$ resonances, were derived. The assignments of optically pumped far-IR laser lines are also discussed.

D6, M.A.

C.A.1991, 114, N26

CH₃I

1991

21 Б1148. Квантовые неадиабатические эффекты при фотодиссоциации колебательно-возбужденных молекул CH₃I. Quantum nonadiabatic effects in the photodissociation of vibrationally excited CH₃I / Guo Hua Lao Kai Qin, Schatz George C., Hammerich Audrey Del // J. Chem. Phys.— 1991.— 94, № 10.— С. 6562—6568 — Англ.

м.н.

В рамках нестационарной квантовой механики в комбинации с быстрым преобразованием Фурье изучена фотодиссоциация колебательно-возбужденных молекул CH₃I (I), приводящая к образованию атомов I в основном и возбужденном (I*) состояниях. При рассмотрении динамики диссоциации приняты во внимание две координаты: расстояние C—I и угол, характеризующий «зонтическое» симм. колебание фрагмента CH₃. Вычислен выход I* как функция полной энергии и распределение энергии по зонтическим колебат. состояниям CH₃. Показано, что колебат. распределение фрагмента CH₃ и выход I* существенно зависят от его исходного колебат. состояния; растяжение связи C—I в этом отношении малосущественно. Выход I* для колебательно-возбужденной молекулы I обычно ниже, чем при диссоциации основного состояния I.

Э. Д. Герман

X. 1991, № 21

113 9

1991

8 Д95. Квантовые расчеты спектра поляризованного излучения метилйодида. Важность интерференционных эффектов. Quantum calculations of the polarized emission spectrum of methyl iodide: The importance of interference effects. / Wedlock Michael R., Freed Karl F. // J. Chem. Phys.— 1991.— 95, № 10.— С. 7275—7285.— Англ.

Представлены подробные квантовые расчеты спектра поляризованного излучения (СПИ) CH_3J (I) после возбуждения при 266 нм. Молекула I имеет два диполя и взаимно связанные отталкивательные электронные поверхности при этой энергии возбуждения. Поэтому ожидается большой вклад интерференционных эффектов в СПИ с угловым разрешением. С использованием одномерной модели и нестационарных квантовых расчетов показано, что эти интерференционные вклады существенно влияют на СПИ, в частности, они обусловливают наличие зависимости СПИ от конечного состояния.

М.Л.

Ф. 1992, № 8

СЧ 9
МЗО

1992

— 9 Б1130. Константы A_0 , D_0^k и H_0^k основного состояния $^{12}\text{CH}_3\text{I}$ из разрешенных инфракрасных полос поглощения.
Ground-state constants A_0 , D_0^k and H_0^k of $^{12}\text{CH}_3\text{I}$ from normally allowed infrared absorption bands /Paso R., Alan-ko S., Anttila R. //Mol. Phys. — 1992 .— 76 , № 5 .— С. 1157—1167 .— Англ.

С высоким разрешением ($0,002 \text{ см}^{-1}$, фурье-спектрометр) измерена вращат. структура фундаментальной половины v_6 , горячей полосы $2v_6^{\pm 2} - v_6^{\pm 1}$ и обертона $2v_6^{\pm 1}$ в ИК-спектре поглощения $^{12}\text{CH}_3\text{I}$ (длина поглощающего слоя $3,2—19,2 \text{ м}$, давл. $0,4—2,4 \text{ мм рт. ст.}$). На основании анализа положения линий всех трех полос рассчитаны комбинац. разности для восьми пар значений (K_u , K_o) от (3,0) до (10,7) (K_u и K_o — значения К для верхнего и нижнего комбинирующих уровней энергии основного состояния). Широкий диапазон значений К позволил более точно определить значение ($A_0 - B_0$) и найти параметры К-зависимости постоянных центробежного искажения:

М.Л.

Х. 1993, № 9

$A_0 - B_0 = 4,9237202$, $D_0^k = 8,763 \cdot 10^{-5}$, $H_0^k = 4,53 \cdot 10^{-9}$
см $^{-1}$. По известному значению вращат. постоянной $B_0 =$
 $= 0,250215626$ см $^{-1}$ рассчитана величина $A_0 = 5,1739358$
см $^{-1}$. При анализе комбинац. разностей использовались
значения вращат. постоянных и параметров центробеж-
ного искажения (B_0 , D_0^k , D_0^j , H_0^l , H_0^{ijk} и H_0^{ilk}), полученные
авторами ранее из анализа ИК-спектра высокого разре-
шения (//Mol. Phys. — 1990. — 70. — С. 991) и данных
совместного анализа ИК- и МВ-спектров молекулы (//J.
Mol. Spectrosc. — 1987. — 124. — С. 53). В. М. Ковба



CH₃I

1992

117: 180747q Ground-state constants A_0 , D_{0K} , and H_{0K} of iodomethane (¹²CH₃I) from normally allowed infrared absorption bands. Paso, R.; Alanko, S.; Anttila, R. (Dep. Phys., Univ. Oulu Linnanmaa, SF-90570 Oulu, Finland). *Mol. Phys.* 1992, 76(5), 1157-67 (Eng). The fundamental band ν_6 , its hot band $2\nu_6 - \nu_6$ and the overtone band $2\nu_6$ of ¹²CH₃I were assigned. Using the lines of these three bands, ground state combination differences that differ in K by three were calcd. for eight K value pairs from (3,0) to (10,7). The ground state consts. A_0 , D_{0K} and H_{0K} of ¹²CH₃I were then detd. and the results are $A_0 = 5.1739358(10)$ cm⁻¹, $D_{0K} = 87.63(3) 10^{-6}$ cm⁻¹ and $H_{0K} = 4.53(22) 10^{-9}$ cm⁻¹. The const. H_{0K} was detd. for the first time.

frayam-
no combt.

C.A. 1992, 117, N 18

CH_3J

1992

Schneider W, Thiel W,

Calc. no cm.,
cremps.
no cm off.,
ab initio
pacrem

Chem. Phys. 1992, 159(1),
49-66.

(Calc.)



$\text{CH}_3\text{F}; \text{II}$)